

MÉCANIQUE DES ROCHES ET OUVRAGES SOUTERRAINS

■ Laboratoire de Mécanique des Roches – LEMR

Prof. M. VIOLAY

- 1. Introduction
- 2. Analyse de stabilité
- 3. Considérations pratiques

- 1. Introduction
  - 1.1. Applications
  - 1.2. Mécanismes de rupture
  - 1.3. Conditions cinématiques
- 2. Analyse de stabilité
- 3. Considérations pratiques



# **1.1 Applications**

Le dimensionnement d'une pente rocheuse comprend l'excavation, le soutènement et la réalisation.

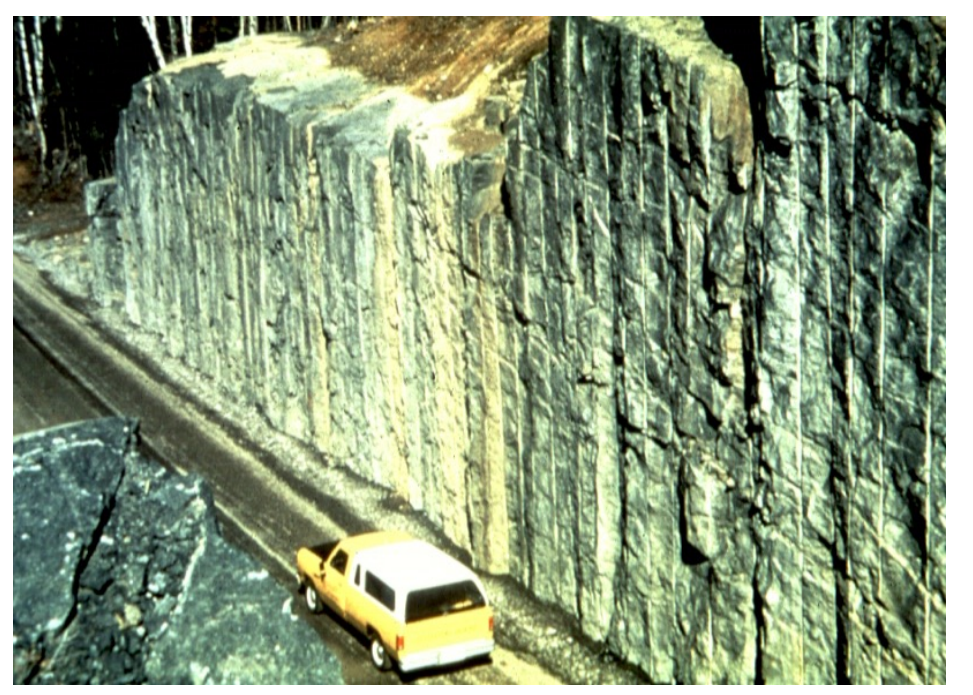


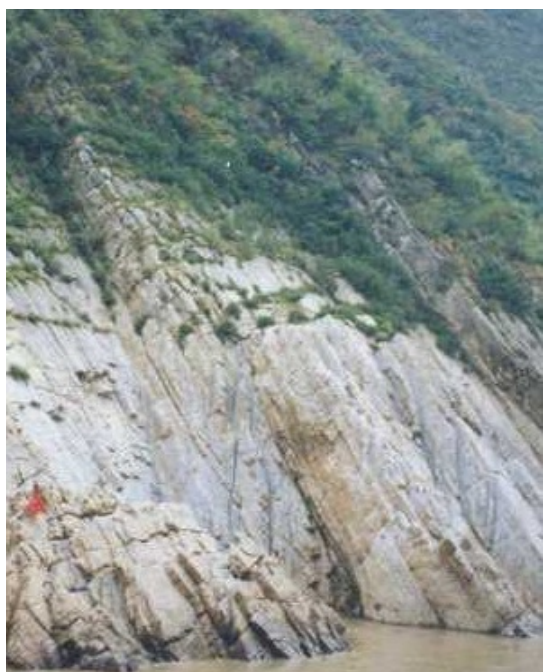




# **1.1 Applications**

Les pentes peuvent être naturelles ou excavées.





### 1. Introduction

- 1.1. Applications
- 1.2. Mécanismes de rupture
  - 1.2.1. Glissement plan
  - 1.2.2. Glissement dièdre (ou coin)
  - 1.2.3. Basculement fauchage
  - 1.2.4. Glissement rotationnel
- 1.3. Conditions cinématiques
- 2. Analyse de stabilité
- 3. Considérations pratiques

MÉCANIQUE DES ROCHES ET OUVRAGES SOUTERRAINS

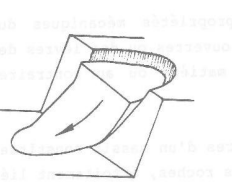
# MÉCANIQUE DES ROCHES ET OUVRAGES SOUTERRAINS

### **EPFL**

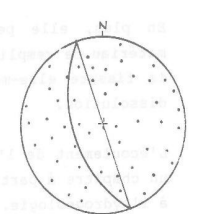
# 1.2 Mécanismes de rupture



Mouvement possible



Glissement circulaire en roche broyée (ou des sols). Pas de structure identi-

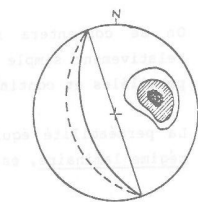


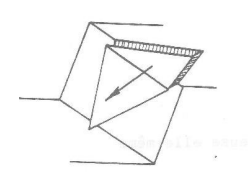
Projection stéréo-graphique des dis-

continuités

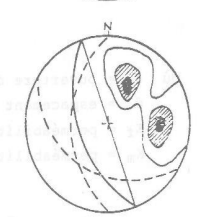


Glissement plan en roche stratifiée ou fissurée selon un système prédominant



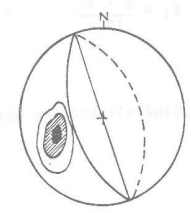


Glissement en coin selon deux discontinuités se recoupant





Basculement en roche stratifiée ou fissurée selon un système plongeant dans le versant

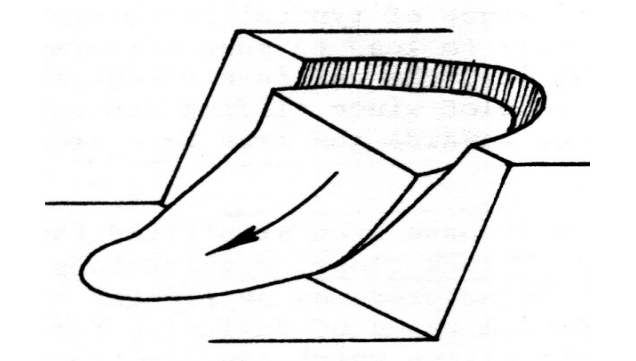


# 1.2 Mécanismes de rupture

### Rupture de fouilles en rocher

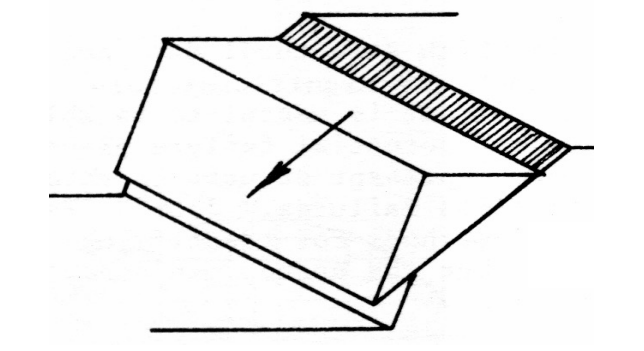
### a) Rupture Circulaire

Elle se produit la plupart du temps dans des débris rocheux, dans des massifs rocheux hautement fracturés ou fortement altérés avec un réseau de discontinuités diffus (pas de famille prépondérante).



### b) Rupture en Plan

Elle se produit dans des massifs rocheux avec des discontinuités planes (p. ex. selon la stratigraphie)



# 1.2 Mécanismes de rupture

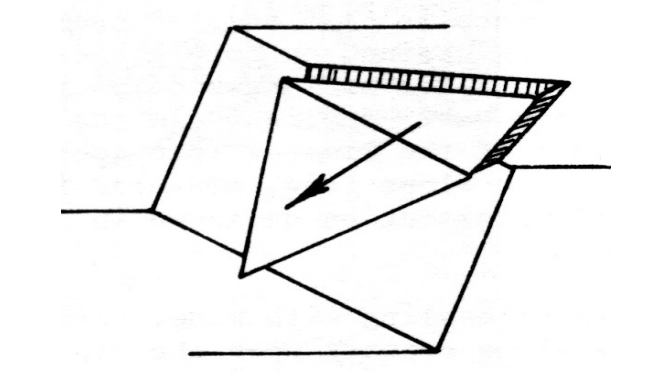
### Rupture de fouilles en rocher

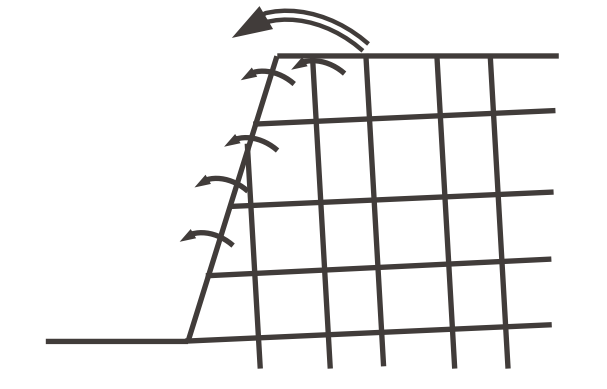
### c) Rupture en Coin

Elle se produit dans des massifs rocheux avec des familles de discontinuités qui s'interceptent en formant des coins.



Il se produit dans des massifs rocheux avec une structure en blocs et une forte inclinaison des discontinuités.



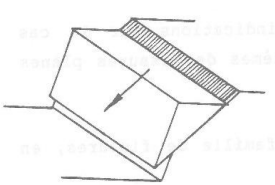


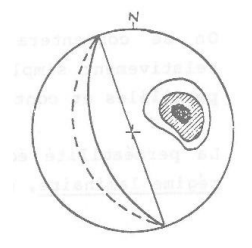
# 1.2.1 Mécanismes de rupture



**Glissement plan sur la D526 entre Mens et Clelles (Isère – France)** 







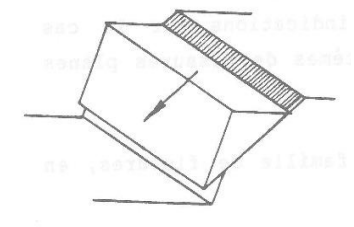
# 1.2.1 Mécanismes de rupture



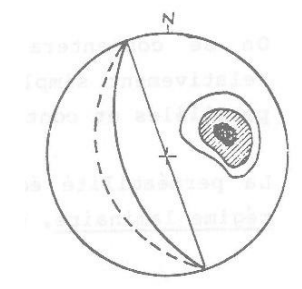
Glissement plan en roche stratifiée à Sylans (France)









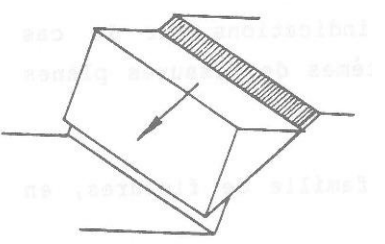


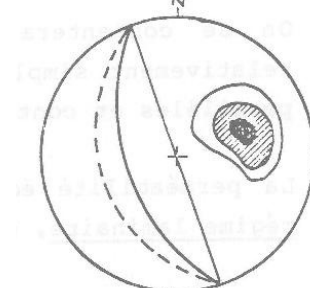
# 1.2.1 Mécanismes de rupture



Glissement couche sur couche à Gersau (Lac des 4 cantons - Suisse)



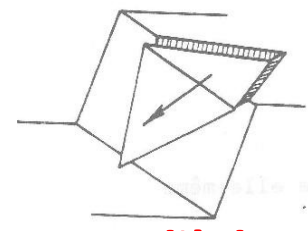




# 1.2.2 Mécanismes de rupture

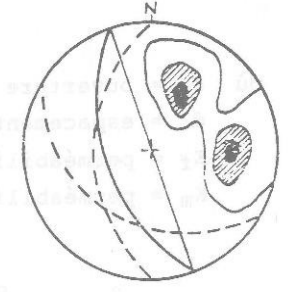






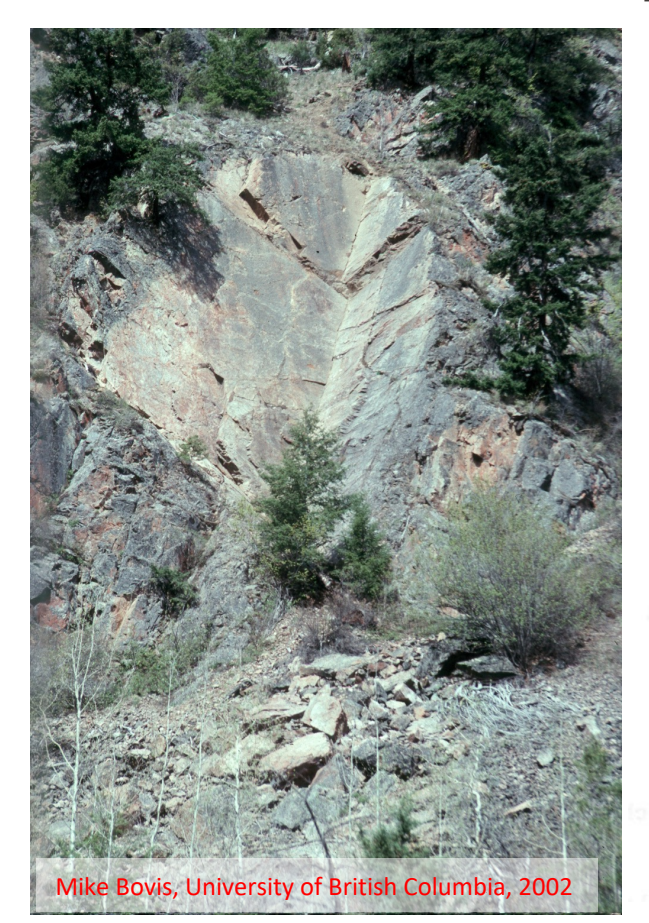
Glissement en dièdre au-dessus de la route de Cogne (Italie)

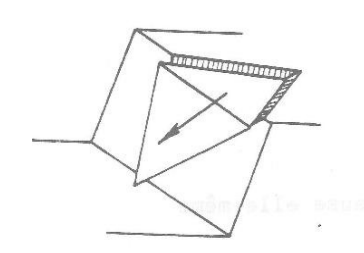
Glissement en coin selon deux discontinuités se recoupant



# 1.2.2 Mécanismes de rupture

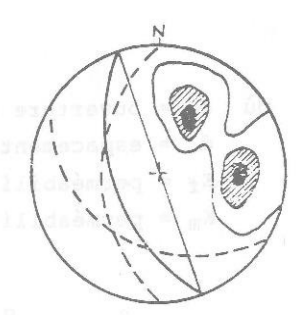






Glissement en dièdre à Apax Ranch (Colombie Britannique)

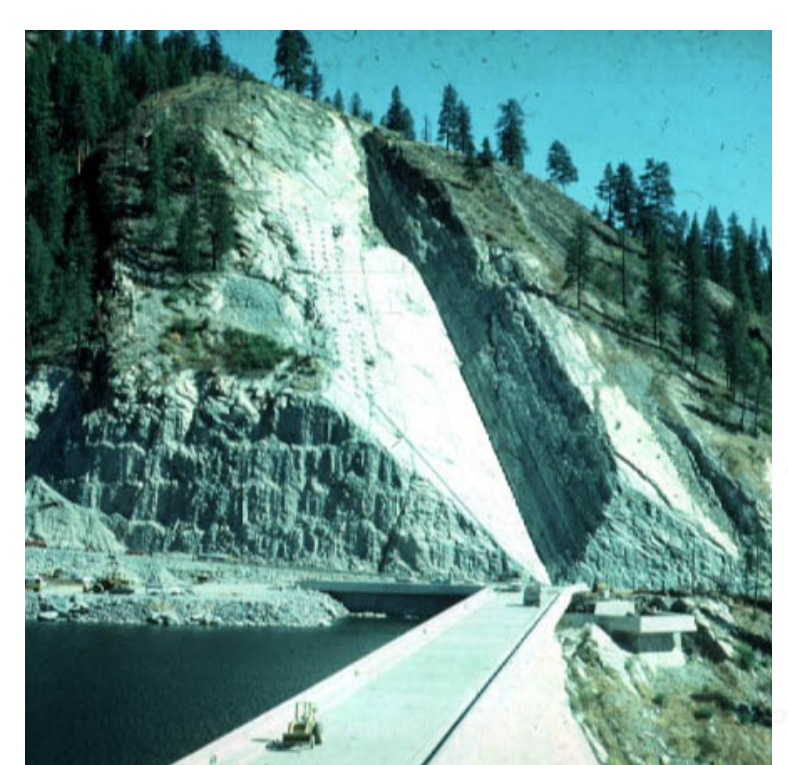
Glissement en coin selon deux discontinuités se recoupant

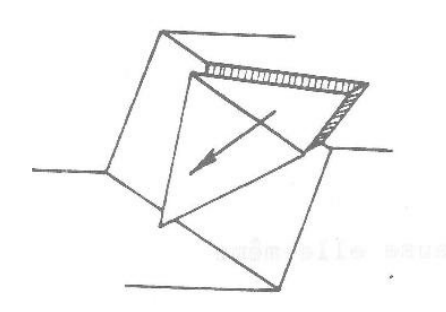




# 1.2.2 Mécanismes de rupture

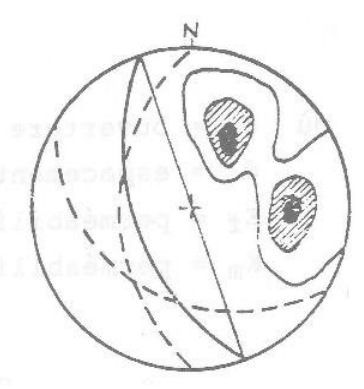






### Glissement en dièdre

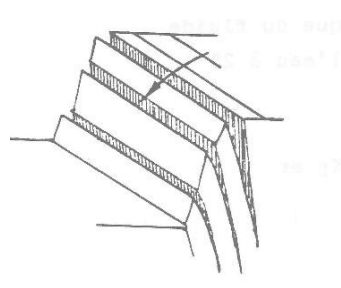
Glissement en coin selon deux discontinuités se recoupant



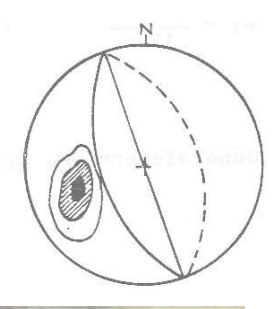
# 1.2.3 Mécanismes de rupture

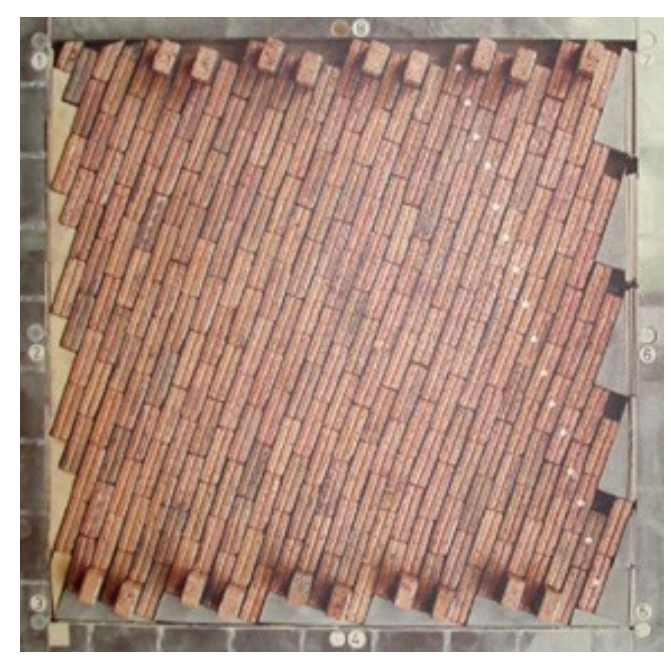


Phénomène de fauchage



Basculement en roche stratifiée ou fissurée selon un système plongeant dans le



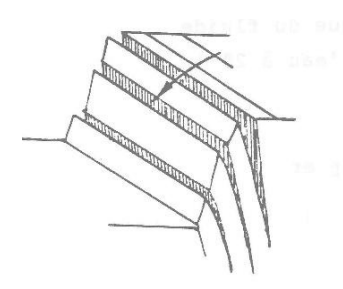




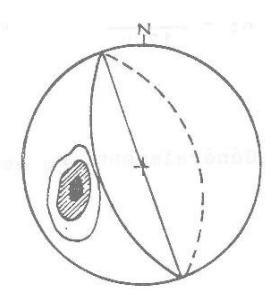
# 1.2.3 Mécanismes de rupture



Phénomène de fauchage



Basculement en roche stratifiée ou fissurée selon un système plongeant dans le versant



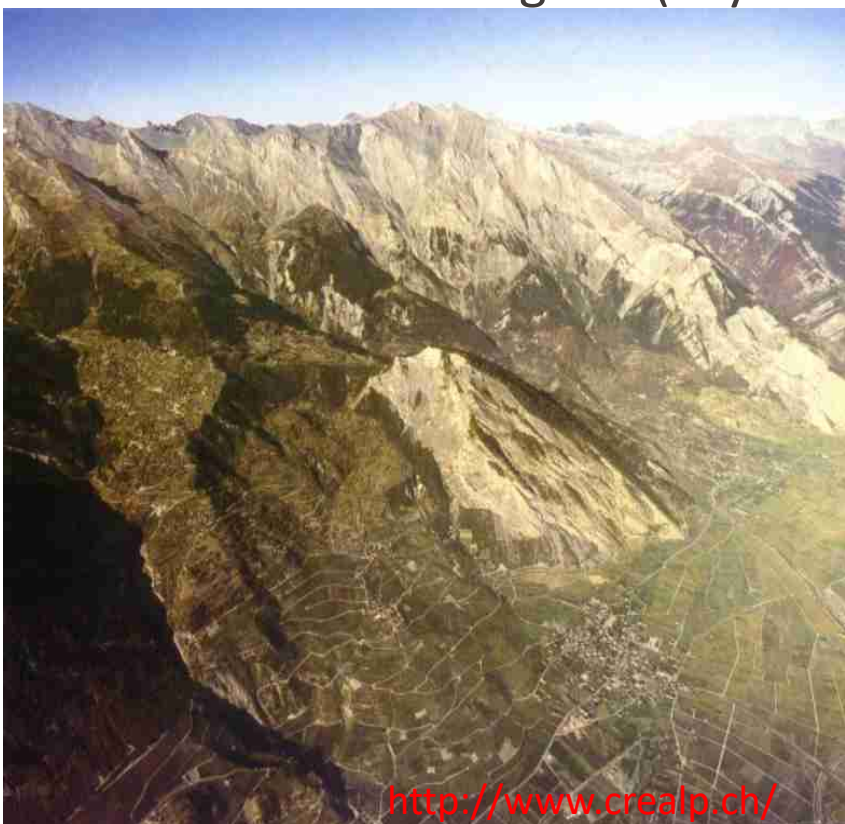


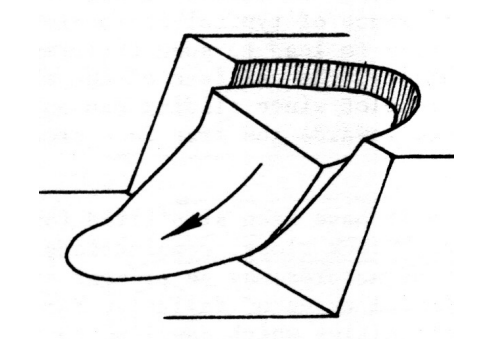


# 1.2.4 Mécanismes de rupture

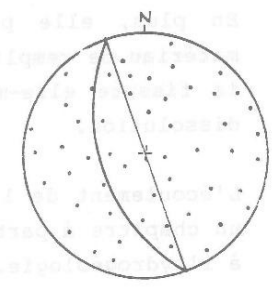


Glissement de Montagnon (Leytron Valais)





Glissement circulaire en roche broyée (ou des sols). Pas de structure identifiable

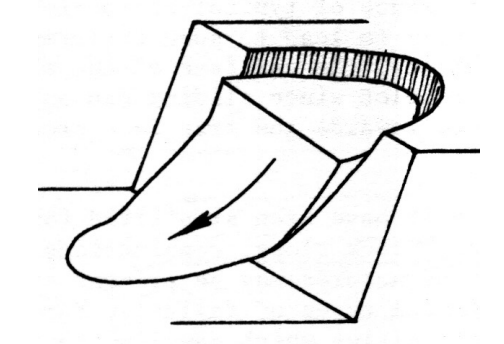


# 1.2.4 Mécanismes de rupture

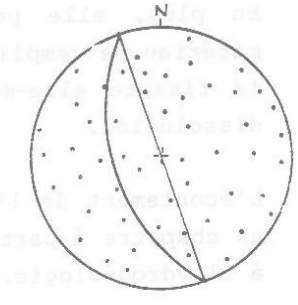


Glissement de La Clapière (Alpes maritimes)





Glissement circulaire en roche broyée (ou des sols). Pas de structure identifiable



### Fouilles en rocher

1. Introduction

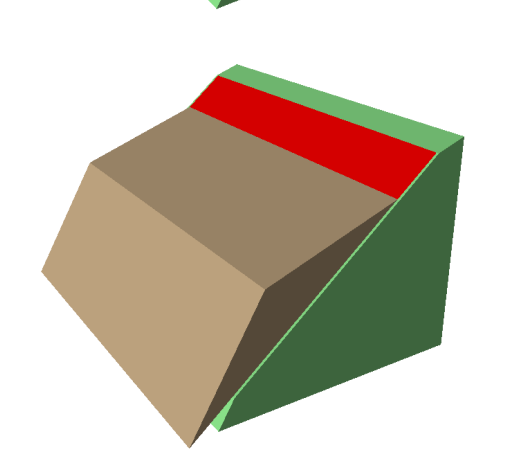
- 1.1. Applications
- 1.2. Mécanismes de rupture
- 1.3. Conditions cinématiques
  - 1.3.1. Glissement plan
  - 1.3.2. Glissement dièdre (ou coin)
  - 1.3.3. Basculement fauchage
  - 1.3.4. Glissement rotationnel
- 2. Analyse de stabilité
- 3. Considérations pratiques

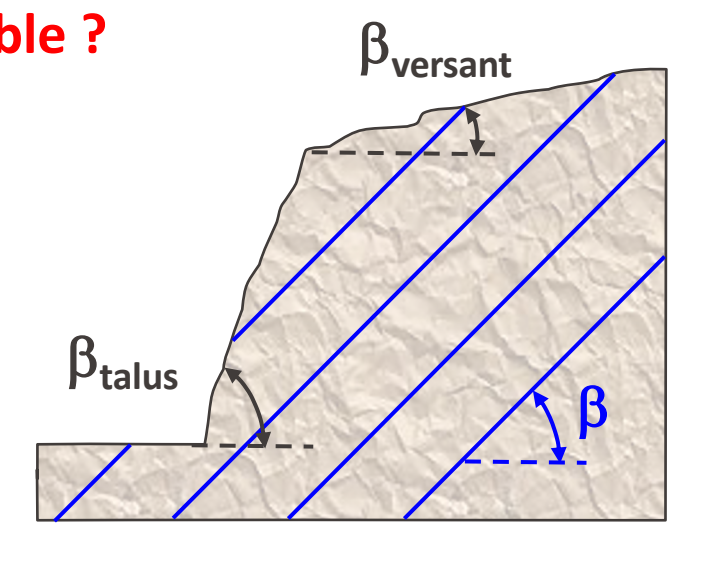
# 1.3.1 Conditions cinématiques











Le rocher possède une famille de discontinuités subparallèle à la surface du talus.

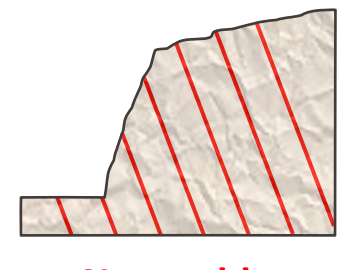
Subparallèle : La différence d'azimut de pendage entre la famille de discontinuités et le talus est de maximum 20°.

De plus, la condition cinématique de glissement dépend des valeurs relatives de  $\beta$ ,  $\beta_{talus}$  et  $\beta_{versant}$ .

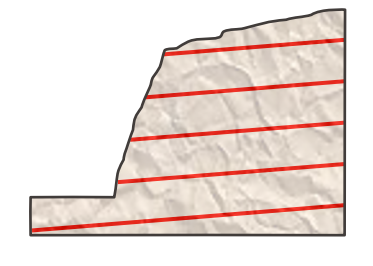
# 1.3.1 Conditions cinématiques

Prof. M. VIOLAY

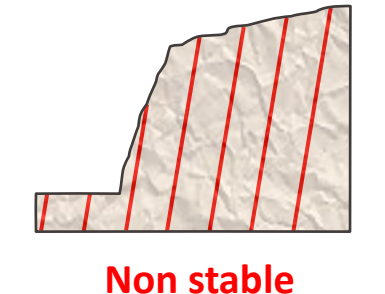
### Mécanisme de glissement plan possible ?



Non stable pendage amont



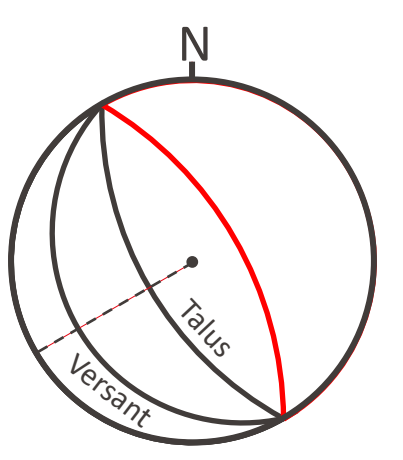
Non stable  $\beta < \beta_{\text{versant}}$ 

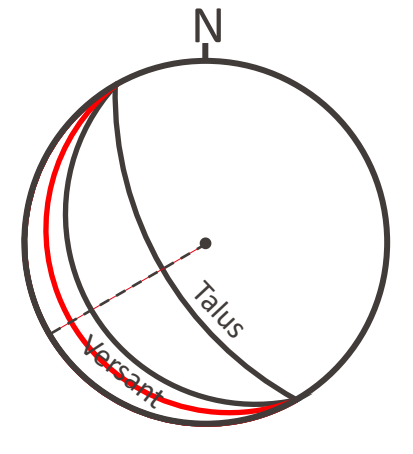


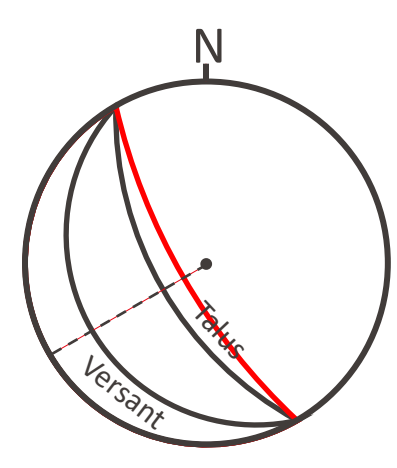
 $\beta > \beta_{\text{talus}}$ 

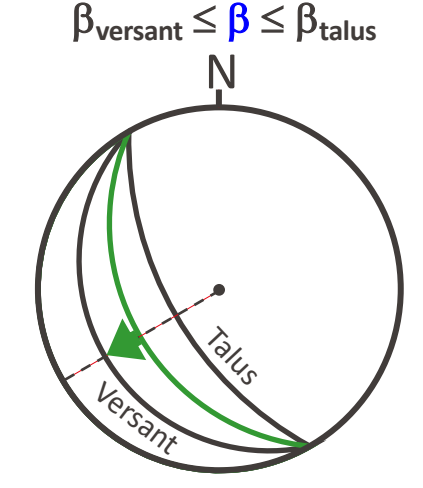


Potentiellement instable









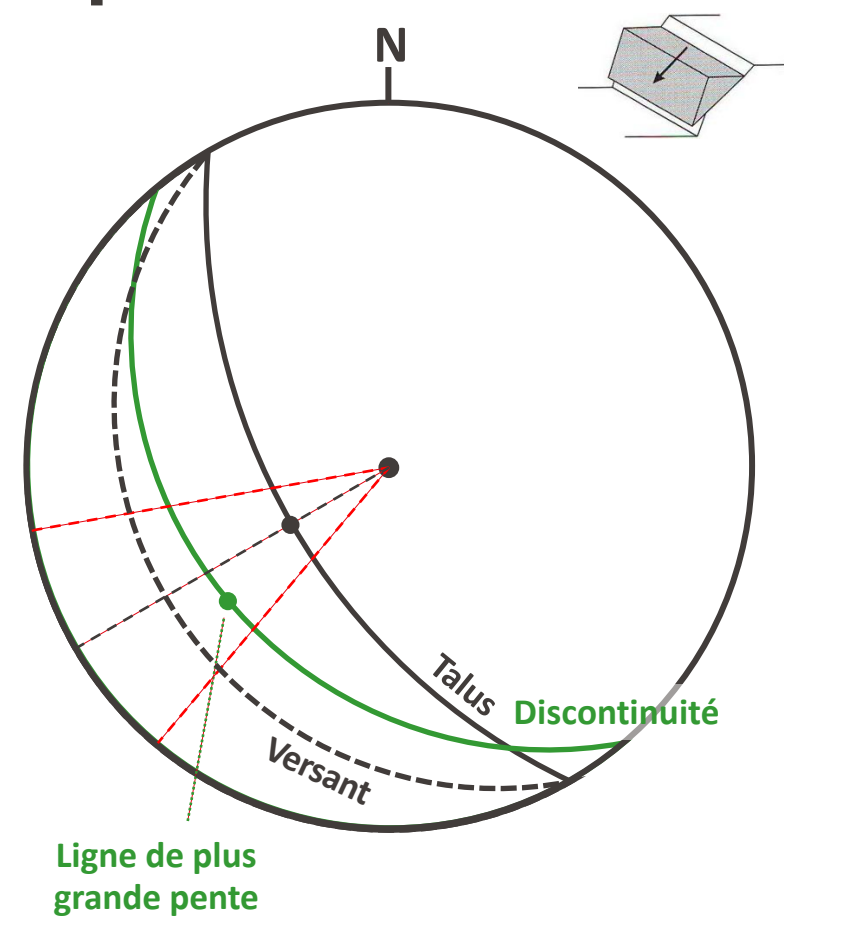
# 1.3.1 Conditions cinématiques

Mécanisme de glissement plan possible si :

- a) La différence d'azimut de pendage entre la famille de discontinuités et le talus est de maximum 20°.
- b) Si il y a une seule famille de discontinuités, le pendage de cette famille de discontinuités doit être comprise entre les pendages du versant et du talus:

$$\beta_{\text{versant}} \leq \beta \leq \beta_{\text{talus}}$$

c) Si une autre famille recoupe le versant, il suffit que le pendage du plan de glissement soit plus faible que celui du talus (daylighting condition):  $\beta \le \beta_{talus}$ 

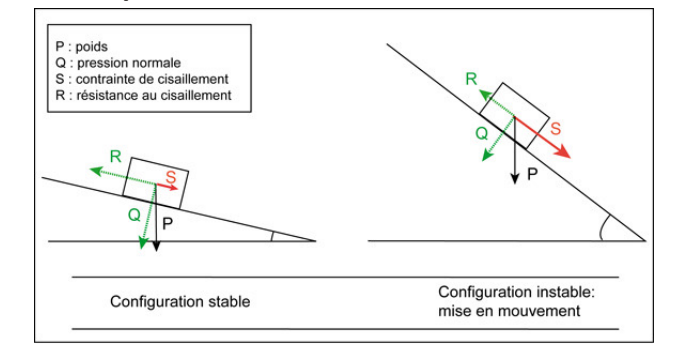


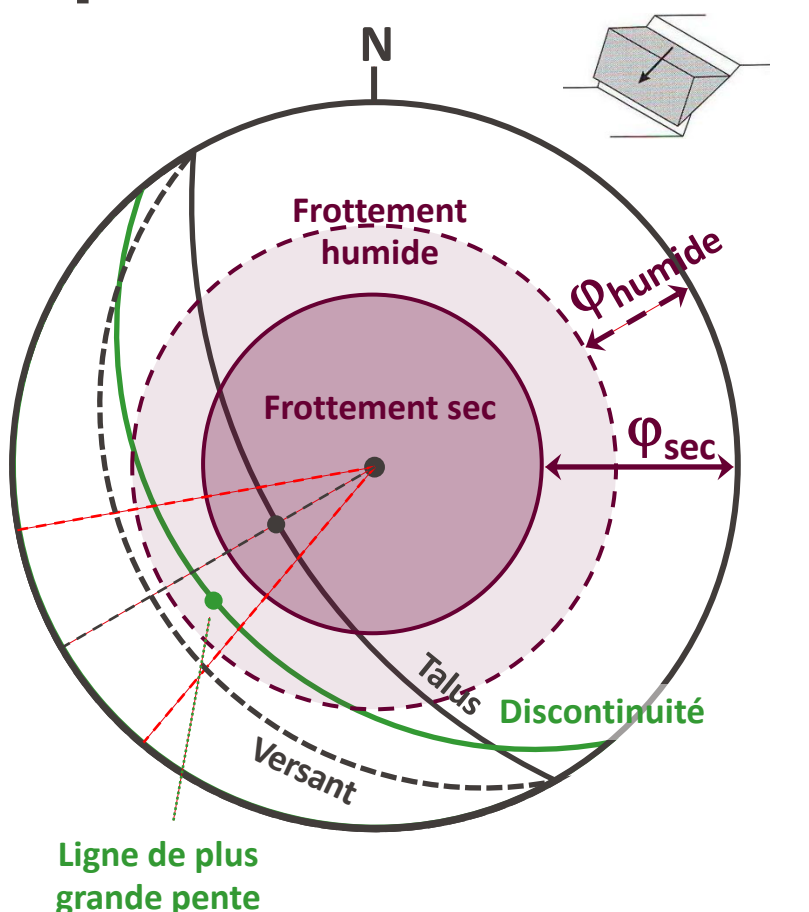
IÉCANIQUE DES ROCHES ET OUVRAGES SOUTERRAINS

# 1.3.1 Conditions cinématiques

En plus de ces conditions cinématiques, si le plan de glissement est lisse et qu'il n'y a pas de pressions d'eau, on peut déterminer aisément si la résistance mécanique au glissement est suffisante.

A cet effet, on trace depuis le centre du canevas de Wülff un cercle dont le rayon correspond à  $(90^{\circ}-\phi)$ . Si la ligne de plus grande pente se situe dans ce cercle, le glissement peut se produire mécaniquement.





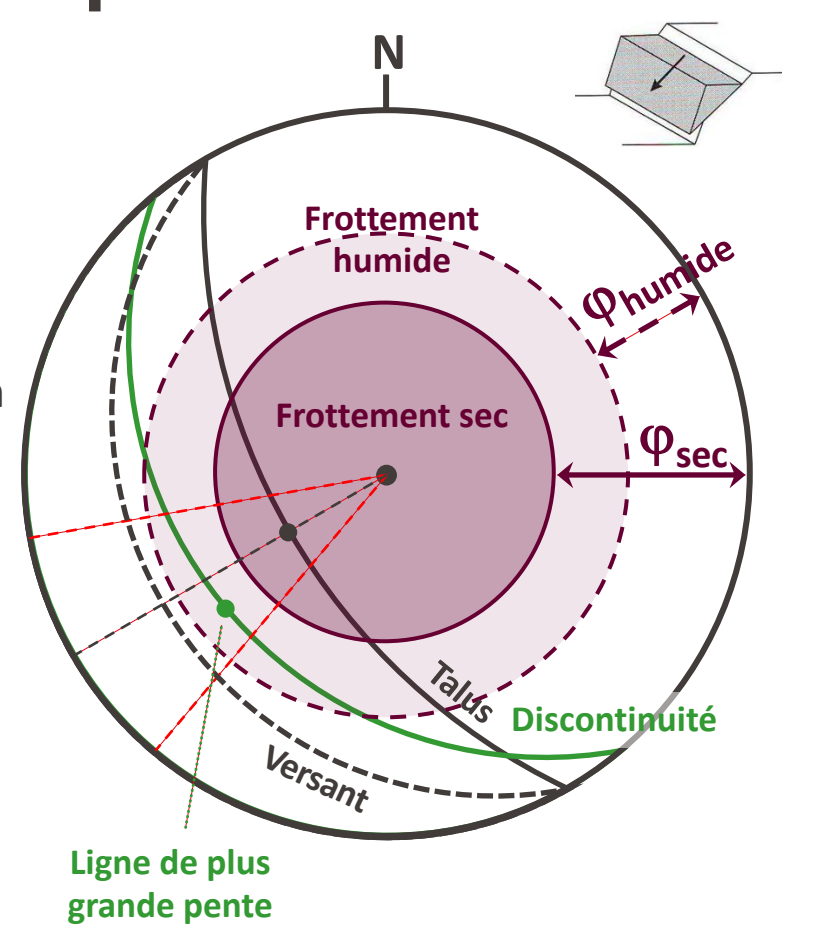
# 1.3.1 Conditions cinématiques

En plus de ces conditions cinématiques, si le plan de glissement est lisse et qu'il n'y a pas de pressions d'eau, on peut déterminer aisément si la résistance mécanique au glissement est suffisante.

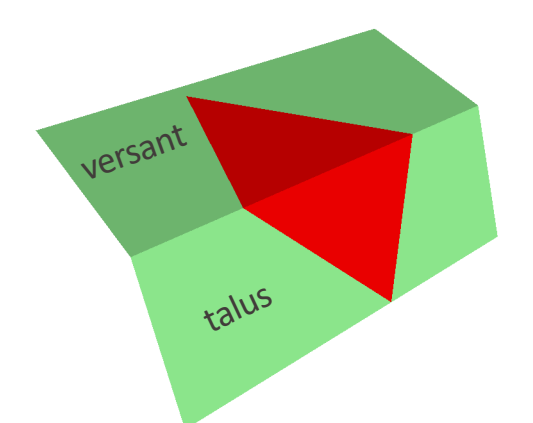
A cet effet, on trace depuis le centre du canevas de Wülff un cercle dont le rayon correspond à  $(90^{\circ}-\phi)$ . Si la ligne de plus grande pente se situe dans ce cercle, le glissement peut se produire mécaniquement.

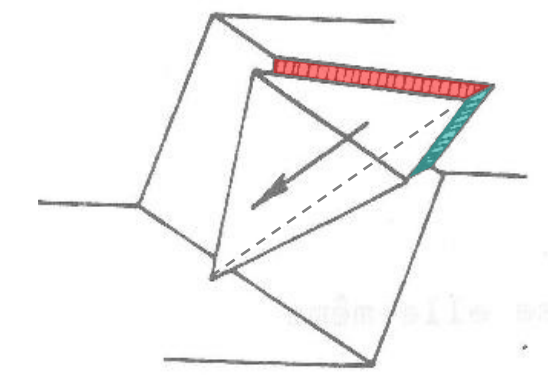
Par exemple, ci-contre:

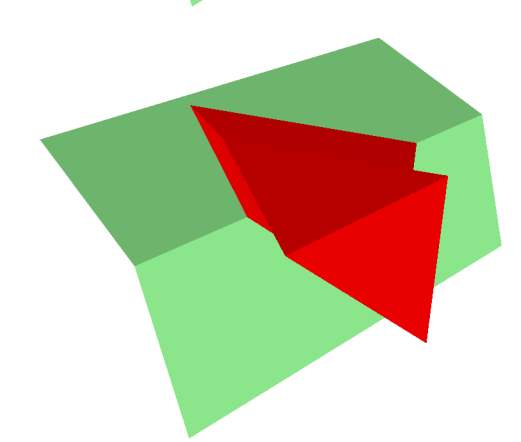
- a) Pour des conditions sèches, le frottement est élevé et aucun glissement ne se produit.
- b) Pour le cas humide, le frottement est plus faible. La droite de plus grande pente est à l'intérieur du cercle et un glissement risque de se produire.











Le rocher possède deux familles de discontinuités qui s'intersectent à l'arrière du talus et forment des blocs.

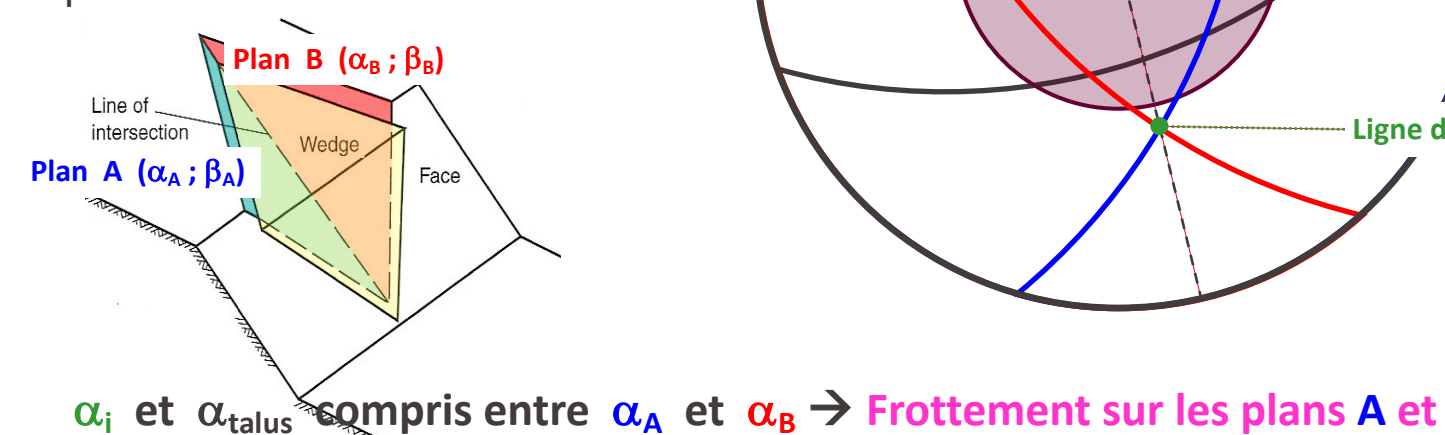
Si la ligne d'intersection plonge en direction de la vallée, le mécanisme de glissement est possible.

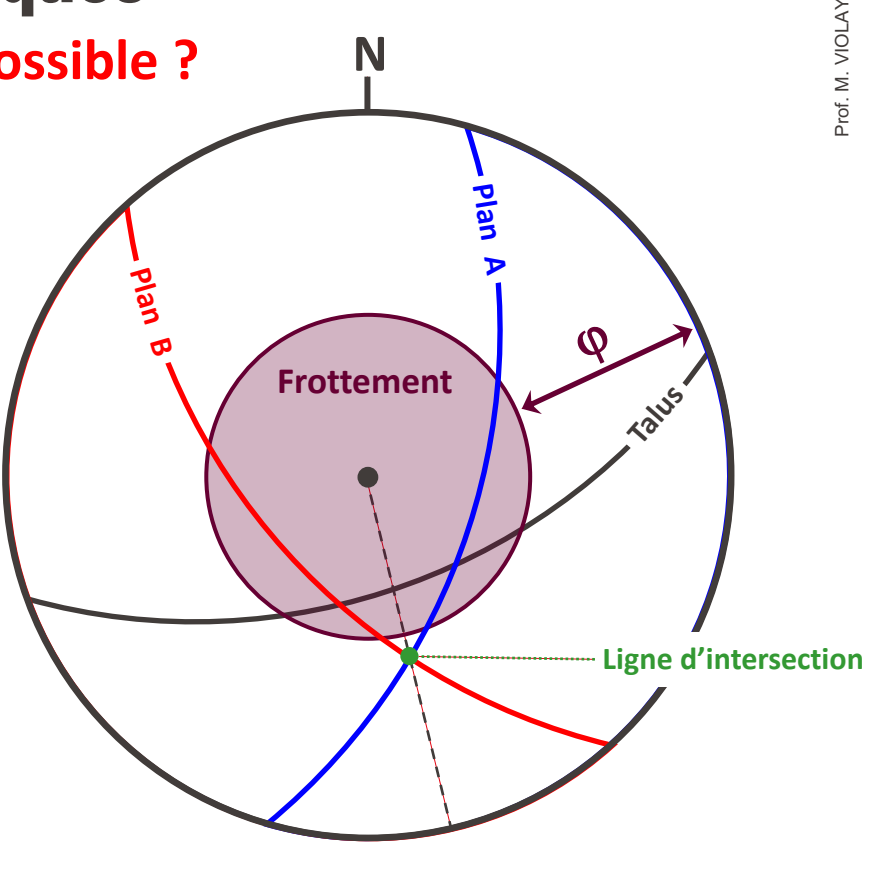
Dans le cas de plans lisses caractérisés par un même angle de frottement  $\varphi$  et s'il n'y a pas de pressions d'eau, le glissement est de surcroit possible d'un point de vue mécanique si le pendage de la ligne d'intersection est plus grand que l'angle de frottement. Un calcul est nécessaire pour vérifier si la stabilité est assurée.

Mécanisme de glissement dièdre possible ?

La ligne d'intersection ( $\alpha_i$ ;  $\beta_i$ ) plonge en direction de la vallée avec un pendage plus petit que celui du talus  $\rightarrow$  mécanisme de glissement possible.

Si plans lisses et sans eau, comme  $\beta_i < \phi$ , il n'y a pas de glissement d'un point de vue mécanique.



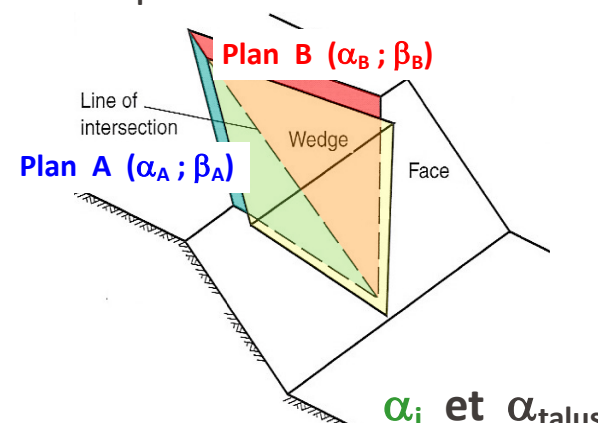


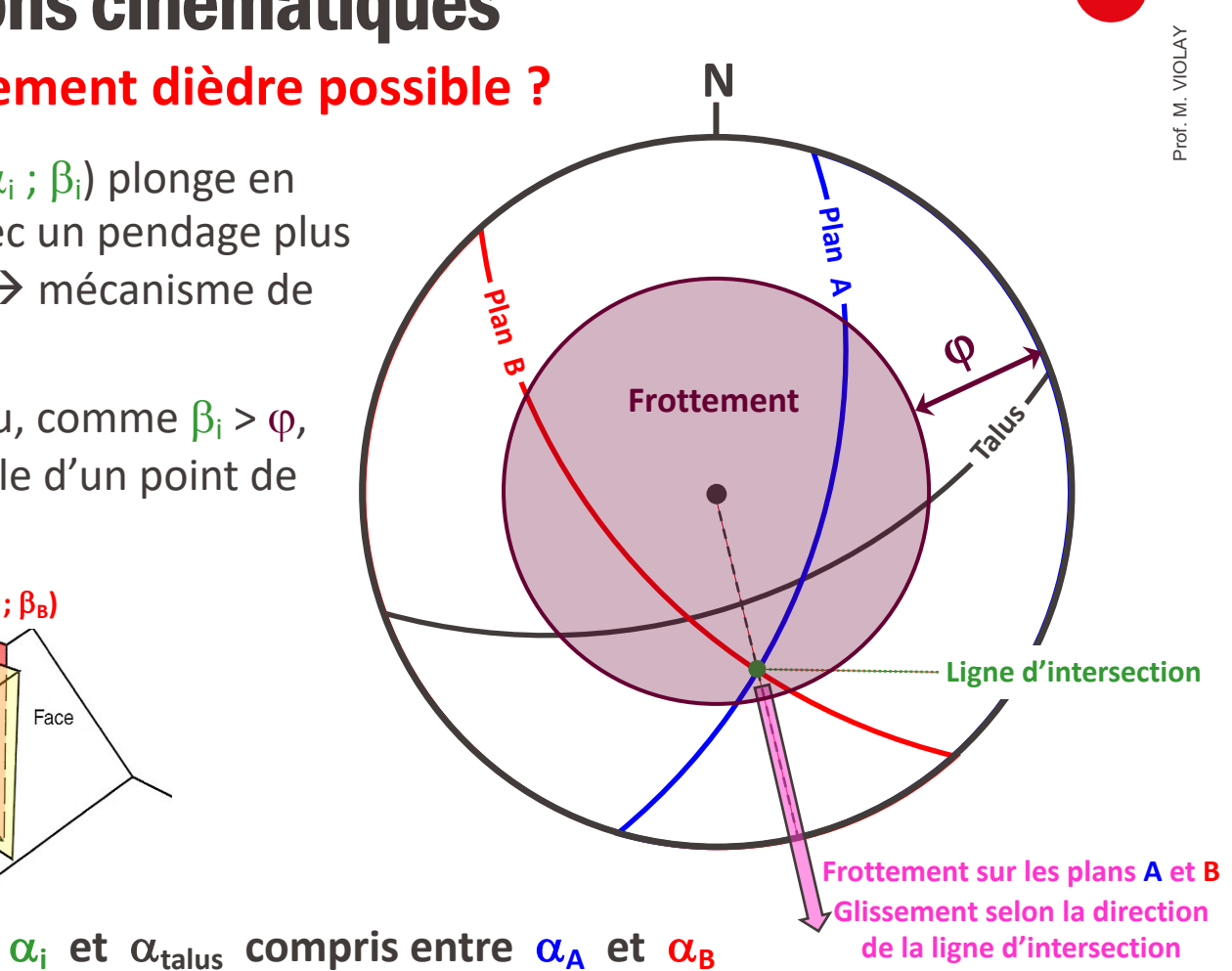
CANIQUE DES ROCHES ET OUVRAGES SOUTERRAINS

Mécanisme de glissement dièdre possible ?

La ligne d'intersection ( $\alpha_i$ ;  $\beta_i$ ) plonge en direction de la vallée avec un pendage plus petit que celui du talus → mécanisme de glissement possible.

Si plans lisses et sans eau, comme  $\beta_i > \varphi$ , un glissement est possible d'un point de vue mécanique → calcul



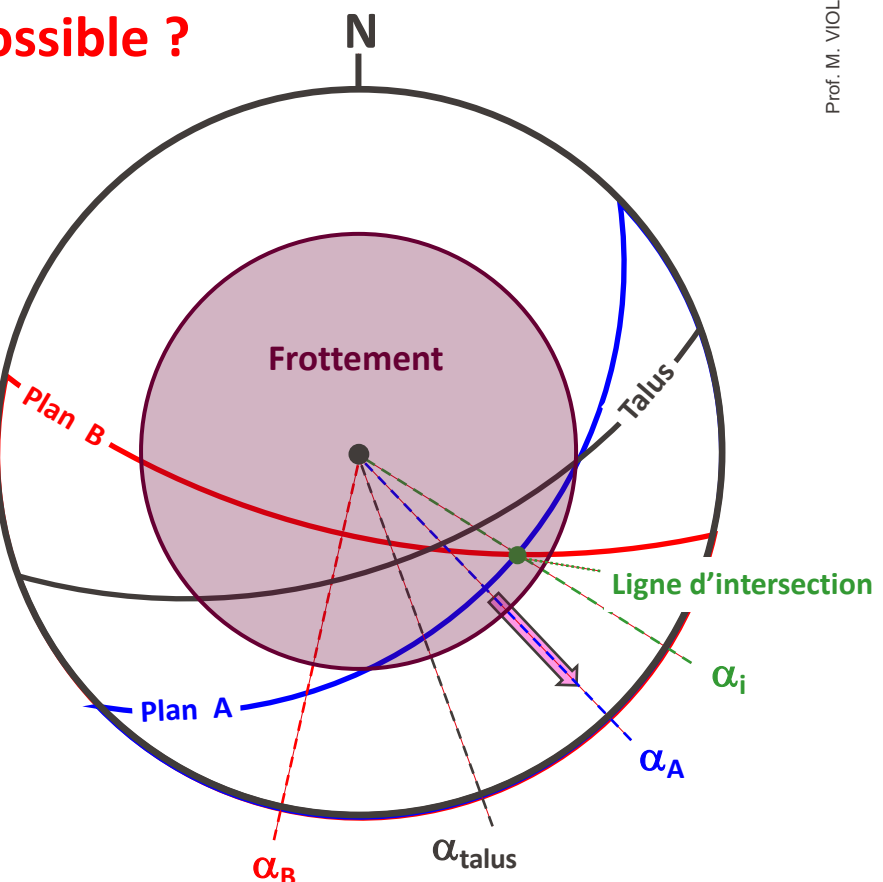


Mécanisme de glissement dièdre possible ?

La ligne d'intersection ( $\alpha_i$ ;  $\beta_i$ ) plonge en direction de la vallée avec un pendage plus petit que celui du talus  $\rightarrow$  mécanisme de glissement possible.

→ Glissement et frottement sur le plan A uniquement, décollement du plan B!

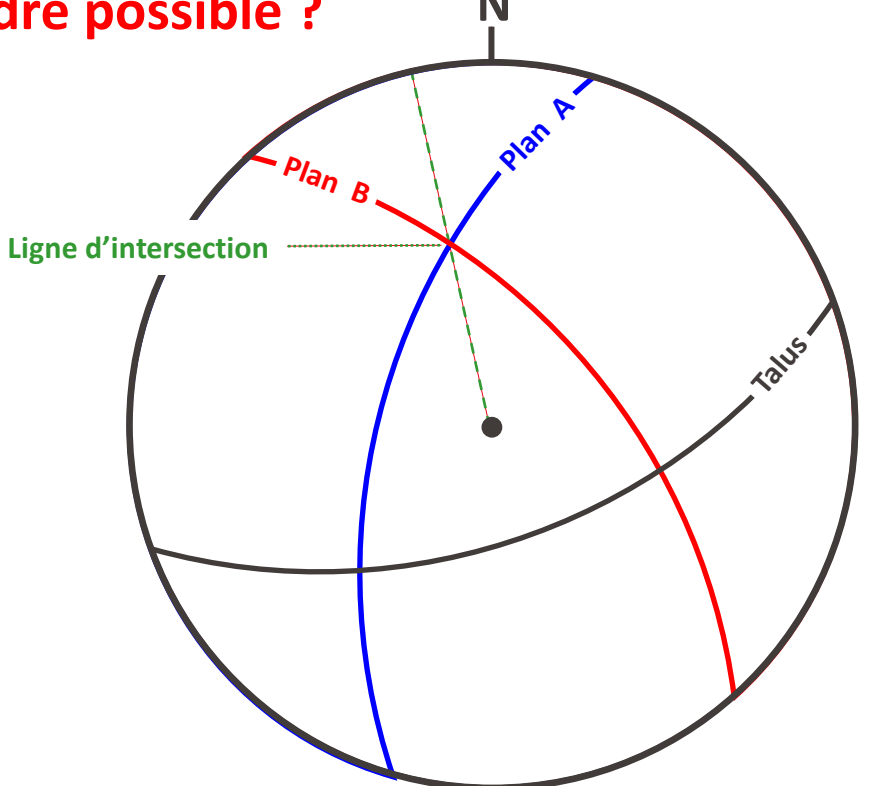
→ à traiter comme un glissement sur un seul plan



# 1.3.2 Conditions cinématiques

Mécanisme de glissement dièdre possible ?

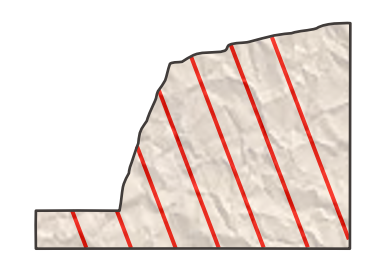
Si la ligne d'intersection  $(\alpha_i; \beta_i)$  plonge dans la direction opposée à la vallée, le mécanisme de glissement est impossible cinématiquement.

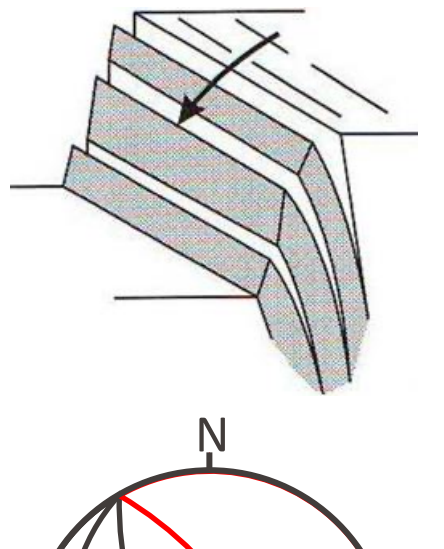


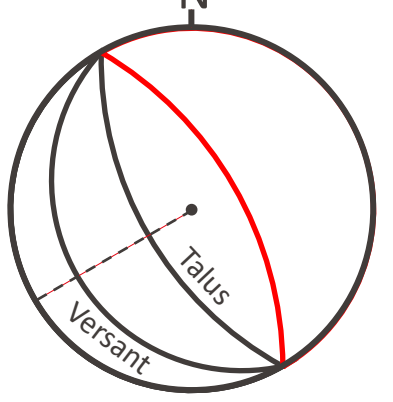
# 1.3.3 Conditions cinématiques

### Mécanisme de basculement – fauchage possible ?

- a. Rocher fracturé.
- b. Une famille de discontinuités avec un fort pendage, mais de direction opposée au talus.
- Une deuxième famille de discontinuités perpendiculaire à la première facilite le mécanisme.
- d. Le renversement peut se produire, soit par déséquilibre de blocs, soit par rupture flexionnelle d'une colonne.



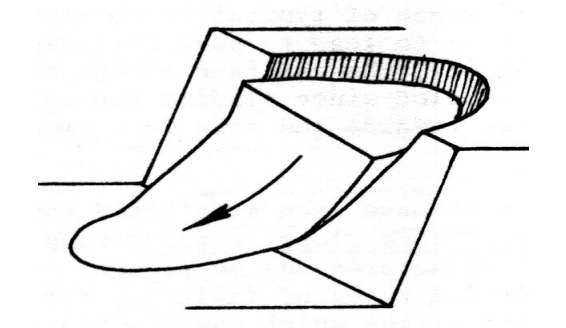




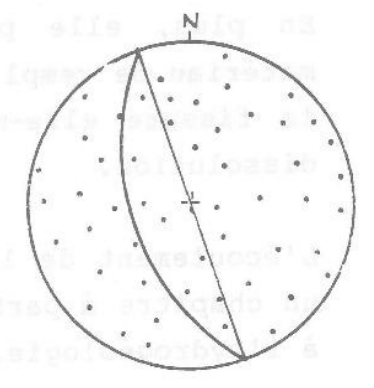
# 1.3.3 Conditions cinématiques

### **Glissement rotationnel**

Le massif rocheux est tellement fracturé qu'aucune famille de discontinuités ne prédomine. La rupture se développe aisément dans un tel milieu qui s'apparente pratiquement à un sol. La surface de rupture est souvent circulaire.



Glissement circulaire en roche broyée (ou des sols). Pas de structure identifiable



### Fouilles en rocher

1. Introduction

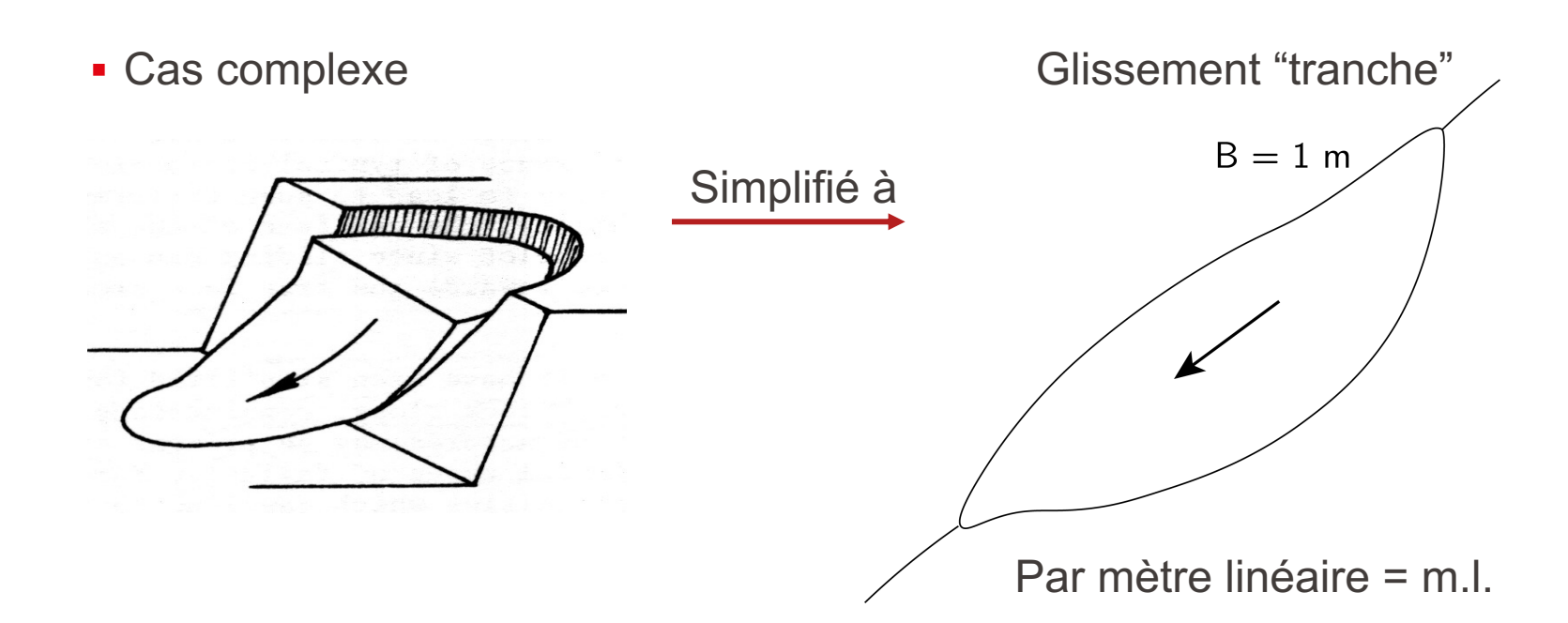
### 2. Analyse de stabilité

- 2.1. Glissement plan
  - 2.1.1 Glissement sur un seul plan
  - 2.1.2 Glissement sur un plan, avec fissure de traction
  - 2.1.3 Méthodes de contrôle de l'eau
  - 2.1.4 Confortements
- 2.2. Glissement dièdre
- 2.3. Basculement Fauchage
- 2.4. Glissement rotationnel
- 3. Considérations pratiques

### 2.1.1 Glissement sur un seul plan

Prof. M. VIOLAY

MÉCANIQUE DES ROCHES ET OUVRAGES SOUTERRAINS



=> Résolution analytique possible pour vérifications préliminaires

### 2.1.1 Glissement sur un seul plan



### Pas d'eau

### Facteur de sécurité:

### avec:

• Résistance au cisaillement :

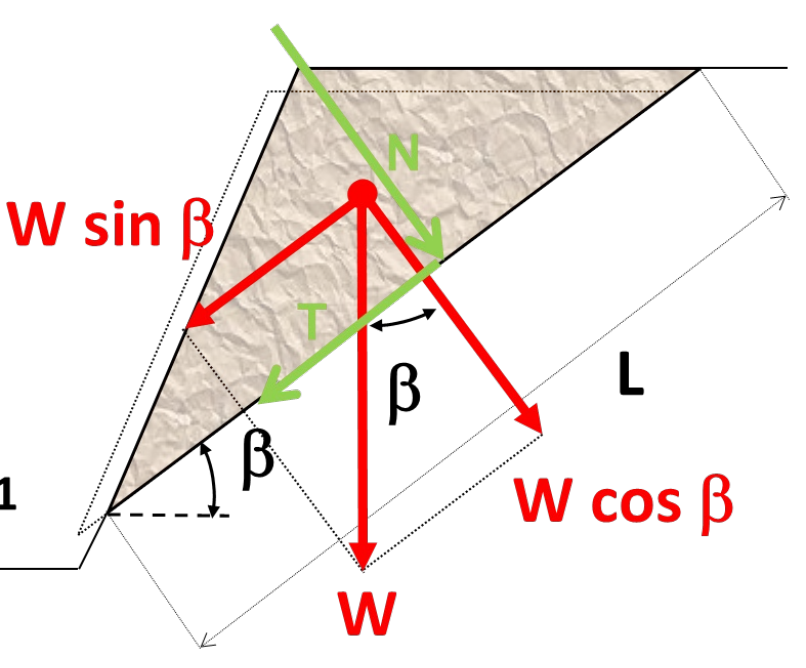
$$F_{rés} = N \cdot tan φ + c*\cdot A$$
  
= W \cdot cos β \cdot tan φ + c\*\cdot L\cdot 1

avec: A=L·1m



$$F_{sol} = T = W \cdot \sin \beta$$

$$F_{S} = \frac{W \cdot \cos \beta \cdot \tan \phi + c \cdot A}{W \cdot \sin \beta} = \frac{\tan \phi}{\tan \beta} + \frac{c \cdot L \cdot 1}{W \cdot \sin \beta}$$



$$F_s = \frac{\tan \varphi}{\tan \beta}$$
 si c\*= 0

### 2.1.1 Glissement sur un seul plan

### Présence d'eau

U = résultante des pressions d'eau dans la fissure, fonction des conditions d'écoulement

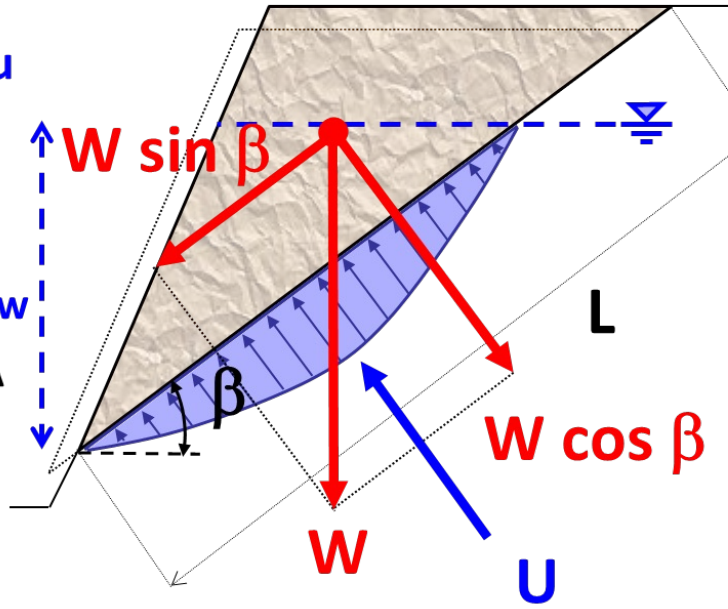
• Résistance au cisaillement :

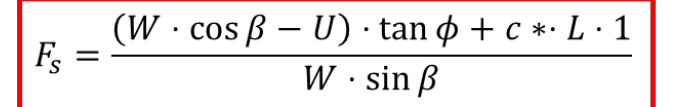
$$F_{rés} = (W \cdot cos \beta - U) \cdot tan \phi + c* \cdot A$$

avec: A=L·1m

• Contrainte de cisaillement :

$$F_{sol} = W \cdot \sin \beta$$



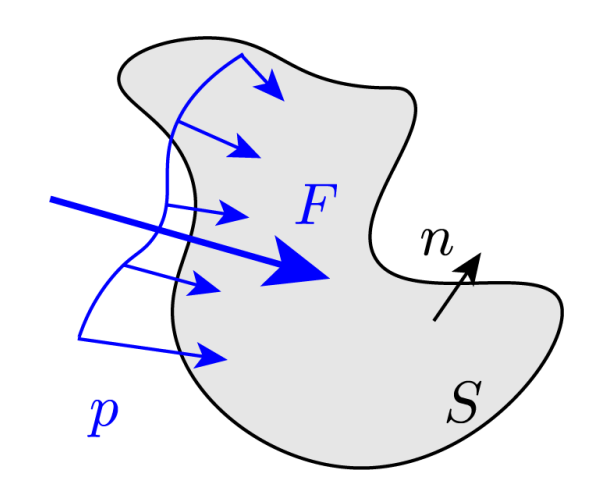


→ La résistance au glissement est réduite

#### Rappel pression d'eau

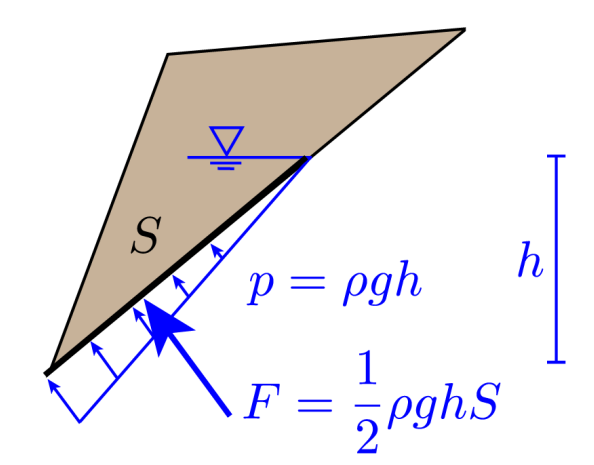
La force résultante de pression est :

$$\bar{F} = \int_{S} -p\bar{n} \, \mathrm{d}S$$



• Dans un cas hydrostatique :  $dp = \rho_w g dh$ 





## 2.1.1 Glissement sur un seul plan

Présence d'eau + exutoire ouvert

#### Hypothèses:

- Répartition hydrostatique jusqu'à mi-parcours;
- écoulement avec gradient constant dans la partie restante (jusqu'à l'exutoire).

Pression d'eau max [kPa]

$$\mathbf{u} = \frac{1}{2} \cdot \mathbf{\gamma}_{\mathbf{w}} \cdot \mathbf{H}_{\mathbf{w}}$$

#### Force d'eau [kN/m]

$$U = \frac{1}{2} \cdot \gamma_w \cdot \frac{H_w}{2} \cdot \frac{H_w}{\sin \beta} = \frac{1}{4} \cdot \gamma_w \cdot \frac{H_w^2}{\sin \beta}$$

écoulement, mais pression =0

yw= poids spécifique KN/m3

## 2.1.1 Glissement sur un seul plan

Présence d'eau + exutoire bouché

#### Hypothèse:

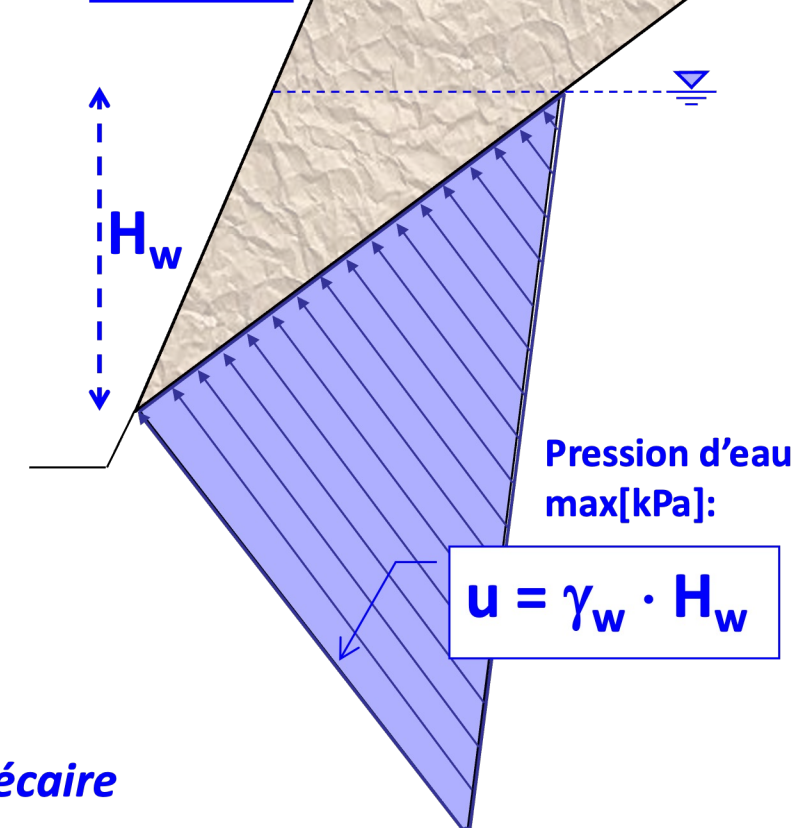
 Répartition hydrostatique jusqu'à l'exutoire.

La valeur de U est donc doublée par rapport au cas précédent.

#### Force d'eau [kN/m]:

$$U = \frac{1}{2} \cdot \gamma_w \cdot \frac{H_w^2}{\sin \beta}$$

→ Stabilité beaucoup plus précaire



# 2.1.1 Glissement sur un seul plan

## **Ecoulement dans un** réseau de fissures

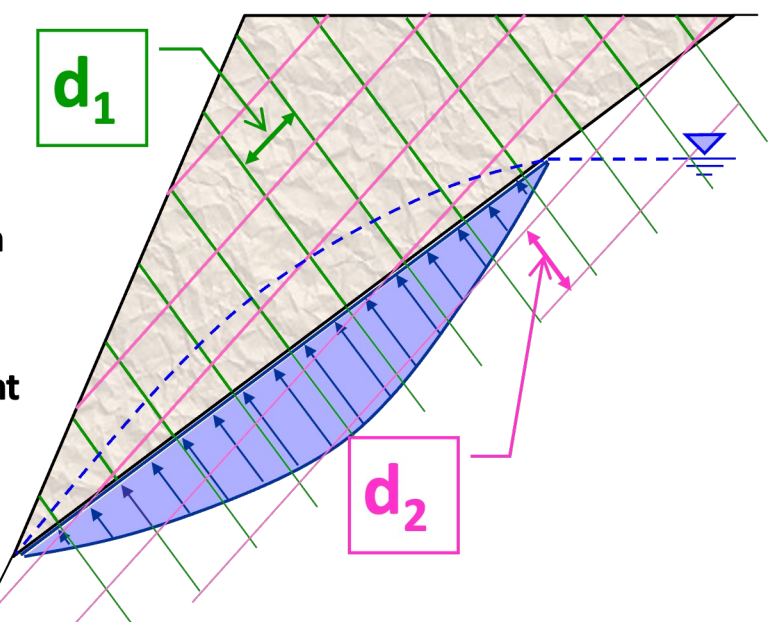
#### Hypothèses:

massif rocheux modélisé comme un milieu continu avec des perméabilités anisotropes;

 calcul du réseau de lignes de courant et d'équipotentielles

$$k_1 = (e_1/d_1) \cdot k_{f1} + k_m$$

$$k_2 = (e_2/d_2) \cdot k_{f2} + k_m$$

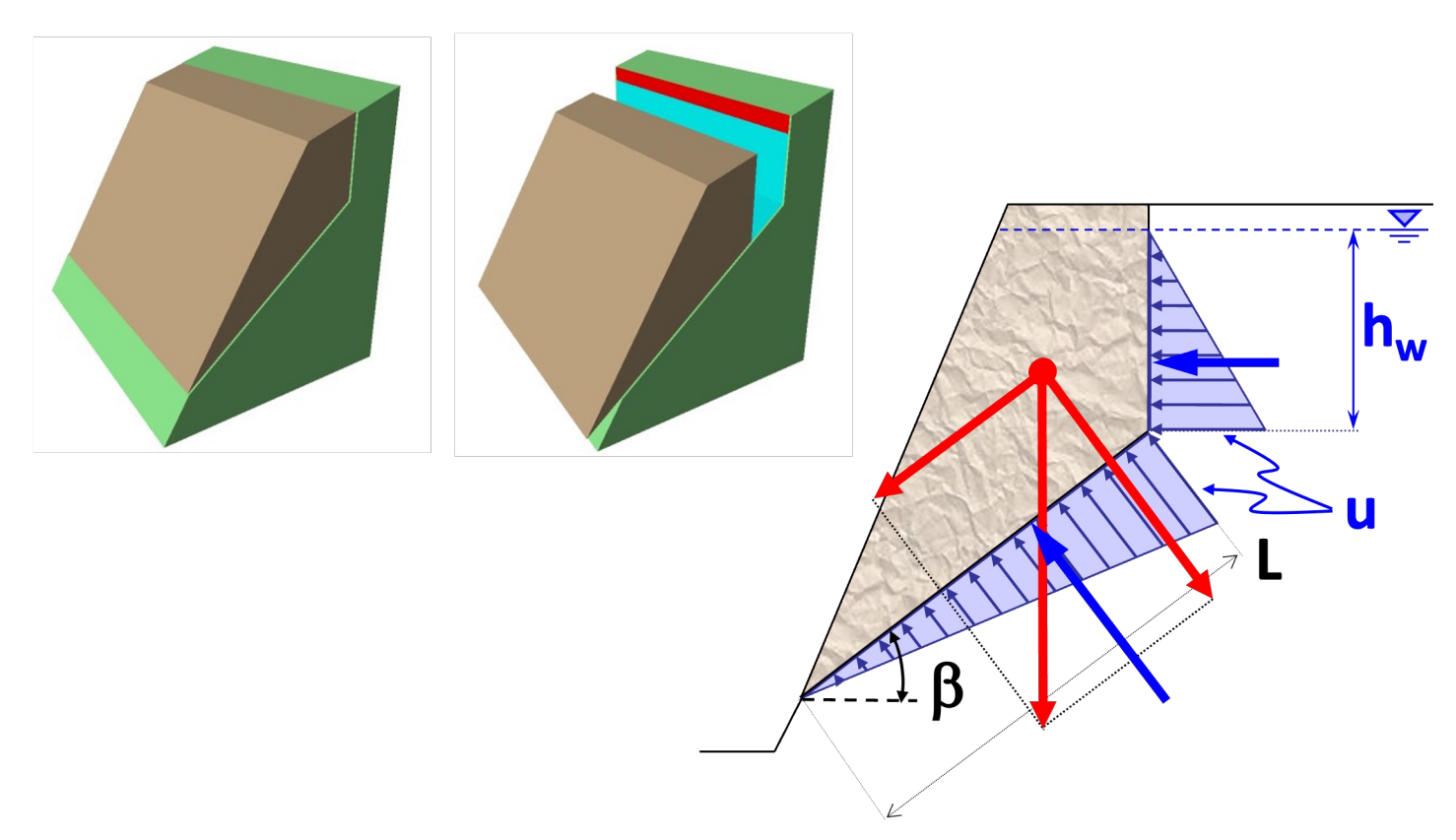


e; = ouverture des discontinuités -i d<sub>i</sub> = espacement des discontinuités -i

k<sub>fi</sub> = perméabilité des discontinuités -i

k<sub>m</sub> = perméabilité de la matrice rocheuse

# 2.1.2 Glissement sur un plan, avec fissure de traction - Présence d'eau



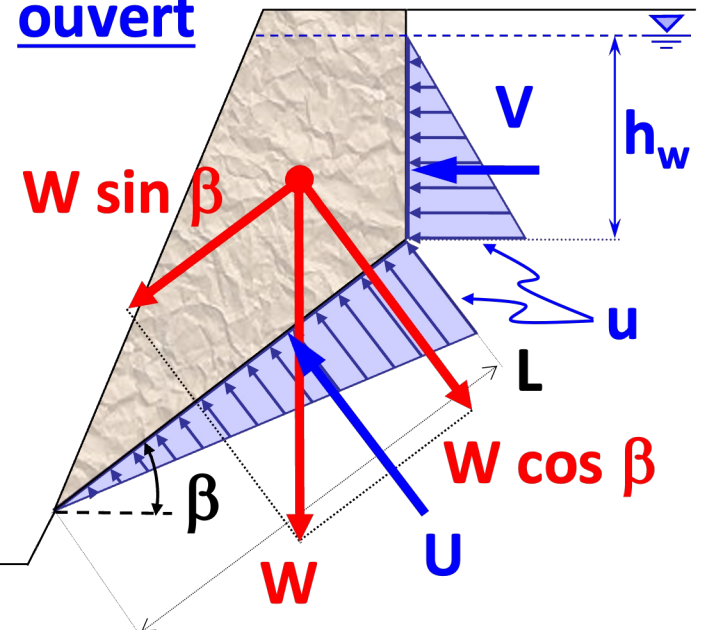
#### **Hypothèses:**

- Mise en charge de la fissure de traction → Répartition hydrostatique.
- **Ecoulement avec gradient** constant dans le plan de glissement.
- → Pression au pied de la fissure de traction:  $u = \gamma_w \cdot h_w$  [kPa]

Force d'eau [kN/m]:

$$V = \frac{1}{2} \cdot \gamma_w \cdot h_w^2$$

$$U = \frac{1}{2} \cdot \gamma_{w} \cdot h_{w} \cdot L$$

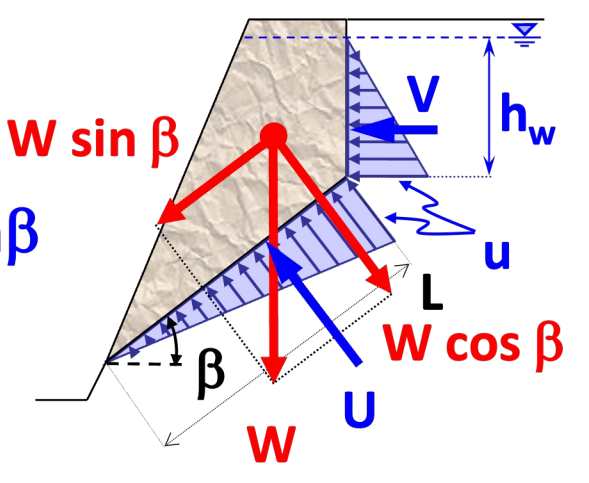


# 2.1.2 Glissement sur un plan, avec fissure de traction

#### Stabilité au glissement

$$\uparrow$$
: N = W · cos $\beta$  – U – V · sin $\beta$ 

 $\leftarrow$  : T = W · sin $\beta$  + V · cos $\beta$ 



$$F_{S} = \frac{\left(W \cdot \cos \beta - U - V \cdot \sin \beta\right) \tan \phi + c \cdot A}{W \cdot \sin \beta + V \cdot \cos \beta}$$

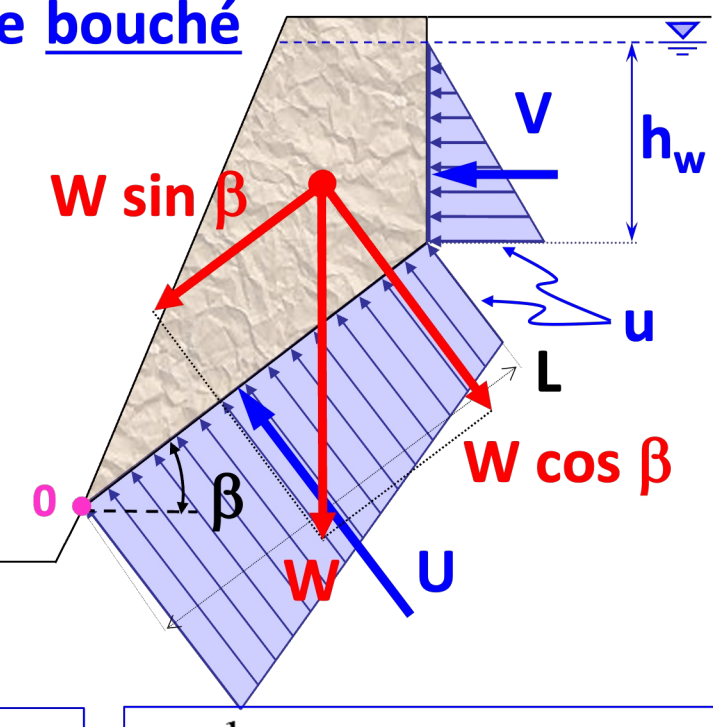
Diminution de la résistance et augmentation de la sollicitation:

→ stabilité beaucoup plus précaire!

#### **Hypothèses:**

- Mise en charge de la fissure de traction → Répartition hydrostatique.
- Mise en charge de la fissure de traction → Répartition hydrostatique.
- → Pression à l'exutoire 0:  $u = \gamma_w \cdot (h_w + L \cdot \sin\beta)$  [kPa]

$$V = \frac{1}{2} \cdot \gamma_w \cdot h_w^2$$



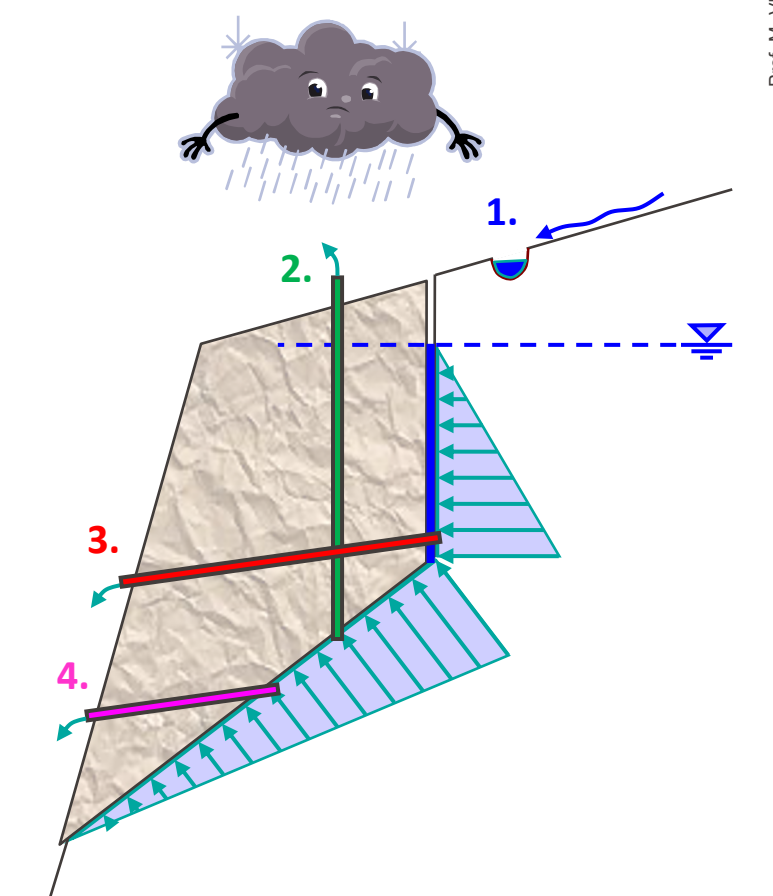
$$V = \frac{1}{2} \cdot \gamma_{W} \cdot h_{W}^{2} \qquad U = \frac{1}{2} \cdot \gamma_{W} \cdot L \cdot (2 \cdot h_{W} + L \cdot \sin \beta)$$

## 2.1.3 Méthodes de contrôle de l'eau



Prof. M. VIOLA

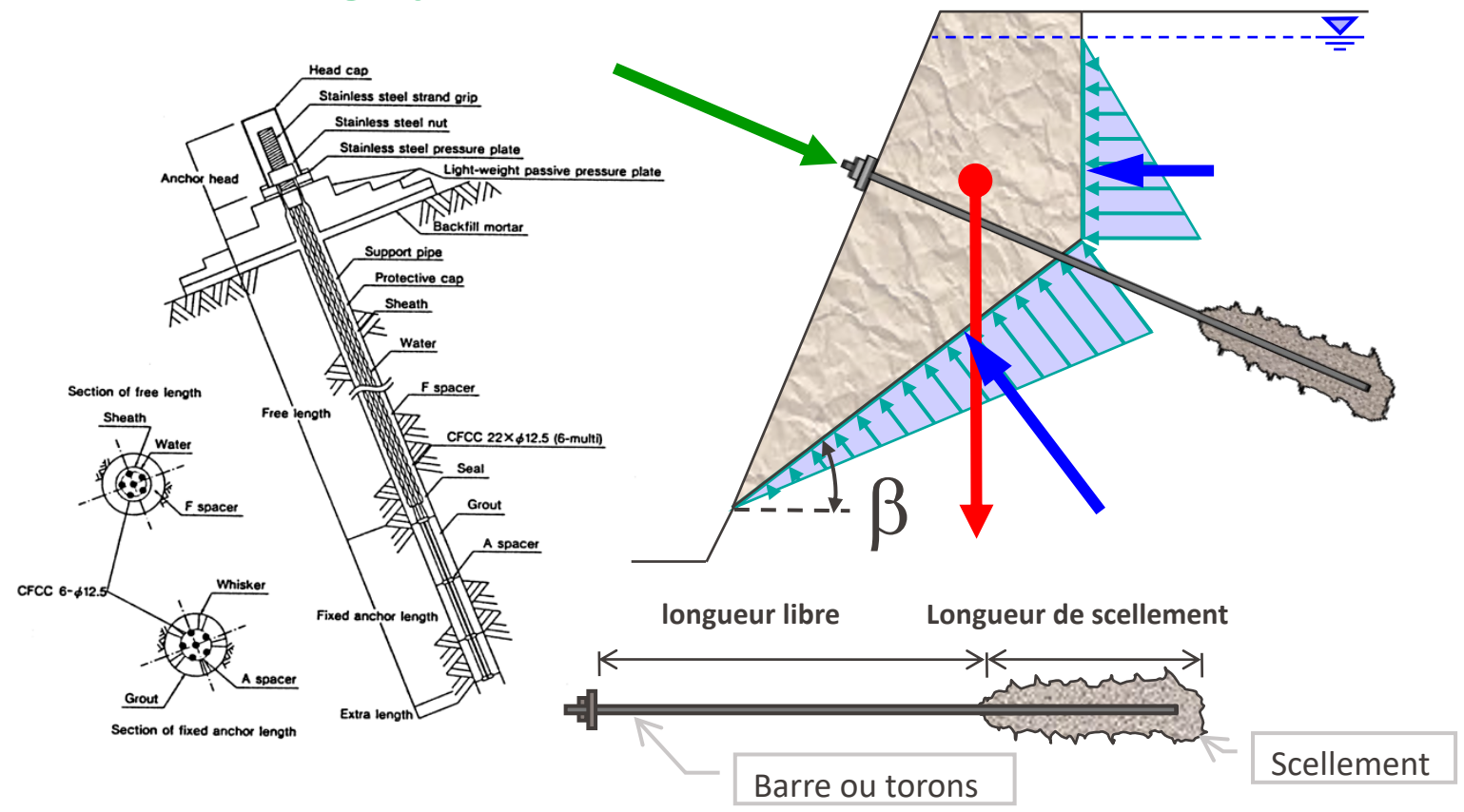
- Drainage de surface (canalisation pour les eaux de ruissellement)
- 2. Pompage dans des puits
- 3. Drainage gravitaire de la fissure de traction
- 4. Drainage gravitaire du plan de glissement
- 5. Galerie de drainage sous le plan de glissement avec drains rayonnants



### 2.1.4 Confortements - Mesures actives



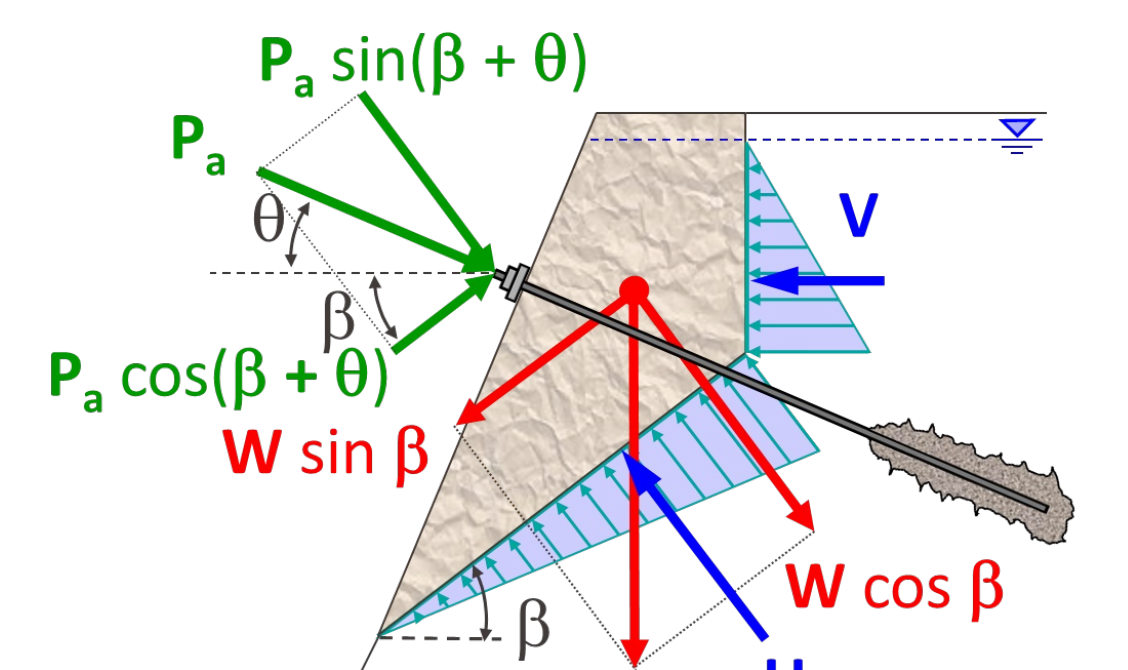
Tirants d'ancrage précontraints



Prof. M. VIOLAY

#### 2.1.4 Confortements - Mesures actives





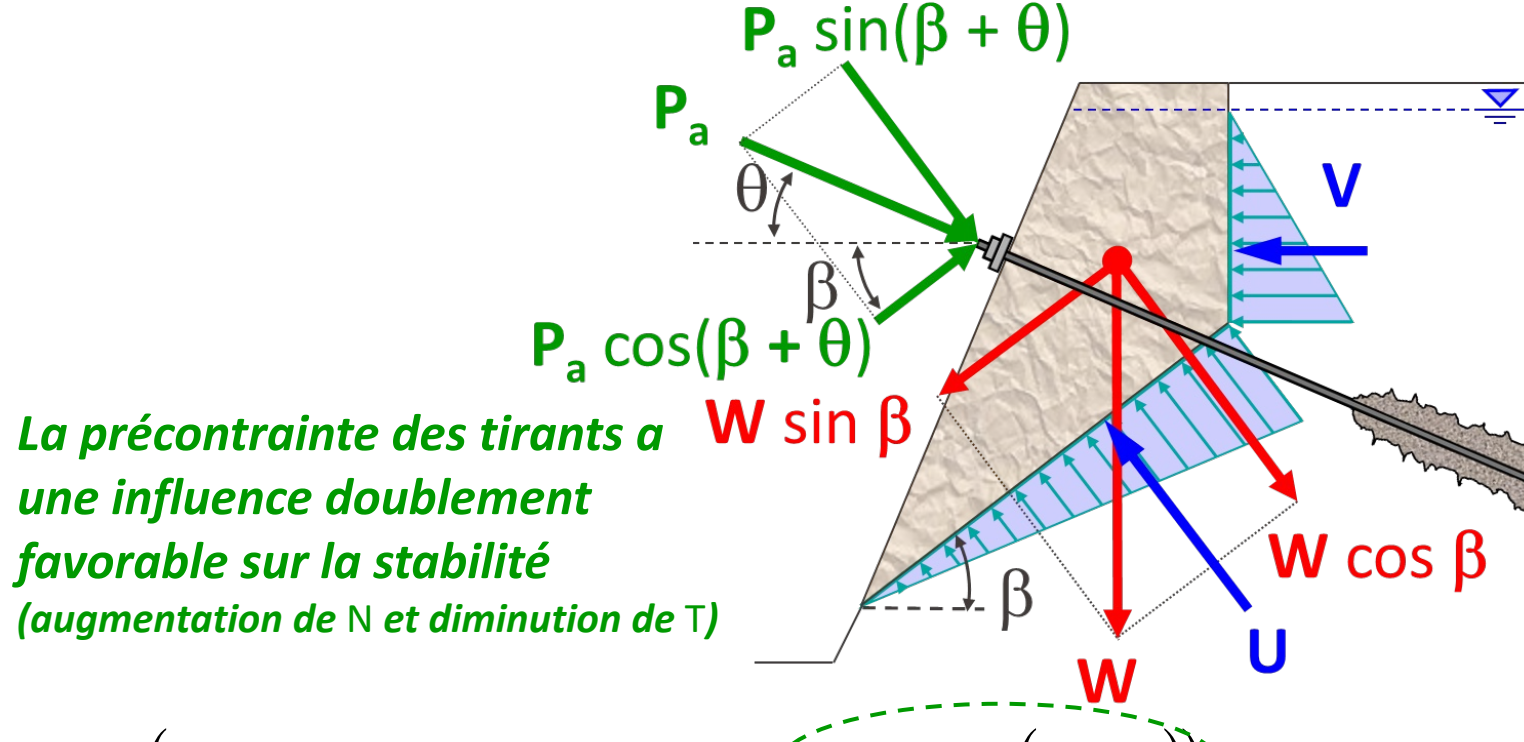
 $\uparrow : N = W \cdot \cos \beta - U - V \cdot \sin \beta + P_a \cdot \sin (\beta + \theta)$ 

 $\leftarrow$ : T = W · sin  $\beta$  + V · cos  $\beta$  - P<sub>a</sub> · cos ( $\beta$  +  $\theta$ )

## 2.1.4 Confortements - Mesures actives







**AÉCANIQUE DES ROCHES ET OUVRAGES SOUT** 

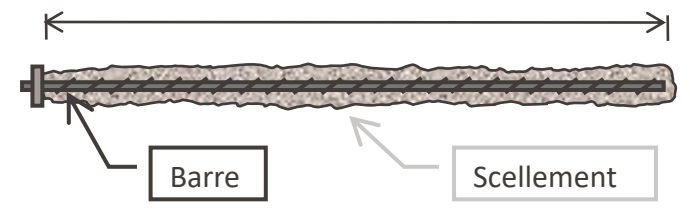
$$F_s = \frac{\left(W \cdot cos\beta - U - V \cdot sin\beta + \widehat{P_a} \cdot sin(\beta + \theta)\right) \cdot tan\phi}{W \cdot sin\beta + V \cdot cos\beta - \widehat{P_a} \cdot \widehat{cos}(\beta + \theta)}$$

# 2.1.4 Confortements – Mesures passives



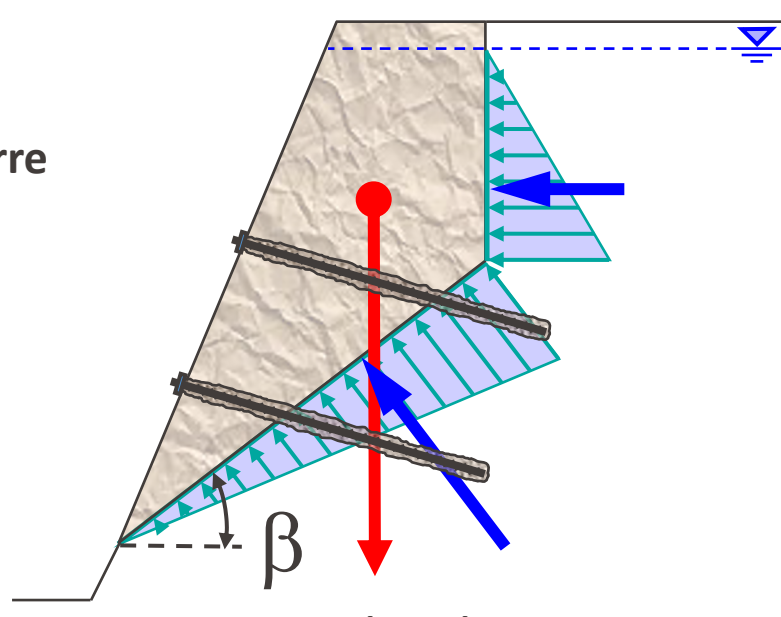
**Boulons d'ancrage ou clous** 

Scellement sur toute la longueur de la barre



Les ancrages passifs augmentent la cohésion du massif rocheux (Bjurström, 1974):

$$c_a = \frac{S_a}{S} \cdot \tau_a \cdot \sqrt{\frac{\sigma_c}{\sigma_f}}$$



S<sub>a</sub> = section de la barre (acier)

S = section de roche renforcée

 $\tau_a$  = résistance au cisaillement de l'acier ( $\tau_a \approx 0.6 \sigma_f$ )  $\sigma_c$  = résistance à la compression simple de la roche  $\sigma_f$  = limite d'élasticité de la barre (acier)

! En réalité, en plus de la flexion et du cisaillement, les barres sont aussi sollicitées en traction...

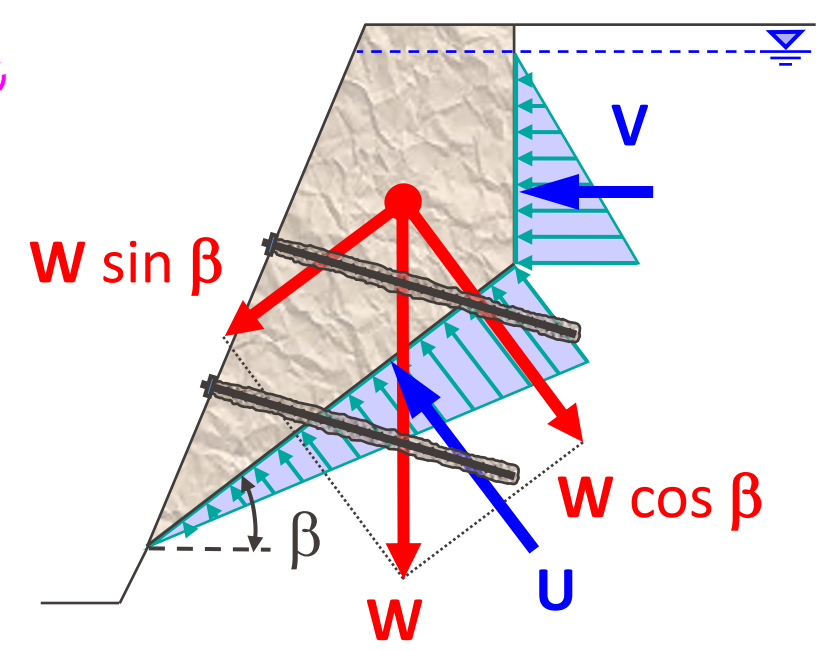
## 2.1.4 Confortements - Mesures passives



of. M. VIOLAY

$$F_s = \frac{N \cdot tan \varphi + c * S + c_a \cdot S}{T}$$

soit  $c^* \cdot S$  soit  $c_a \cdot S$  (ne pas sommer les contributions)



 $\uparrow$ : N = W · cos  $\beta$  – U – V · sin  $\beta$ 

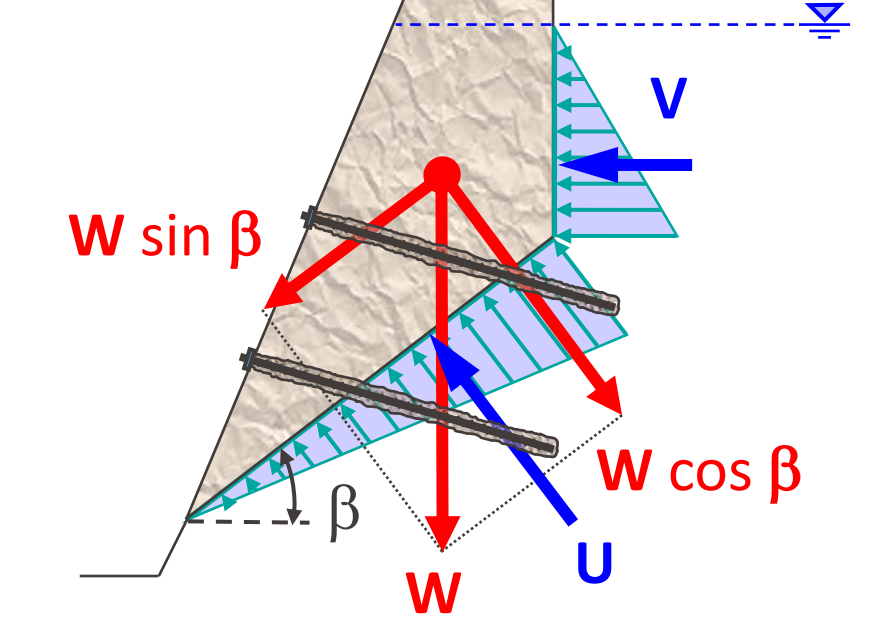
 $\leftarrow$ : T = W · sin  $\beta$  + V · cos  $\beta$ 

# 2.1.4 Confortements - Mesures passives



Prof. M. VIOLA





$$F_s = \frac{N \cdot tan \, \phi + c_a \cdot S}{T}$$

$$F_s = \frac{\left(W \cdot \cos \beta - U - V \cdot \sin \beta\right) \cdot \tan \phi + c_a \cdot S}{W \cdot \sin \beta + V \cdot \cos \beta}$$

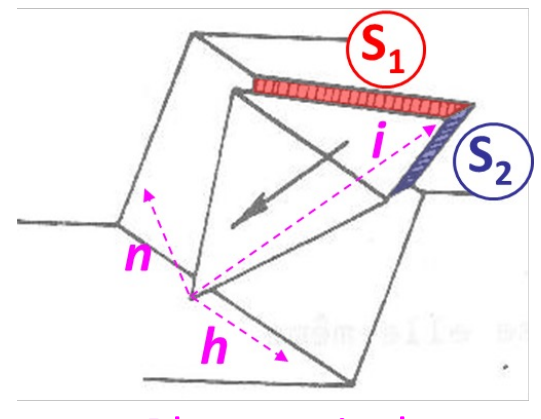
Prof. M. VIOLAY

### Fouilles en rocher

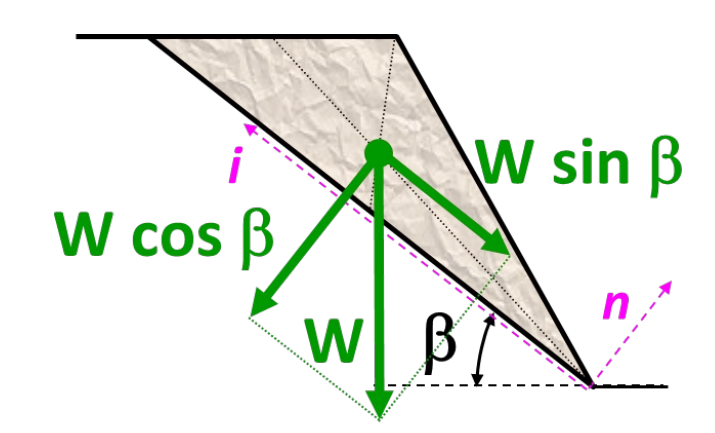
- 1. Introduction
- 2. Analyse de stabilité
  - 2.1. Glissement plan
  - 2.2. Glissement dièdre
    - 2.2.1 Établissement des équations
    - 2.2.2 Effet de coin et abaques
  - 2.3. Basculement Fauchage
  - 2.4. Glissement rotationnel
- 3. Considérations pratiques

# 2.2.1 Glissement dièdre - équations



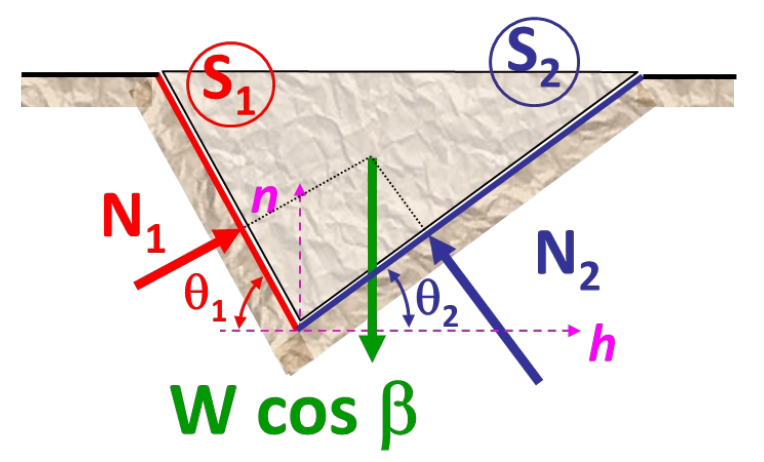


Plan vertical



Glissement d'un dièdre rocheux sur les plans  $S_1$  et  $S_2$ . Le glissement se produit dans la direction de la droite d'intersection des 2 plans i.

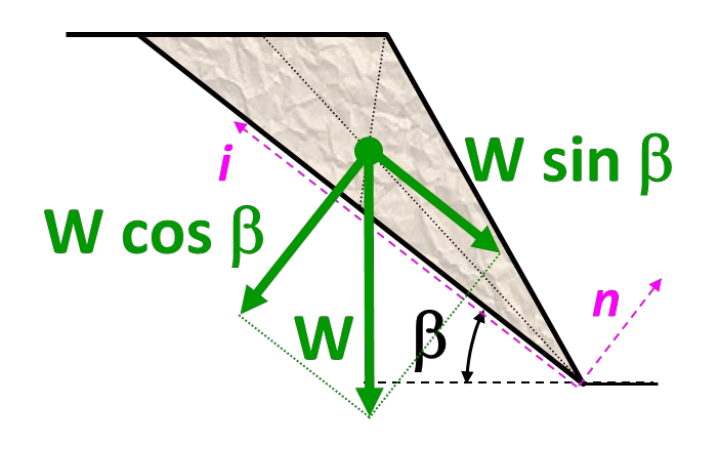
Coupe perpendiculaire à la direction i

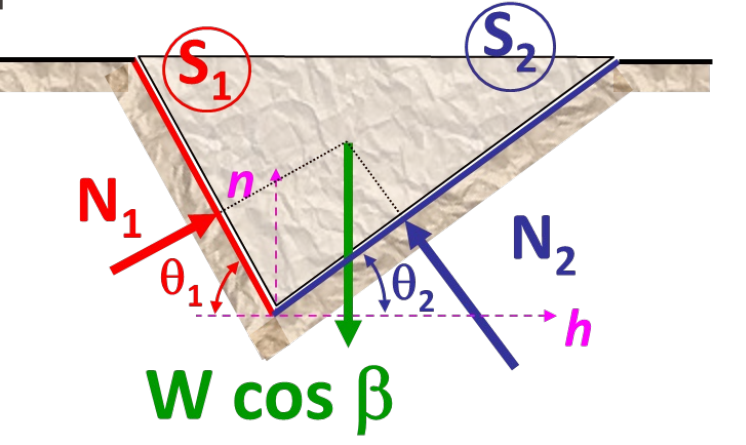












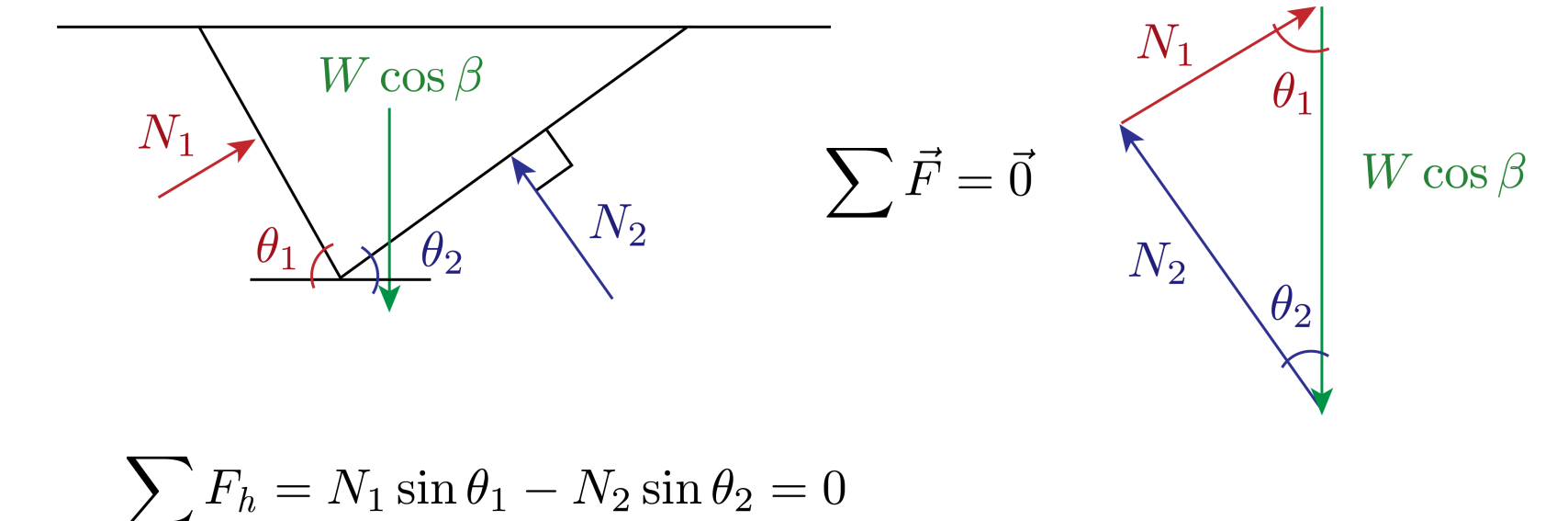
Résolution des équations d'équilibre dans les directions h, i et n:

$$F_s = \frac{N_1 \cdot tan \, \phi_1 + N_2 \cdot tan \, \phi_2 + c_1^* \cdot S_1 + c_2^* \cdot S_2}{W \cdot sin \, \beta}$$

$$N_1 = \frac{W \cdot \cos \beta \cdot \sin \theta_2}{\sin (\theta_1 + \theta_2)}$$

$$N_2 = \frac{W \cdot \cos \beta \cdot \sin \theta_1}{\sin (\theta_1 + \theta_2)}$$

Décomposition force N<sub>1</sub>, N<sub>2</sub> (forces normales aux 2 surfaces) :



$$\sum F_n = -W \cos \beta + N_1 \cos \theta_1 + N_2 \cos \theta_2 = 0$$

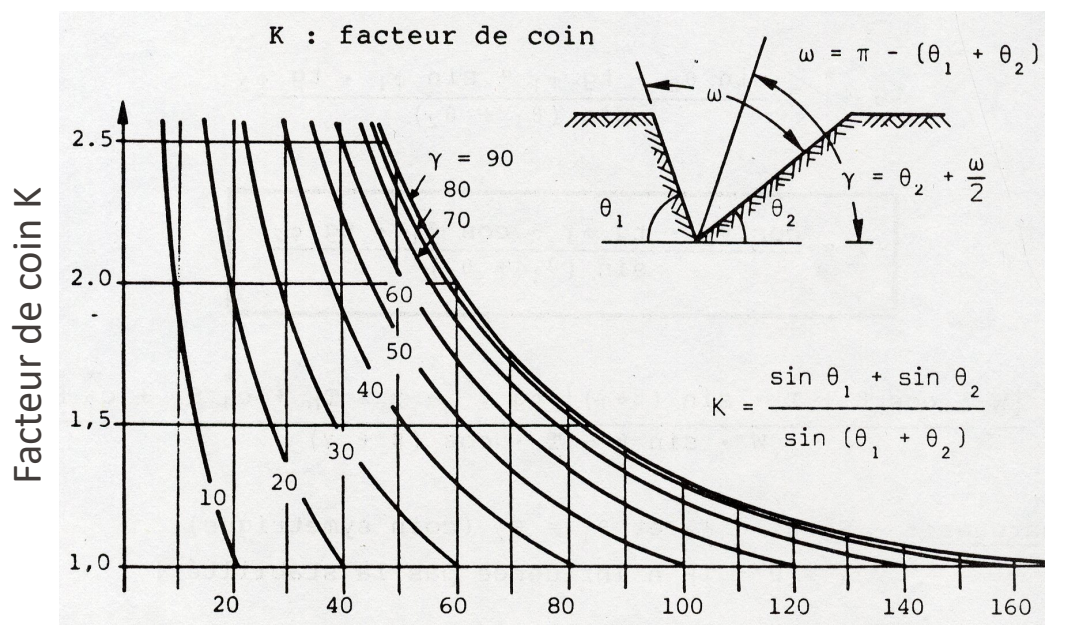
$$\Leftrightarrow N_1 = \frac{W \cos \beta \sin \theta_2}{\sin (\theta_1 + \theta_2)}, N_2 = \frac{W \cos \beta \sin \theta_1}{\sin (\theta_1 + \theta_2)}$$

Prof. M. VIOLAY

## 2.2.2 Glissement dièdre – effet de coin



si  $c_1^* = c_2^* = 0$  (joints lisses) et  $\phi_1 = \phi_2 = \phi$  (plans de même angle de frottement)



$$F_s = K \cdot \frac{\tan \varphi}{\tan \beta}$$

avec K : Facteur de coin

$$K = \frac{\sin \theta_1 + \sin \theta_2}{\sin (\theta_1 + \theta_2)}$$

Angle d'ouverture du coin  $\omega$ 

La stabilité d'un dièdre est toujours plus grande que celle du glissement plan:

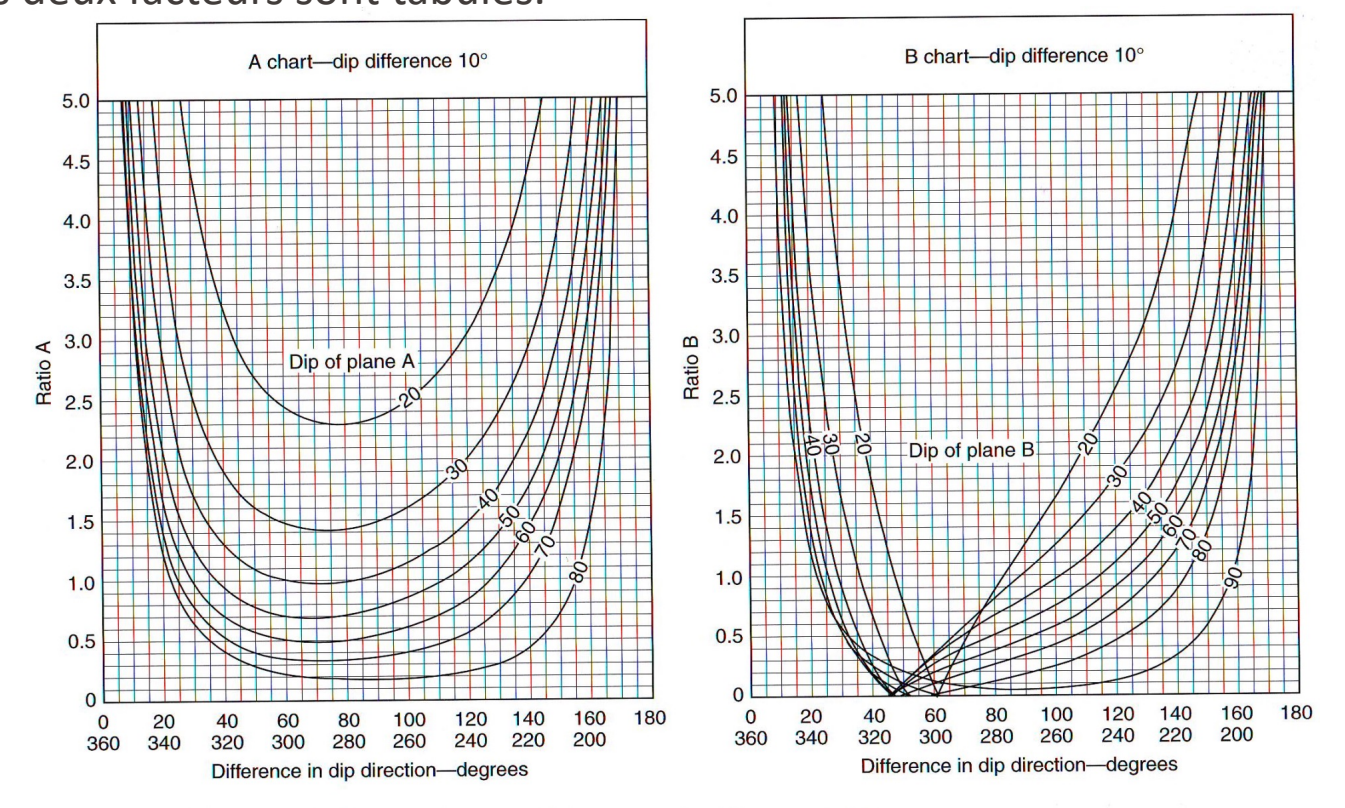
- plus le dièdre est fermé (angle ω petit), meilleure est la stabilité;
- plus le dièdre est droit (angle  $\gamma$  de la bissectrice proche de 90°), meilleure est la stabilité.

#### **EPFL**

#### 2.2.2 Glissement dièdre – effet de coin



Lorsque les angles de frottement  $\phi_A$  et  $\phi_B$  sont différents:  $F_s = A \cdot \tan \phi_A + B \cdot \tan \phi_B$  avec A et B des facteurs adimensionnels fonction du pendage et de la direction. Ces deux facteurs sont tabulés.



Prof. M. VIOLAY

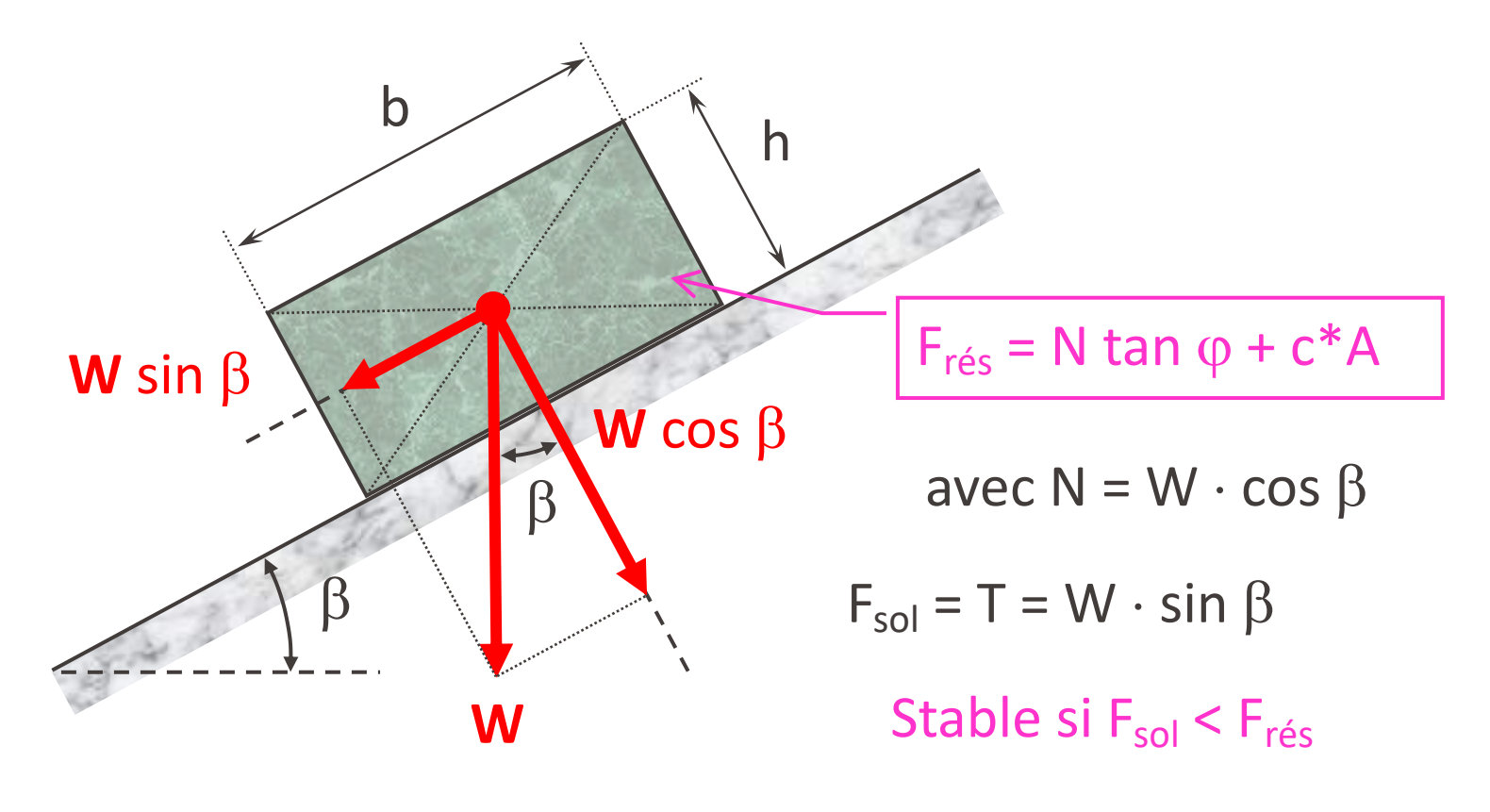
#### Fouilles en rocher

- 1. Introduction
- 2. Analyse de stabilité
  - 2.1. Glissement plan
  - 2.2. Glissement dièdre
  - 2.3. Basculement Fauchage
  - 2.4. Glissement rotationnel
- 3. Considérations pratiques





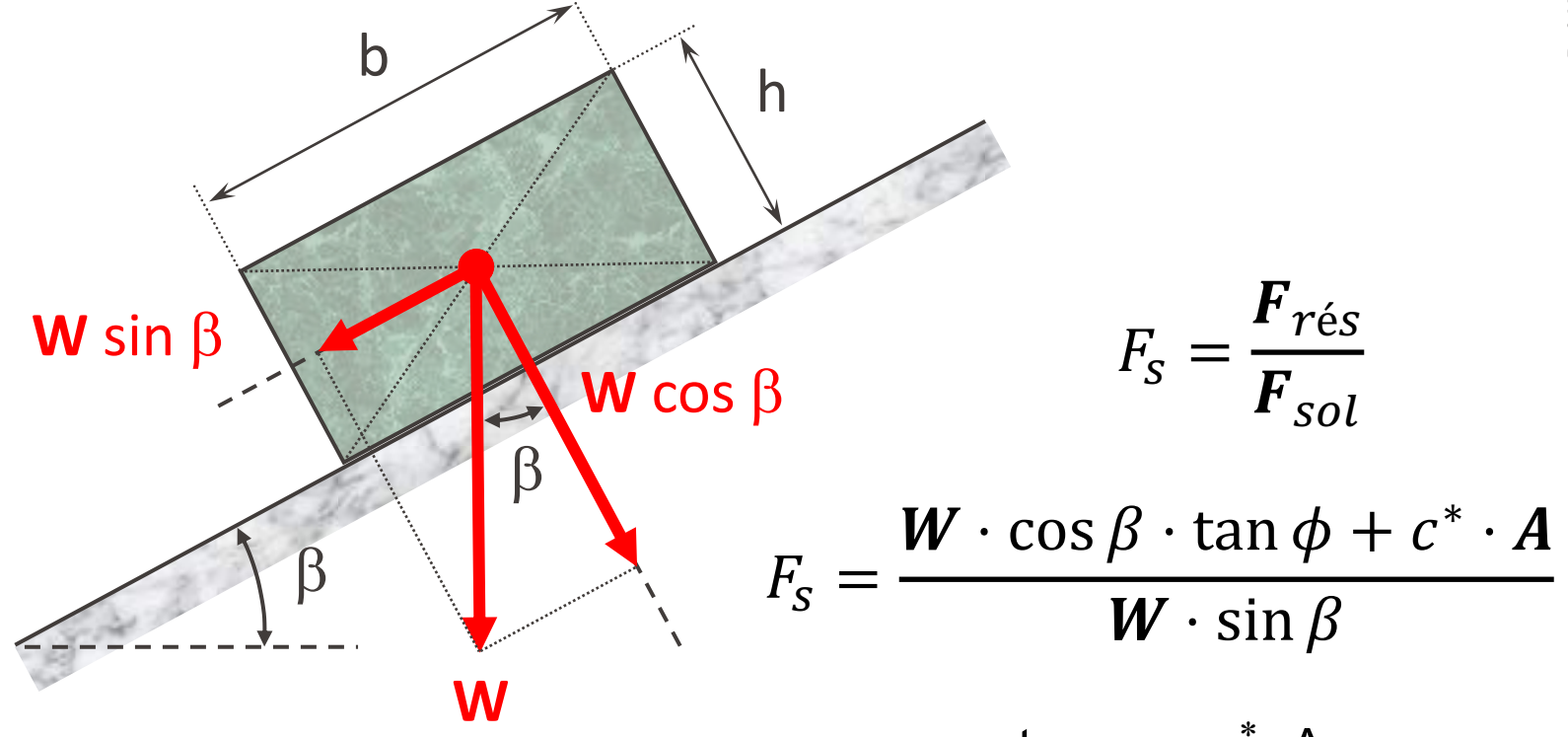




 $W \cdot \sin \beta < (W \cdot \cos \beta) \cdot \tan \phi + c*A$ 





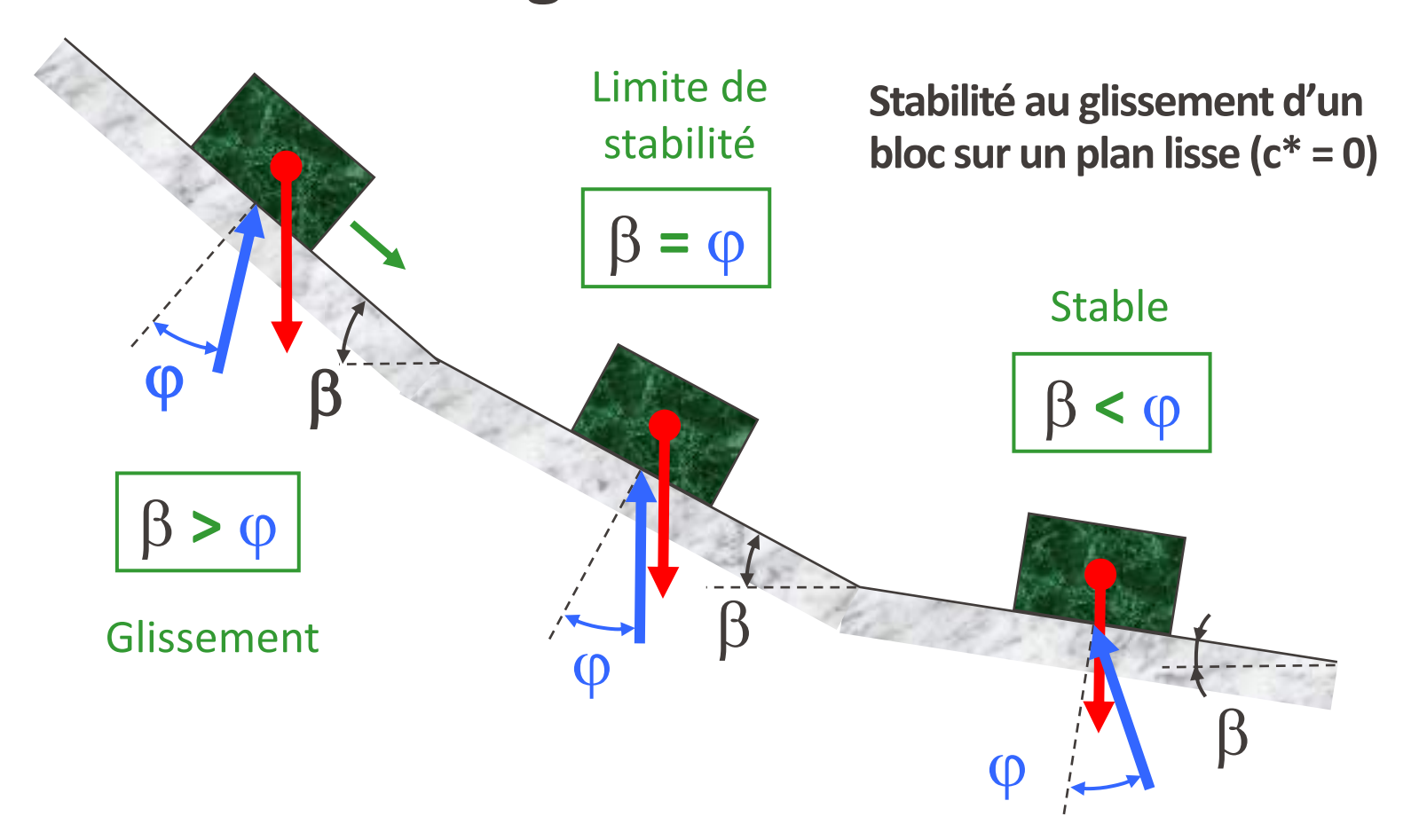


Facteur de sécurité au glissement :  $F_s = \frac{\tan \varphi}{\tan \beta} + \frac{\alpha}{W}$ 

MÉCANIQUE DES ROCHES ET OUVRAGES SOUTERRAINS

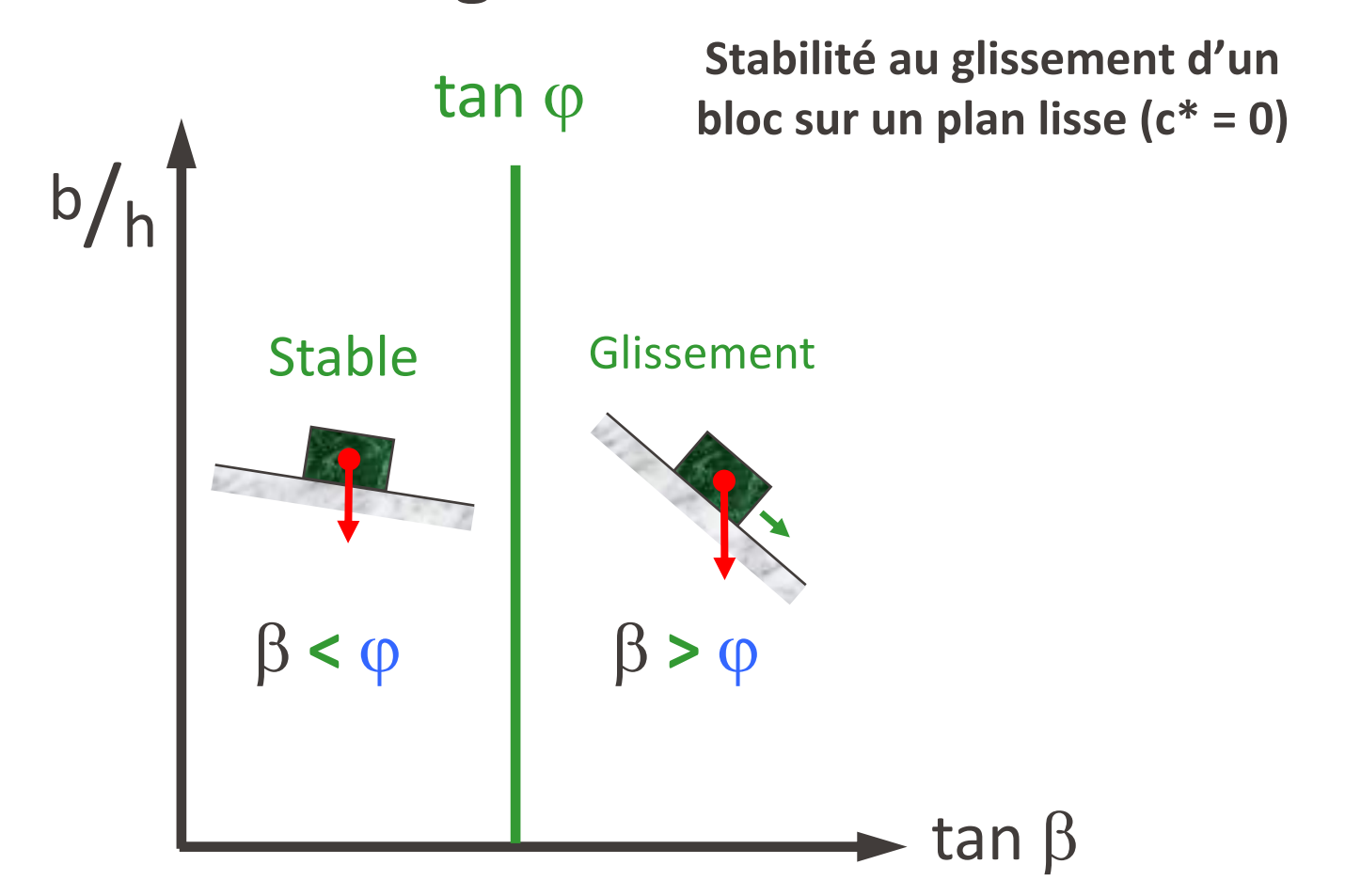








Prof. M. VIOLAY



 $M_{déstabilisant,0} = W \cdot \sin \beta \cdot h/2$ 

 $M_{\text{stabilisant},0} = W \cdot \cos \beta \cdot b/2$ 

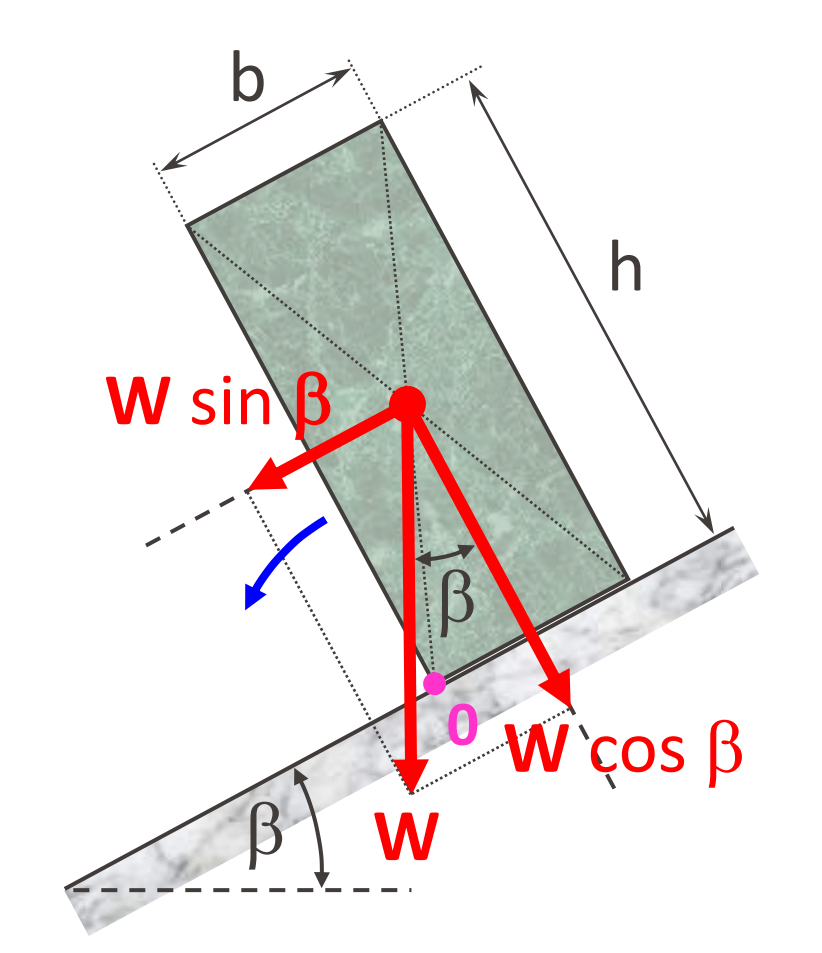
Stable si  $M_{d\acute{e}stab,0} < M_{stab,0}$ 

$$\tan \beta < b/h$$

Instabilité au basculement si la ligne d'action du vecteur poids propre W recoupe la surface du versant en dehors de la base de la colonne.

Facteur de sécurité au basculement:

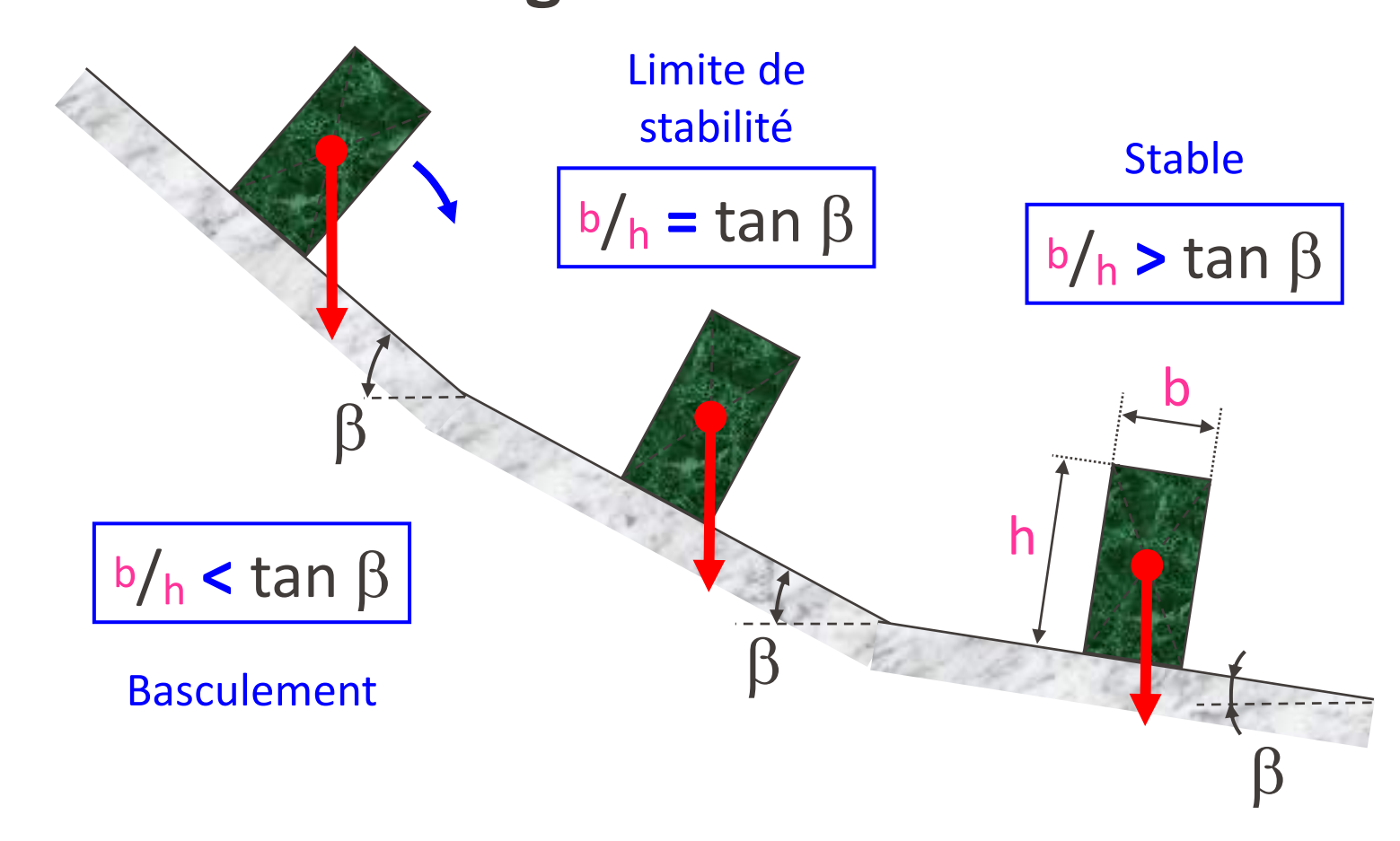
$$F_s = \frac{M_{stab,0}}{M_{d\acute{e}stab,0}} = \frac{b}{h \cdot tan \beta}$$



MÉCANIQUE DES ROCHES ET OUVRAGES SOUTERRAINS

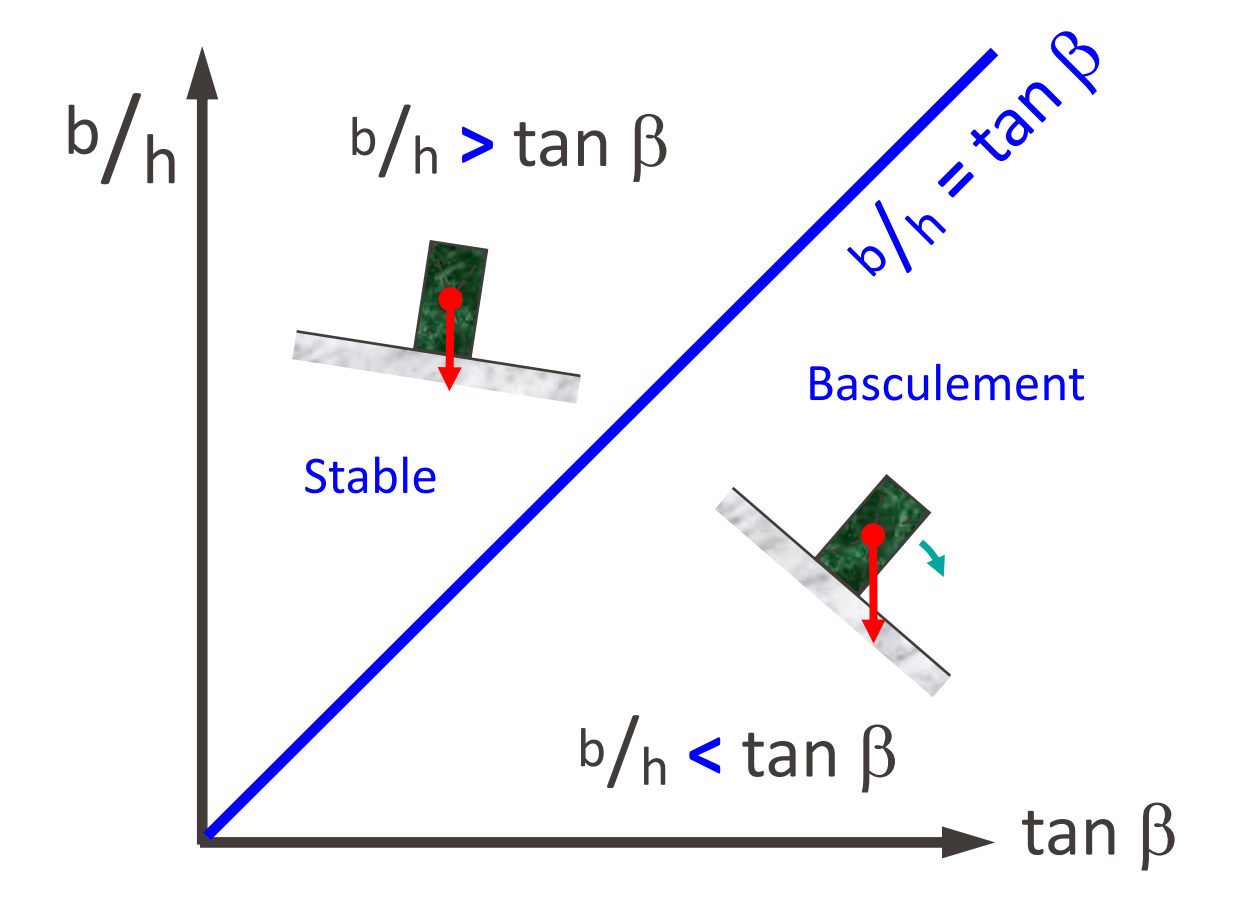








Prof. M. VIOLAY



MÉCANIQUE DES ROCHES ET OUVRAGES SOUTERRAINS

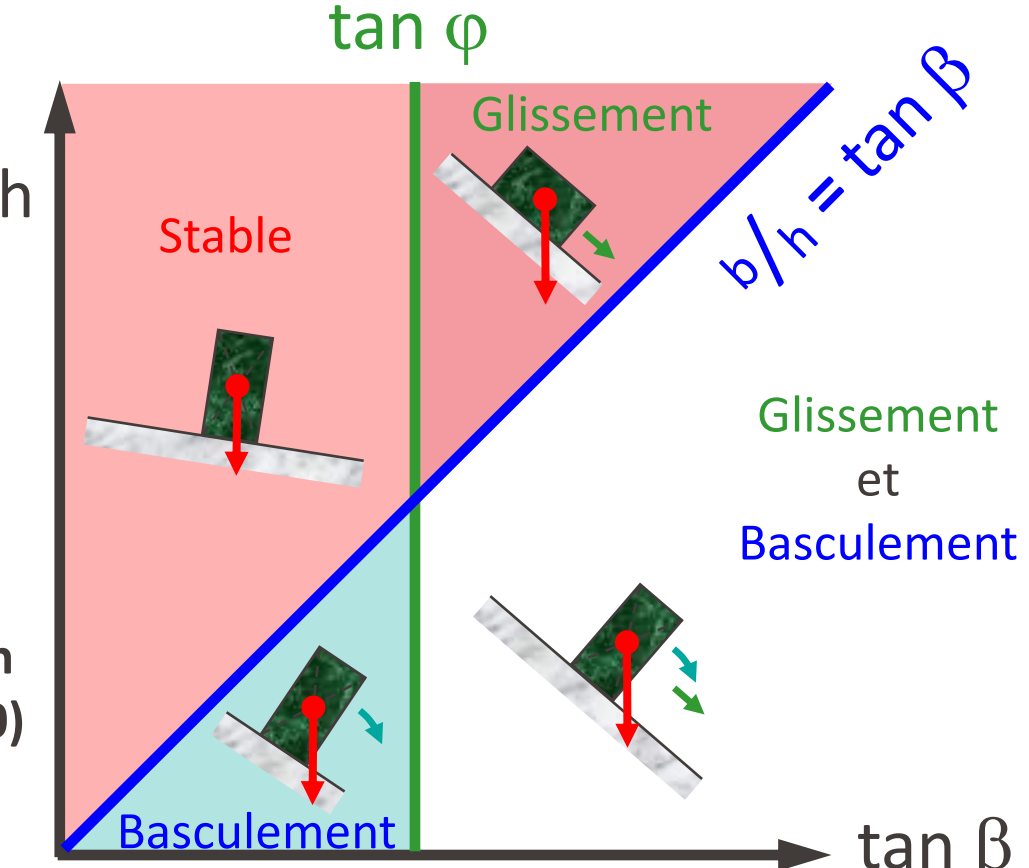
# 2.3.1 Stabilité au basculement et glissement



Prof. M. VIOLAY

/h

Stabilité au glissement et basculement d'un bloc sur un plan lisse (c\* = 0)

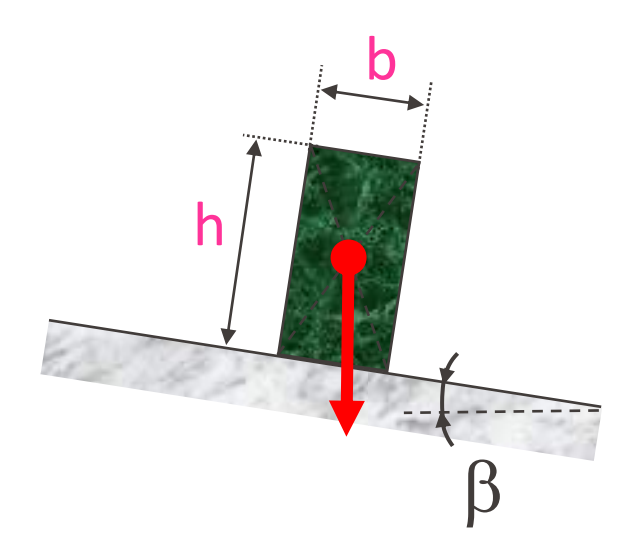


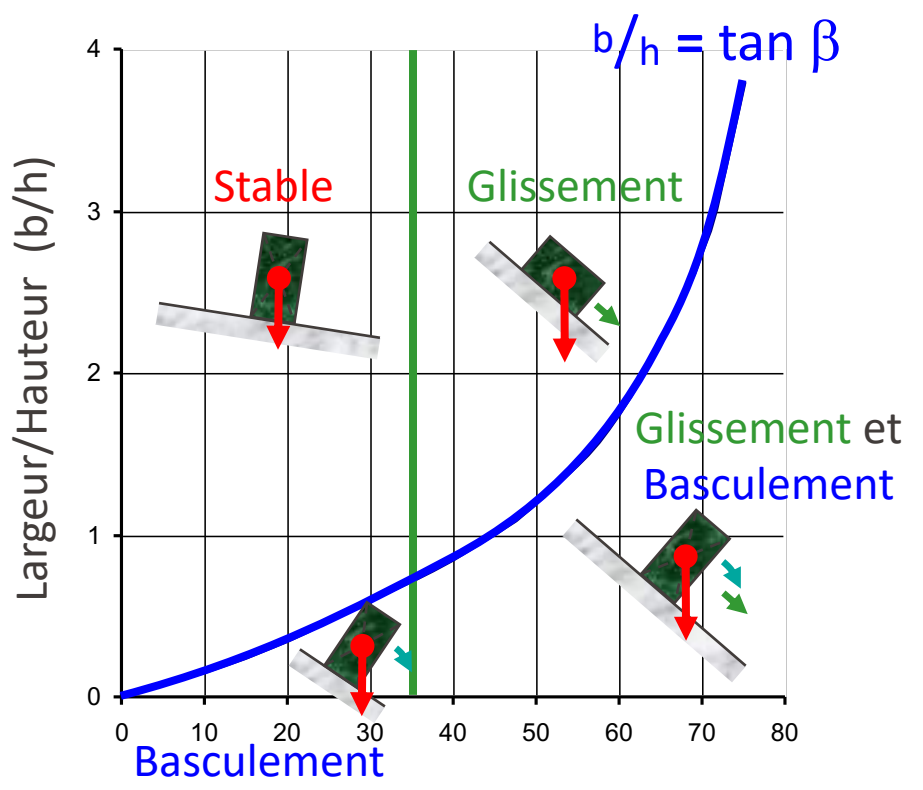
Prof. M. VIOLAY

## 2.3.1 Stabilité au basculement et glissement



Stabilité au glissement et basculement d'un bloc sur un plan lisse (c\* = 0)





Inclinaison du plan de base  $\beta$  [°]

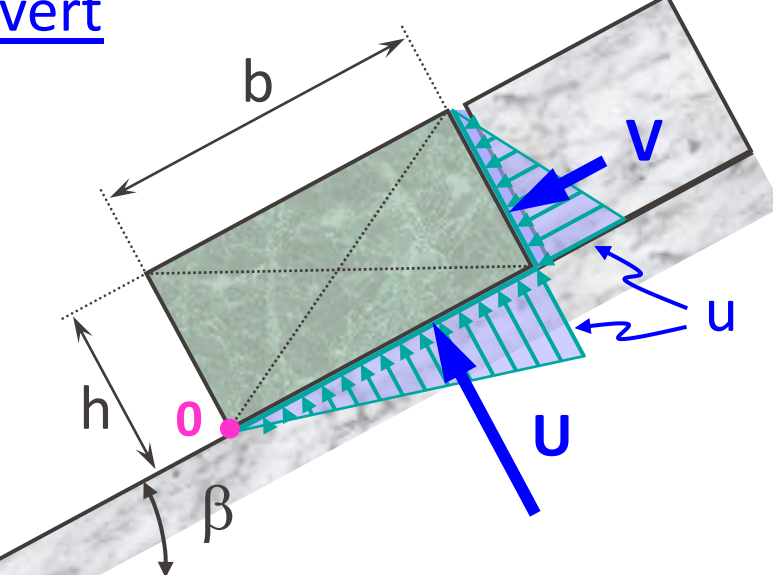
# 2.3.1 Stabilité d'un bloc en présence d'eau

Prof. M. VIOI

Présence d'eau + exutoire <u>ouvert</u>

#### Hypothèses:

- Répartition hydrostatique dans la fissure arrière.
- Ecoulement avec gradient constant dans le plan de glissement.
- $\rightarrow$  Pression à l'exutoire:  $u_0 = 0$
- $\rightarrow$  Pression au pied de la fissure arrière:  $\mathbf{u} = \gamma_{\mathbf{w}} \cdot \mathbf{h} \cdot \cos \beta$



Force d'eau [kN/m]:

$$V = \frac{1}{2} \gamma_w \cdot h^2 \cdot \cos \beta$$

$$\mathbf{U} = \frac{1}{2} \gamma_{w} \cdot \mathbf{h} \cdot \mathbf{b} \cdot \cos \beta$$

Prof. M. VIOLAY

2.3.1 Stabilité d'un bloc en présence d'eau

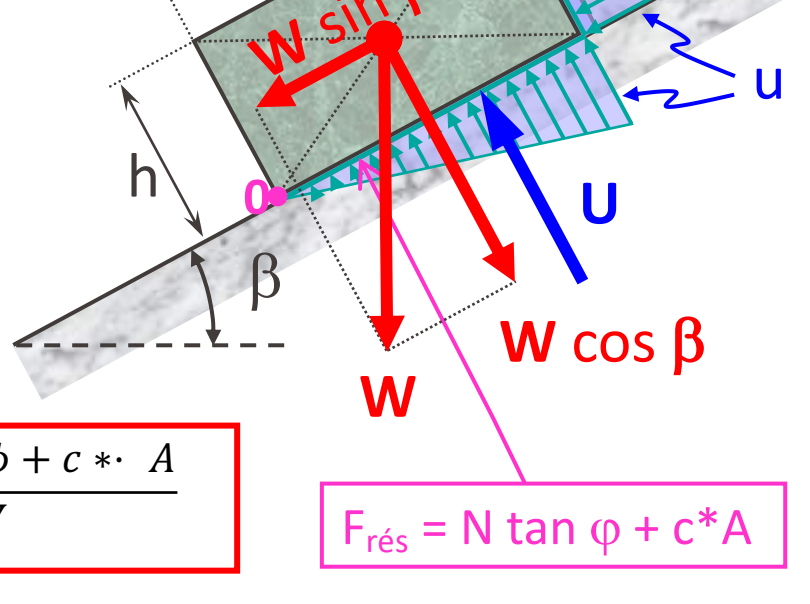
Présence d'eau + exutoire ouvert

Stable au glissement si:

$$F_{sol} < F_{rés} = N' \tan \varphi + c*A$$

$$N' = (W \cdot \cos \beta - U)$$

$$F_{sol} = T = (W \cdot \sin \beta + V)$$



$$F_{S} = \frac{\mathbf{F}_{r\acute{e}S}}{\mathbf{F}_{sol}} = \frac{(W \cdot \cos \beta - U) \cdot \tan \phi + c * \cdot A}{W \cdot \sin \beta + V}$$

→ La résistance au glissement est réduite

# 2.3.1 Stabilité d'un bloc en présence d'eau



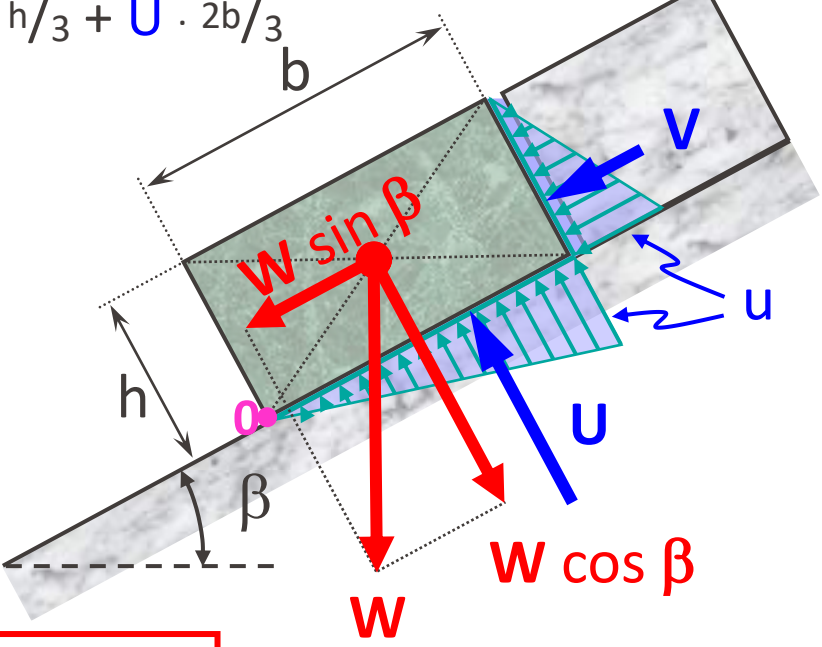
Prof. M. VIOLAY

 $M_{d\acute{e}stabilisant,0} = W \cdot \sin \beta \cdot h/2 + V \cdot h/3 + U \cdot 2b/3$ 

 $M_{\text{stabilisant,0}} = W \cdot \cos \beta \cdot b/2$ 

#### Stable au basculement si:

 $M_{d\acute{e}stab,0} < M_{stab,0}$ 



 $F_{s} = \frac{M_{stab,0}}{M_{d\acute{e}stab,0}} = \frac{W \cdot \cos \beta \cdot \frac{b}{2}}{W \cdot \sin \beta \cdot \frac{h}{2} + V \cdot \frac{h}{3} + U \cdot \frac{2h}{3}}$ 

Stabilité au basculement beaucoup plus précaire

MÉCANIQUE DES ROCHES ET OUVRAGES SOUTERRAINS

# 2.3.1 Stabilité d'un bloc en présence d'eau



Présence d'eau + exutoire bouché

#### Hypothèse:

- Pas d'écoulement dans la fissure basale.
- → Répartition hydrostatique jusqu'à l'exutoire.
- → Pression au pied de la fissure arrière:  $\mathbf{u} = \gamma_{\mathbf{w}} \cdot \mathbf{h} \cdot \cos \beta$ 
  - $\rightarrow$  Pression à l'exutoire:  $u_0 = \gamma_w \cdot (h \cdot \cos \beta + b \cdot \sin \beta)$

Force d'eau [kN/m]:

$$V = \frac{1}{2} \gamma_w \cdot h^2 \cdot \cos \beta$$

$$U = \frac{1}{2} \gamma_w \cdot b \cdot (2 \cdot h \cdot \cos \beta + b \cdot \sin \beta)$$

Prof. M. VIOLAY

#### **Fouilles en rocher**

- 1. Introduction
- 2. Analyse de stabilité
- 3. Considérations pratiques
  - 3.1. Estimation empirique de la stabilité
  - 3.2. Excavation
  - 3.3. Mesures de renforcement et de protection

# 3.1 Estimation empirique de la stabilité

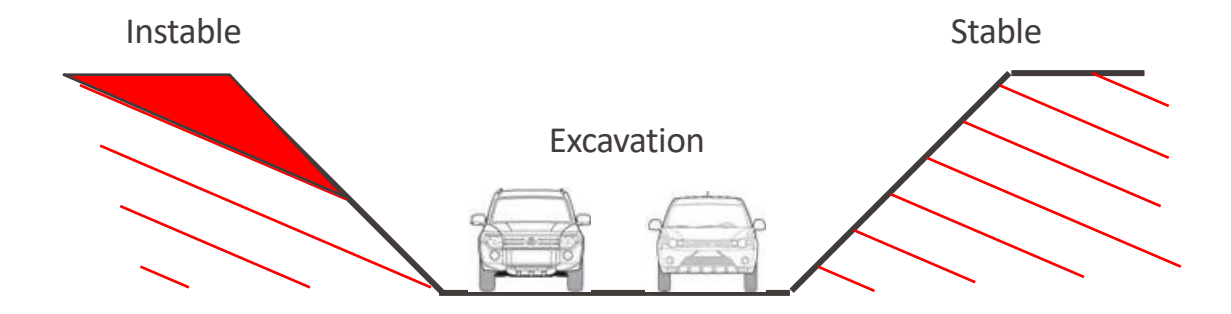


#### Estimation de la stabilité à l'aide du Rock Mass Rating

La stabilité de fouilles en rocher dépend de la qualité et des propriétés mécaniques du massif rocheux. Le RMR permet d'estimer cette qualité.

#### Ajustement du RMR

Cependant, lorsqu'une fouille est réalisée dans un massif rocheux, la stabilité des talus dépend également de l'orien-tation des discontinuités par rapport au talus. Une correction due à l'orientation des discontinuités doit ainsi être faite.





Rock Mass Rating (RMR)

#### (a) RMR

Le RMR est la somme de cinq paramètres. Chacun caractérise une propriété: (i) Résistance, (ii) RQD, (iii) Espacement des discontinuités, (iv) Qualité des discontinuités (v) Conditions hydrauliques

RMR	>81	61 – 80	41 – 60	21 – 40	< 20
Qualité du rocher	Très Bon	Bon	Moyen	Mauvais	Très Mauvais

#### (b) Ajustement des discontinuités

		Très Favorable	Favorable	Sans importance	Défavorable	Très Défavorable
Type d'ouvrage	Tunnels	0	<b>-2</b>	<b>- 5</b>	<b>– 10</b>	<b>- 12</b>
a ouvrago	Fondations	0	<b>-2</b>	<b>-7</b>	<b>– 15</b>	<b>– 25</b>
	Pentes	0	<b>-</b> 5	<b>– 25</b>	<b>–</b> 50	<b>- 60</b>



#### Ajustement du RMR pour la stabilité des pentes

Cet ajustement est prévu pour des instabilités de type plan, dièdre et de basculement. L'orientation des discontinuités est importante.

Note d'ajustement du RMR = (A\*B\*C) + D

RMR ajusté = RMR + [(A\*B\*C) + D]

Les notes A, B et C sont liées à l'orientation des discontinuités, tandis que la note D est fonction de la qualité d'exécution de la pente excavée.



Ajustement du RMR pour la stabilité des pentes

Ajustement	Très Favorable	Favorable	Moyen	Défavorable	Très Défavorable
Différence d'azimut de pendage entre talus & discontinuités	< -30 ou > 30	-30 à -20 30 à 20	-20 à -10 20 à 10	-10 à -5 10 à 5	-5 à 5
Α	0.15	0.40	0.70	0.85	1.00
Pendage des discontinuités	< 20	20 à 30	30 à 35	35 à 45	> 45
В	0.15	0.40	0.70	0.85	1.00
Différence de pendage entre discontinuités & talus	> 10	10 à 0	0	0 à -10	< -10
С	0	-6	-25	-50	-60
Type de pente	Pente naturelle	Prédécoupage	Explosif (travail soigné)	Explosif/ ripage	Explosif (sans soin)
D	+15	+10	+8	0	-8

# CANIQUE DES ROCHES ET OUVRAGES SOUTERRAIN

# 3.1 Estimation empirique de la stabilité



Lorsqu'elles sont proches, le développement d'un glissement est plus probable.

#### Pendage des discontinuités

Le pendage doit être significatif pour qu'il y ait glissement (> angle de frottement).

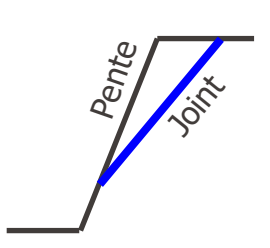
#### Pendage des discontinuités – pendage talus

Si le pendage des discontinuités < pendage du talus, le glissement peut se produire.

#### Type de pente

Des talus réalisés soigneusement ont moins de chance d'être instables.







rof. M. VIOLA)

#### RMR pour la stabilité des pentes

RMR ajusté	Qualité du massif rocheux	Stabilité du talus	Mode de rupture	Renforcement	
> 81	Très bon	Très stable	Aucun	Aucun	
61 ~ 80	Bon	Stable	Renversement de quelques blocs	Ponctuel	
41 ~ 60	Moyen	Partiellement stable	Quelques ruptures planes, plusieurs en dièdre	Systématique	
21 ~ 40	Mauvais	Instable	Ruptures planes ou grands dièdres	Significatif, correctif	
< 20	Très mauvais	Très instable	Grands dièdres ou rupture circulaire	Reprofilage	

#### **Fouilles en rocher**

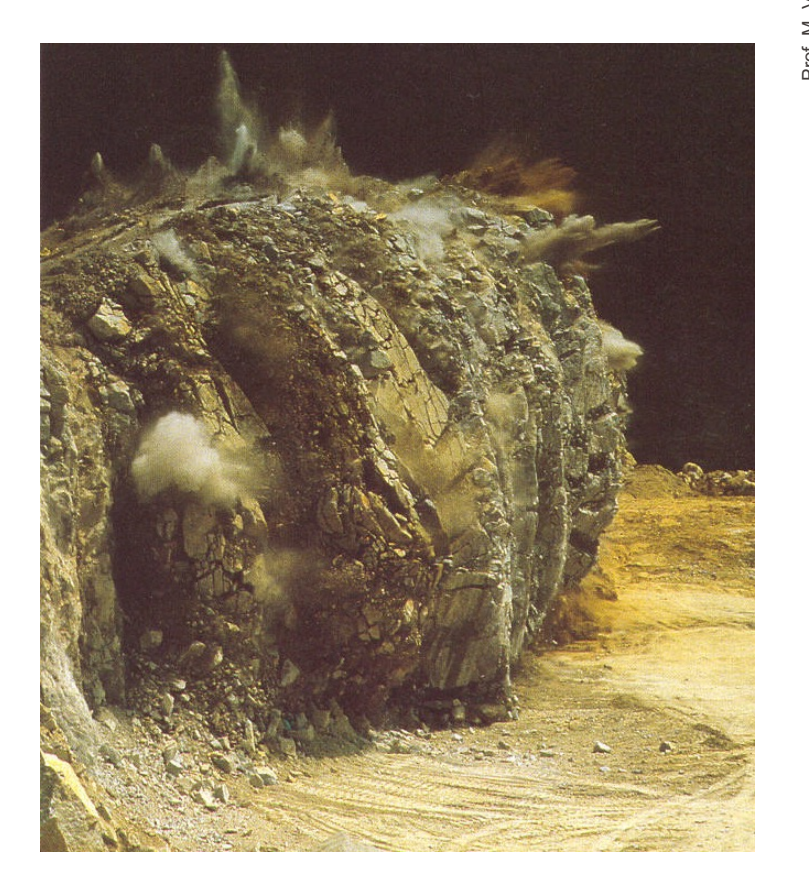
- 1. Introduction
- 2. Analyse de stabilité
- 3. Considérations pratiques
  - 3.1. Estimation empirique de la stabilité
  - 3.2. Excavation
  - 3.3. Mesures de renforcement et de protection

#### 3.2 Excavation des massifs rocheux

#### Excavation

Les explosifs sont utilisés pour l'excavation de roches dures. Les explosifs doivent être utilisés avec minutie et la roche préparée avant d'être explosée.

Les roches tendres sont quant à elles excavées avec des machines.



#### 3.2 Excavation des massifs rocheux

#### «Smooth blasting»

#### Découpage postérieur à l'explosion principale

Une rangée de trous parallèles est forée avec un espacement de 60 à 100 cm.

Les charges sont faibles.

Elles sont découplées des charges présentes au sein du volume à terrasser.

L'explosion de cette rangée de trous est réalisée après l'explosion principale.



#### 3.2 Excavation des massifs rocheux

#### Prédécoupage

Découpage préalable à l'explosion principale

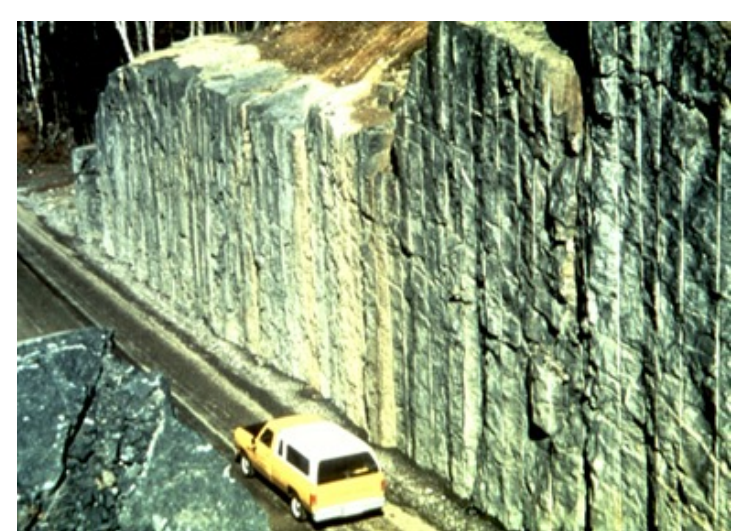
Une série de trous parallèles avec un espacement de 50 à 80 cm est forée le long de la face du futur

talus.

Les charges sont très faibles.

Elles sont découplées des charges présentes au sein du volume à terrasser.

L'explosion de cette rangée de trous est réalisée avant l'explosion principale.



#### Fouilles en rocher

- 1. Introduction
- 2. Analyse de stabilité
- 3. Considérations pratiques
  - 3.1. Estimation empirique de la stabilité
  - 3.2. Excavation
  - 3.3. Mesures de renforcement et de protection

#### **EPFL**

# 3.3 Mesures de renforcement et de protection



Drainages:

En surface

En profondeur

Béton:

Projeté

**Poutres** 

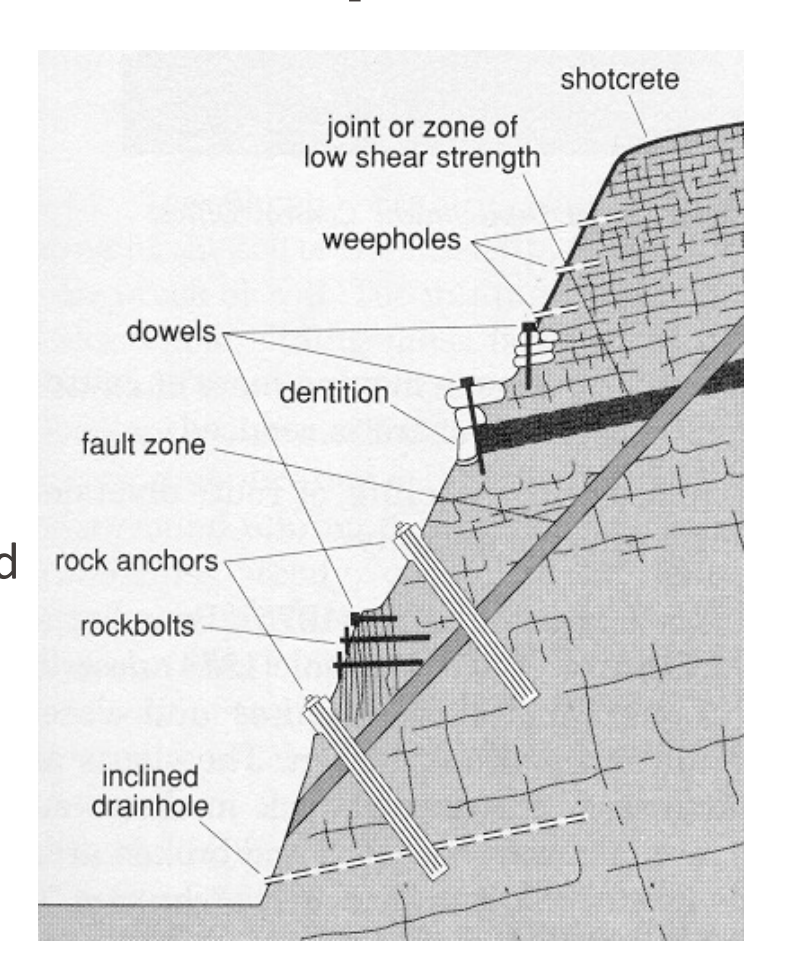
Mur de soutènement en pied

Stabilisation / confortement :

Clous

**Ancrages** 

Filets plaqués



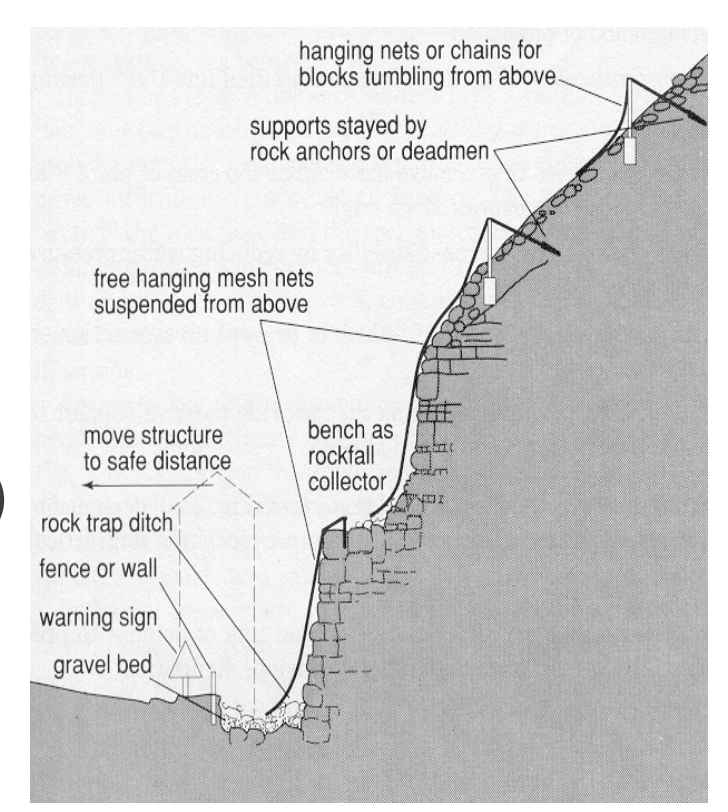


#### 3.3 Mesures de renforcement et de protection



Pas de support : Correction de pente Bermes intermédiaires

Ouvrages de protection :
Filets pendus
Fosse de réception
Digue
Barrière (en pied de pente)





# 3.3 Mesures de renforcement et de protection



Prof. M. VIOLAY

Bon rocher peu fracturé (Espacement moyen des discontinuités > 1m): Renforcement systématique tous les 3 à 4 m.

Bon rocher fracturé (Espacement moyen des discontinuités 0.3 à 1m):

Renforcement systématique tous les 1 à 3 m ou 3x l'espacement des joints.

Bon rocher très fracturé (Espacement moyen des discontinuités < 0.3m):

Renforcement systématique tous les 1m avec béton projeté de 15 à 25cm.

Rocher érodé avec discontinuités remplies de matériaux

Clouage des blocs. La longueur et la répartition des clous dépend du réseau des discontinuités.

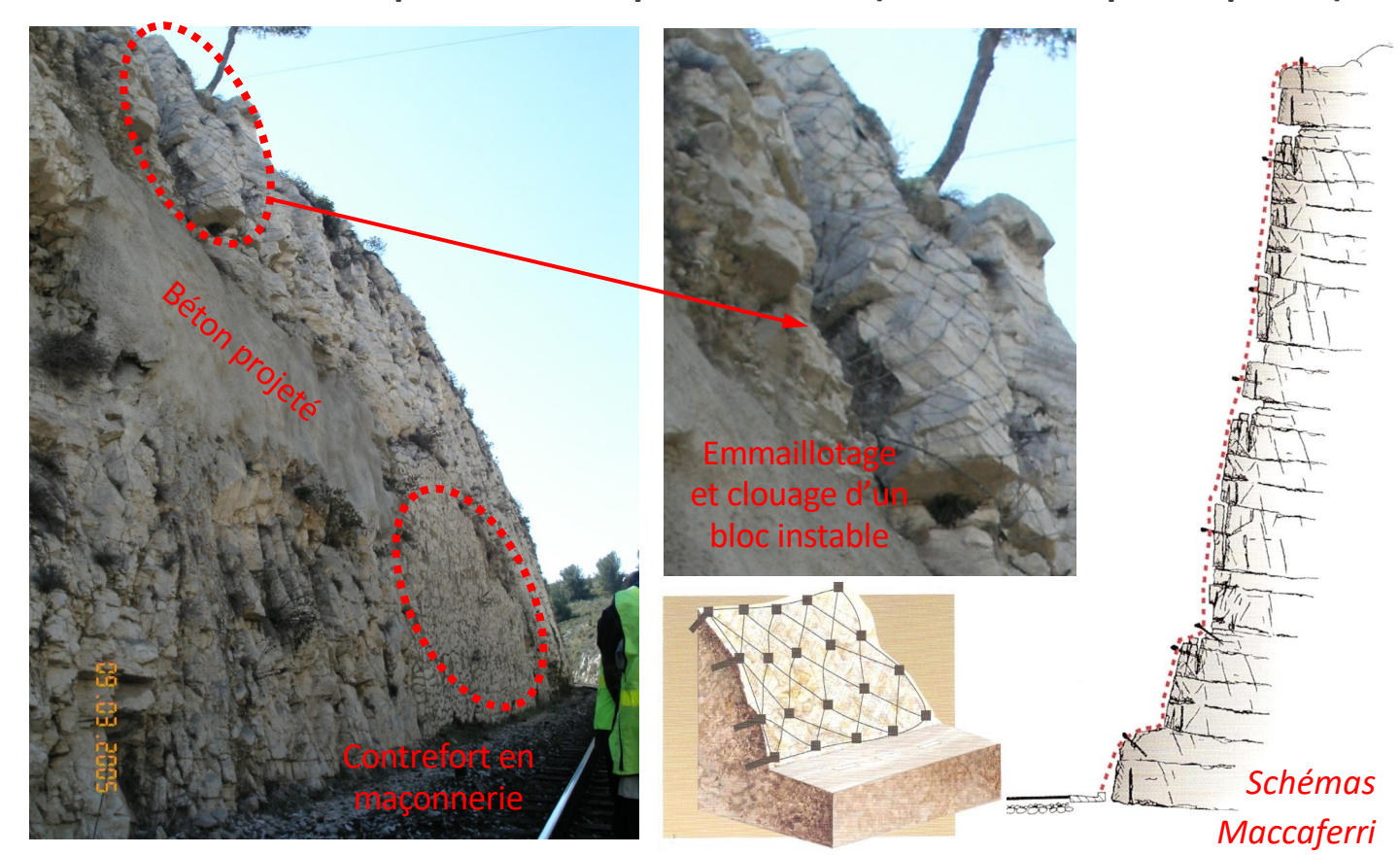
Roche tendre (Résistance uniaxiale < 25 MPa):

Renforcement systématique avec béton projeté pour obtenir une résistance entre 5 et 25 MPa. Les clous ne peuvent pas être utilisés pour des rochers avec un résistance < 5 MPa.



# 3.3 Filets plaqués ou emmaillotage

assurent la stabilité superficielle de la paroi rocheuse (> évitent le départ de pierres)

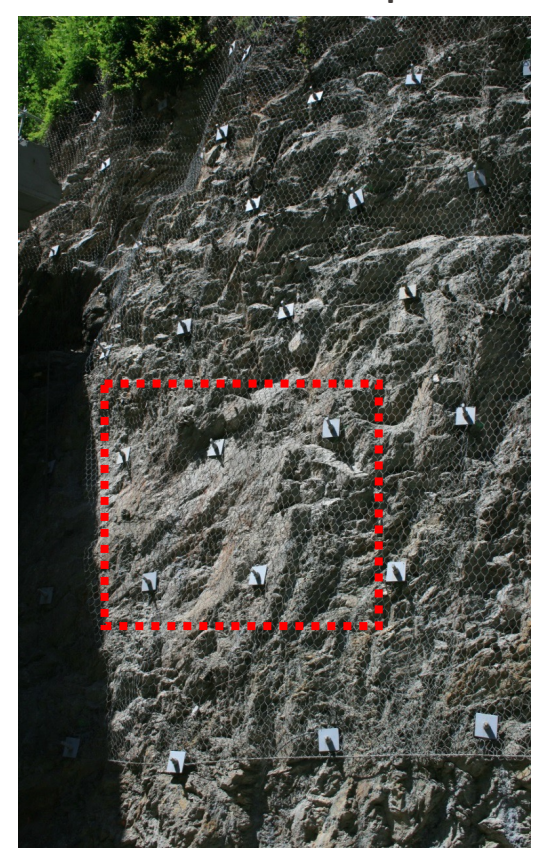


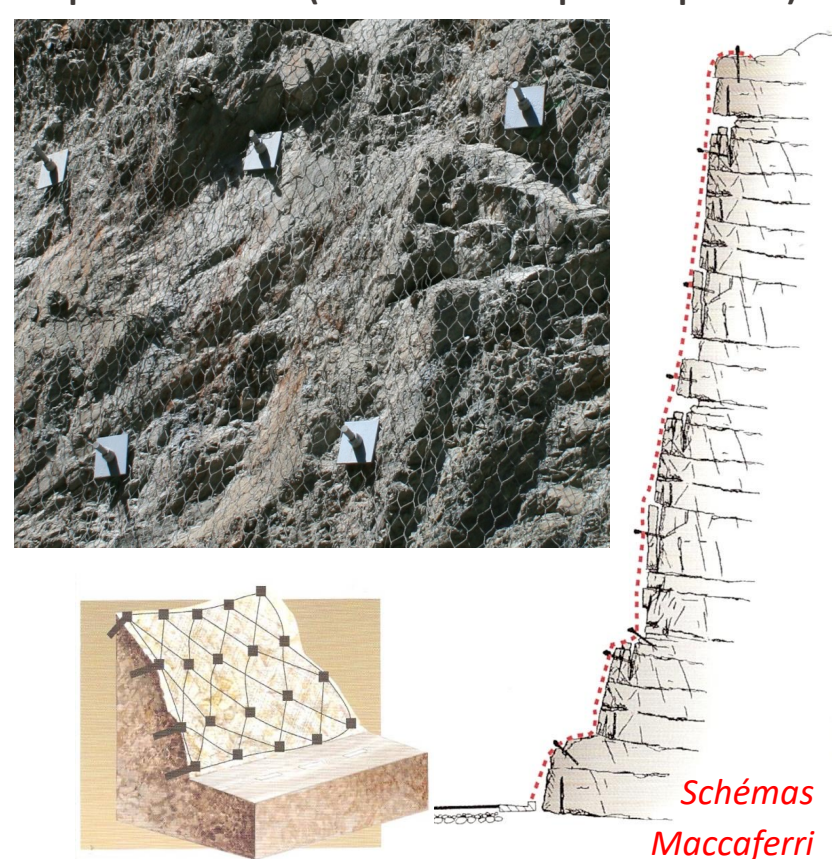


# 3.3 Filets plaqués ou emmaillotage



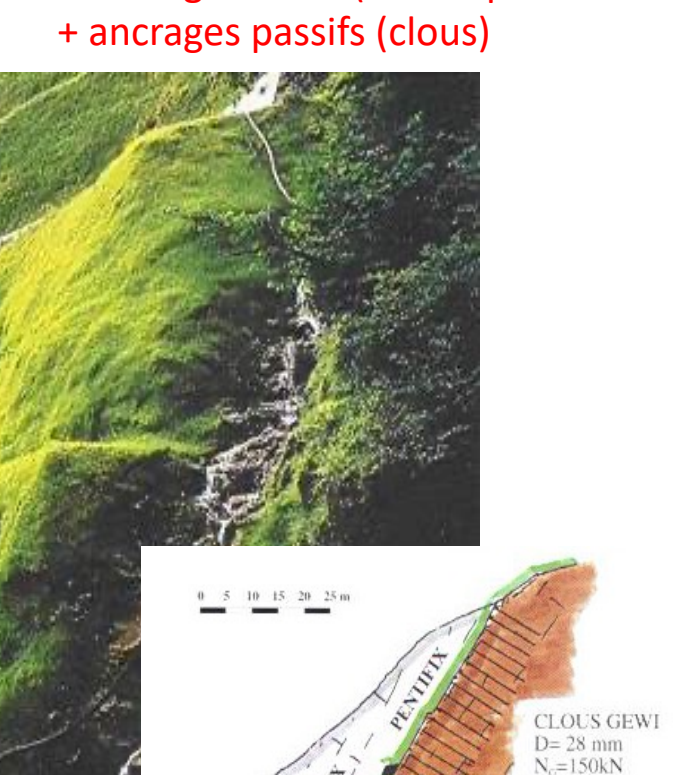
assurent la stabilité superficielle de la paroi rocheuse ( > évitent le départ de pierres)





# 3.3 Filet plaqué végétalisé

- + reprofilage du versant
- + ancrages actifs (tirants précontraints)

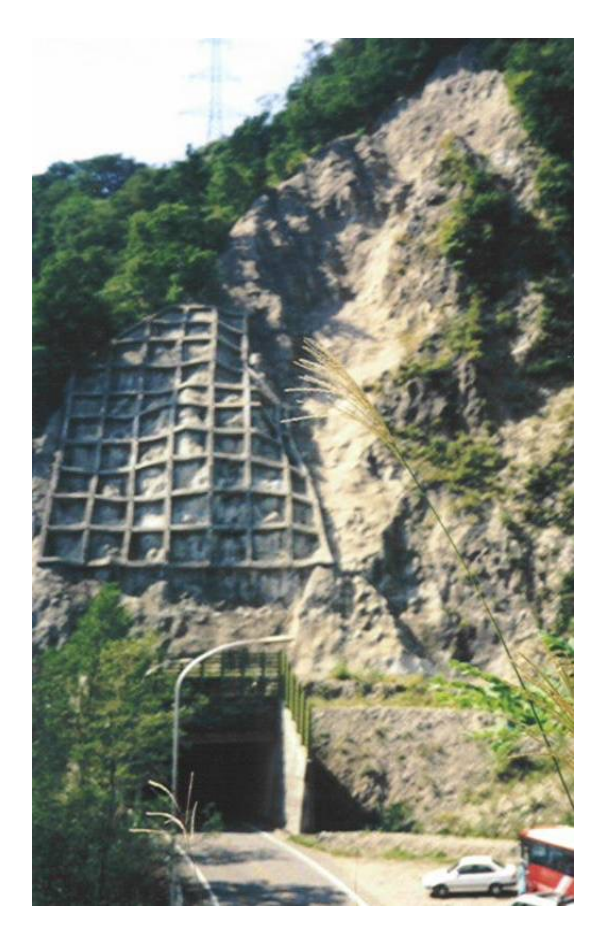


ANCRAGE V<sub>6</sub>= 850kN

CLOUS GEWI



# 3.3 Confortement par tirants d'ancrage précontrains





# PILE DES BOCHES ET OLIVBAGES SOLITEBBAINS

# 3.3 Béton projeté



- protéger celle-ci de l'érosion (pluie, ruissellement) et de l'altération (agents atmosphériques et cycles gel-dégel)

- maintenir en place des petits éléments instables

 Ce béton à prise rapide est généralement projeté sur une nappe de treillis préalablement ancrée dans le massif.

Il est essentiel de prévoir des drains et/ou barbacanes pour éviter une mise en pression d'eau derrière le béton.





# 3.3 Grillage ou filet pendu





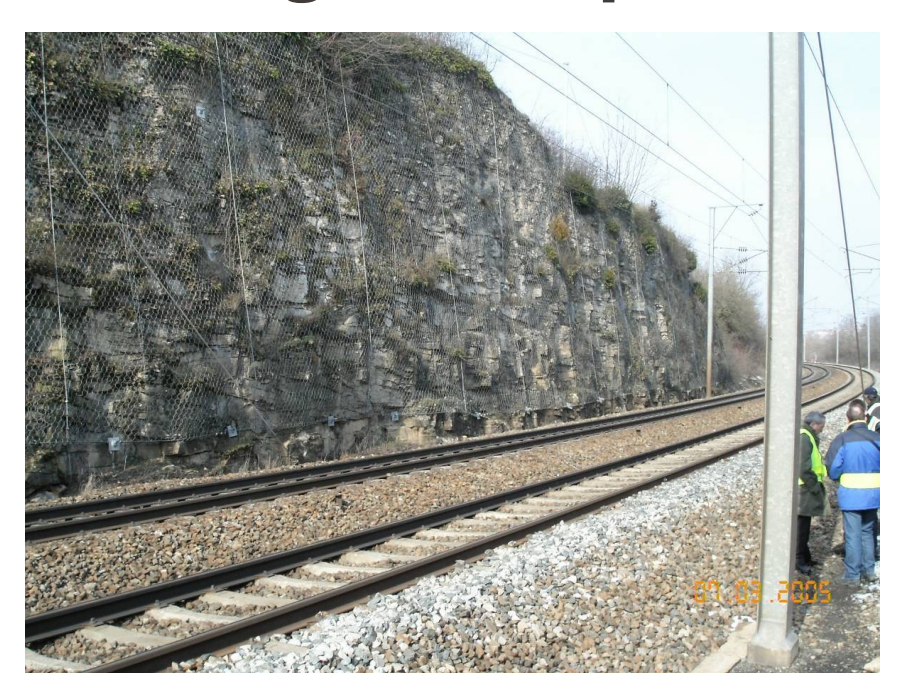






Maccaferri

# 3.3 Grillage ou filet pendu





- laissé libre
- lesté (barres métalliques, plots en béton)
- maintenu par un câble horizontal amovible ancré au rocher

Une fosse de réception des matériaux est nécessaire en pied de talus





# 3.3 Fosse de réception et digue



Route Vallorbe - Le Pont

Fossé et digue (carrière Visinand)

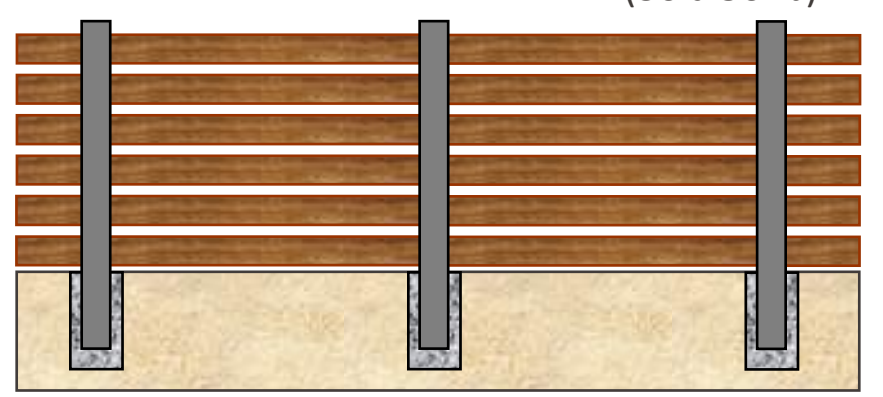




# 3.3 Ecrans rigides

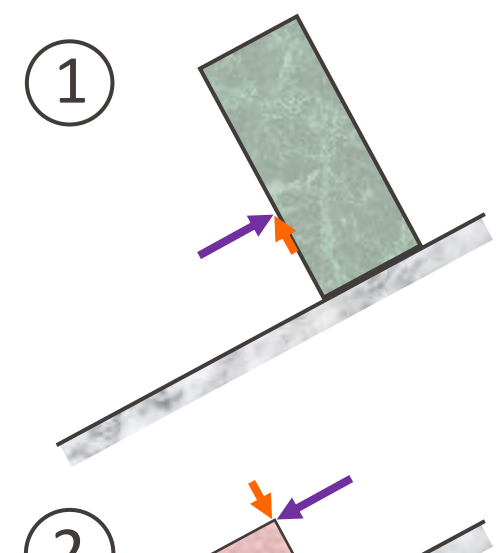


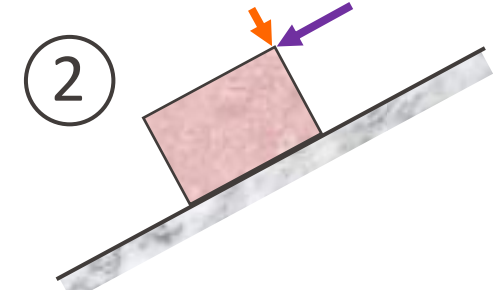
Impression de sécurité... mais... capacité d'absorption d'énergie très réduite! (30 à 50 kJ)

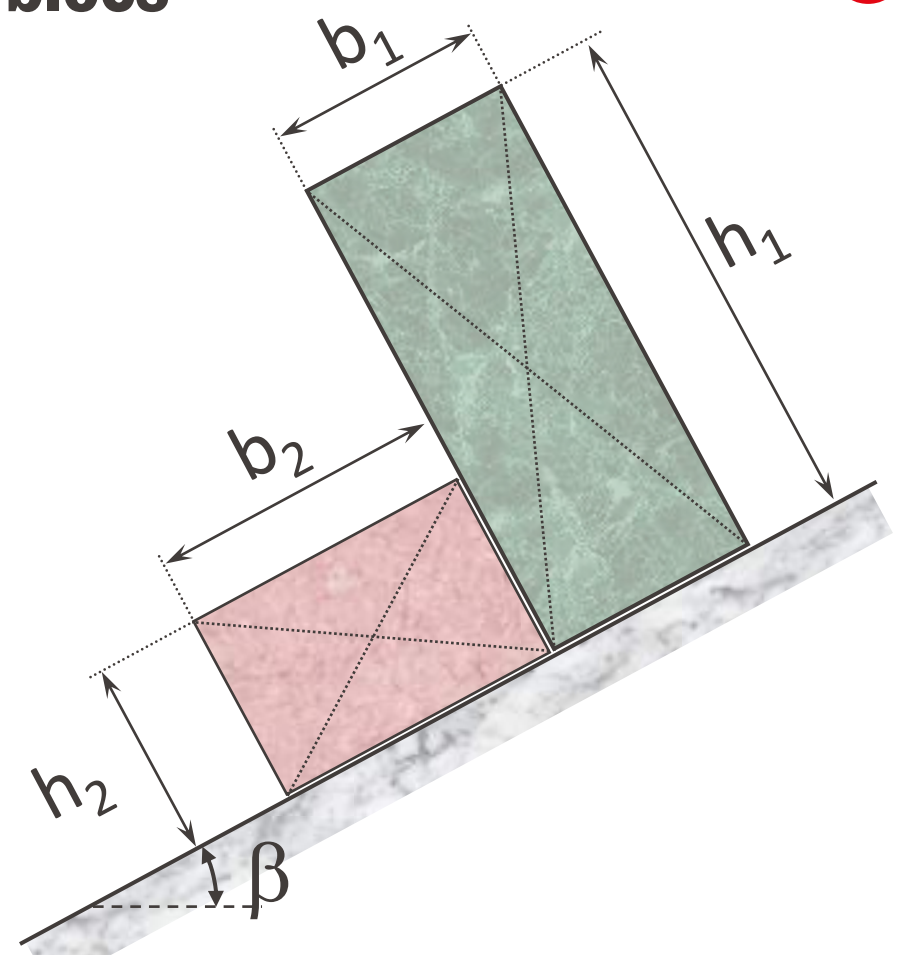




Stabilité des deux blocs à vérifier en deux étapes:





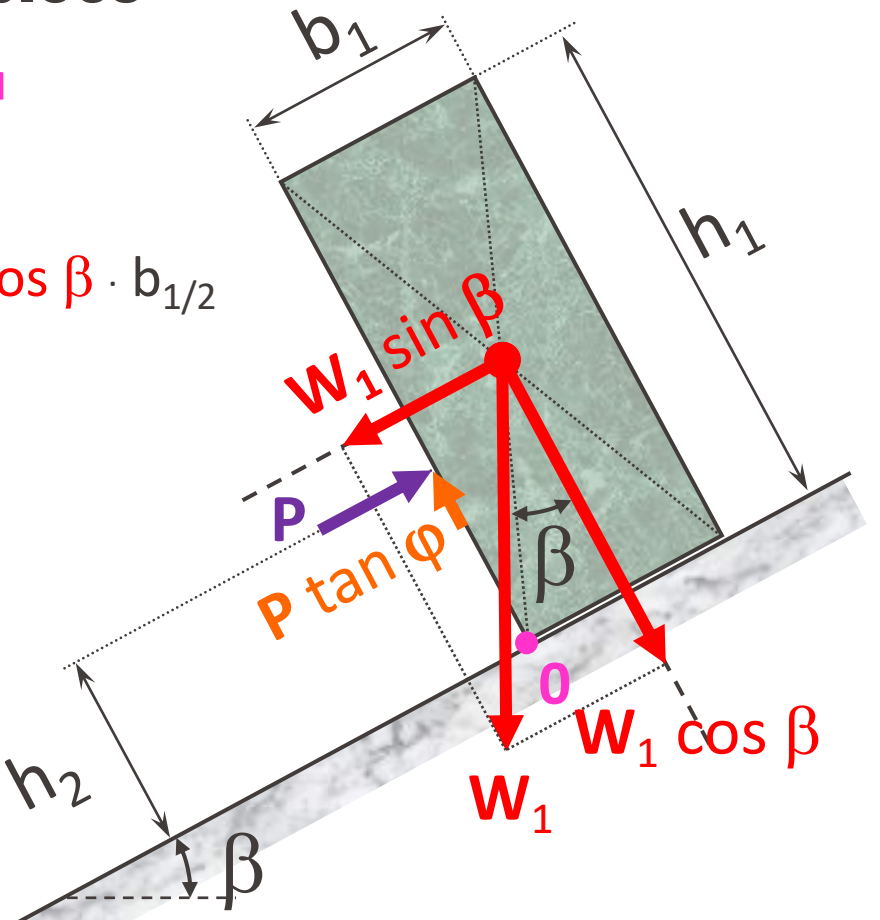


#### 2.3.2 Stabilité de deux blocs

Stabilité au basculement du bloc 1 si : M<sub>stab,0</sub> > M<sub>déstab,0</sub>

 $P \cdot h_2 \ge W_1 \sin \beta \cdot h_{1/2} - W_1 \cos \beta \cdot b_{1/2}$ 

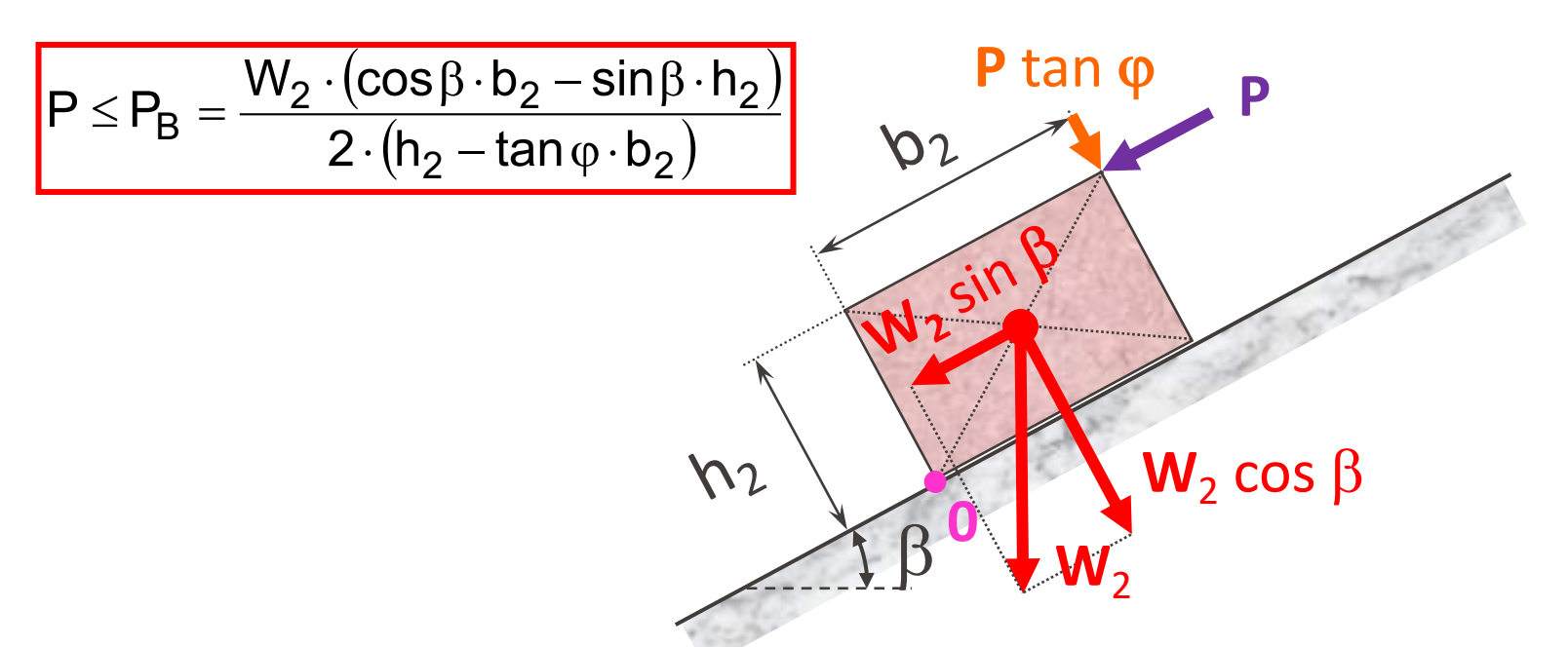
$$P \ge \frac{W_1 \cdot \left( \sin \beta \cdot h_1 - \cos \beta \cdot b_1 \right)}{2 \cdot h_2}$$



#### 2.3.2 Stabilité de deux blocs

Stabilité au basculement du bloc 2 si : M<sub>stab,0</sub> > M<sub>déstab,0</sub>

 $W_2 \cos \beta \cdot b_{2/2} + P \tan \phi \cdot b_2 \ge P \cdot h_2 + W_2 \sin \beta \cdot h_{2/2}$ 



# 2.3.2 Stabilité de deux blocs

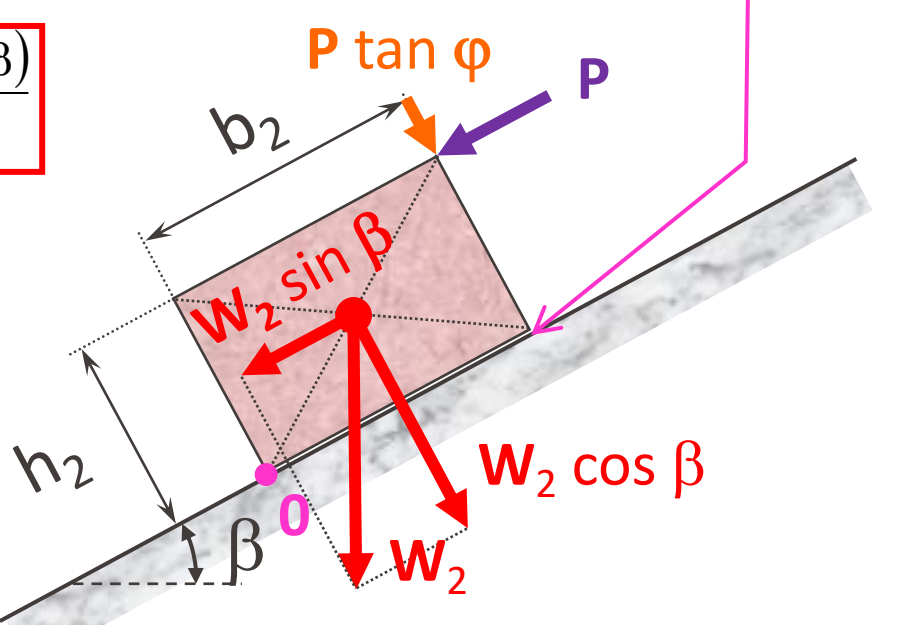


Stabilité au glissement du bloc 2 si :  $\tau_{sol} < \tau_{rés} = \sigma'$  tan  $\phi$ 

 $P + W_2 \sin \beta \le (W_2 \cos \beta + P \tan \phi) \cdot \tan \phi$ 

Joint lisse

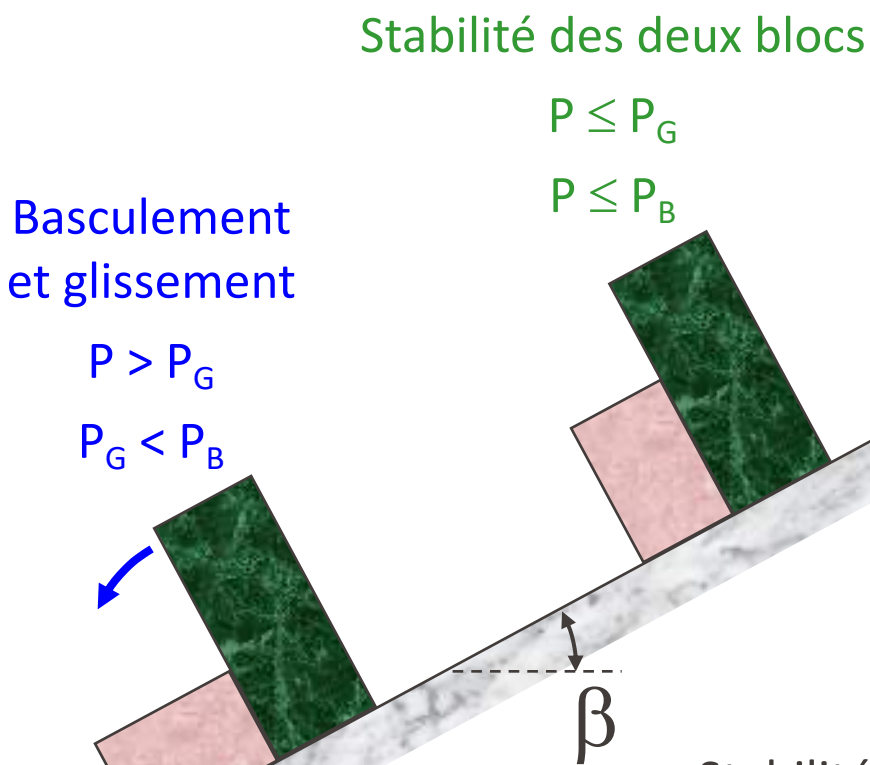
$$P \le P_{G} = \frac{W_{2} \cdot (\cos \beta \cdot \tan \phi - \sin \beta)}{1 - \tan^{2} \phi}$$



# 2.3.2 Stabilité de deux blocs







 $P \leq P_{B}$ 

**Basculement** des deux blocs

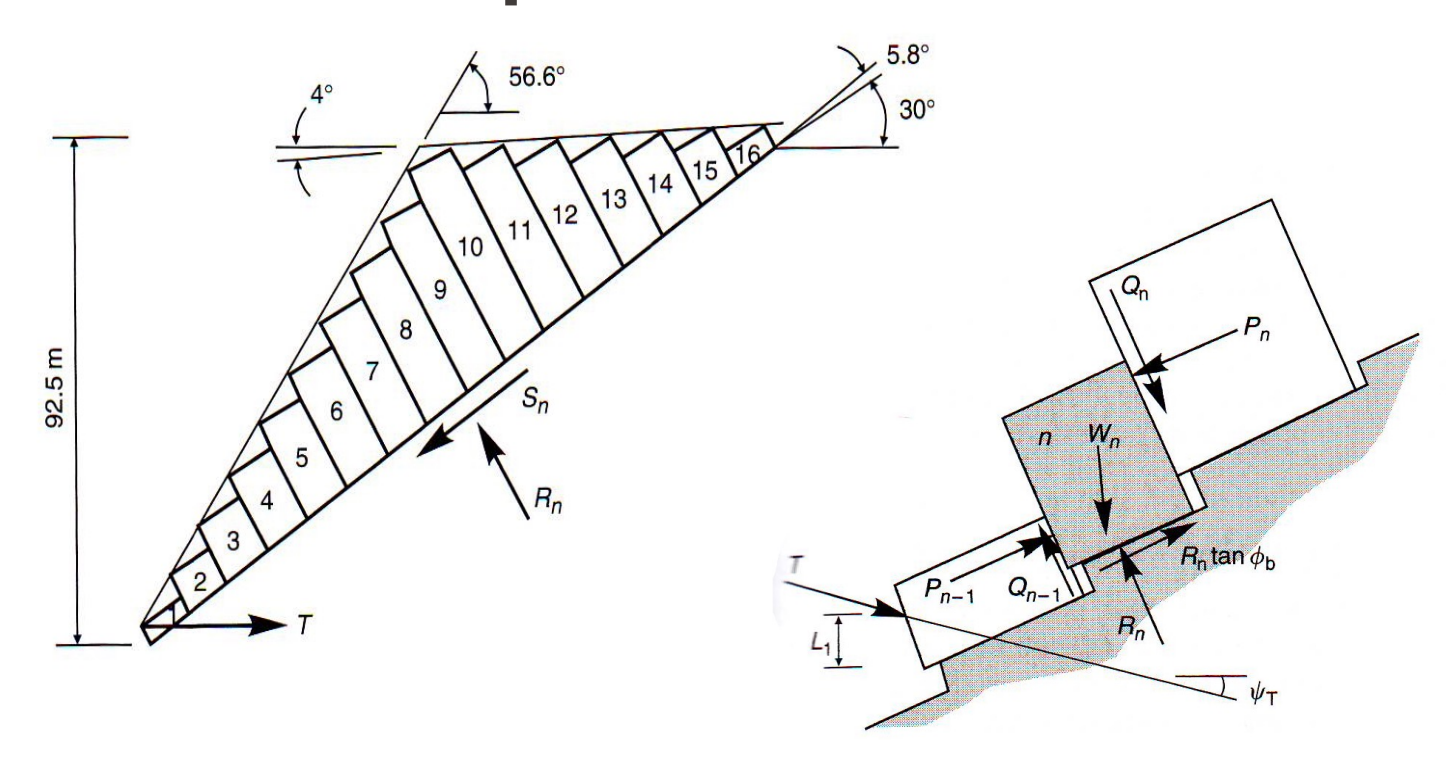
$$P > P_B$$

$$P_B < P_G$$

Stabilité au glissement de chaque bloc assurée individuellement:  $\beta < \phi$ 

# 2.3.3 Stabilité de plusieurs blocs



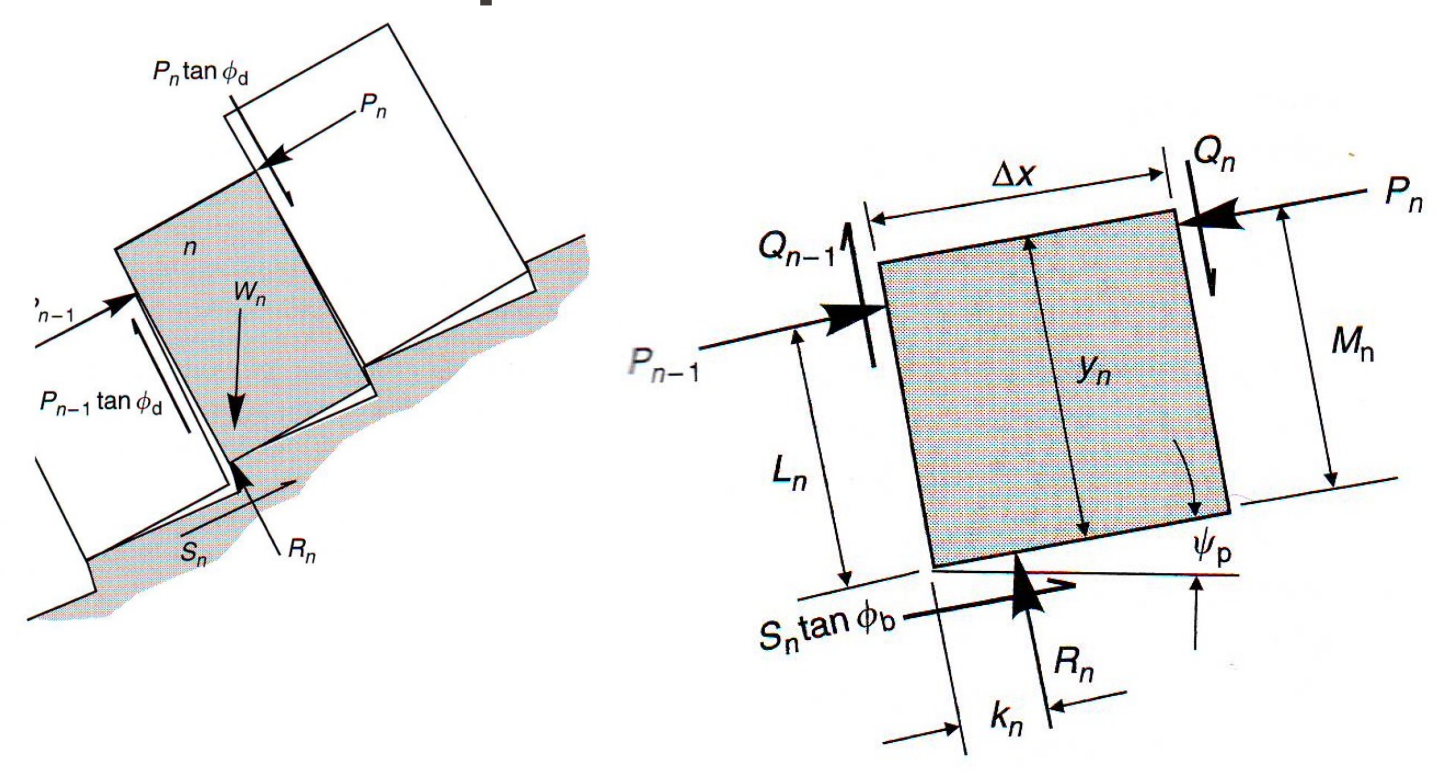


Forces décomposées selon les directions normale et tangentielle:

- Forces à la base:  $(R_n, S_n)$
- Forces aux interfaces avec les autres blocs:  $(P_n, Q_n, P_{n-1}, Q_{n-1})$

# 2.3.3 Stabilité de plusieurs blocs





MÉCANIQUE DES ROCHES ET OUVRAGES SOUTERRAINS

# 2.3.3 Stabilité de plusieurs blocs

#### Calcul de l'équilibre limite

- i. Commencer avec la colonne (bloc) supérieure (n).
- ii. Vérifier le renversement.
- iii. Pour le bloc situé en-dessous (n-1), les forces nécessaires pour assurer la stabilité au glissement  $P_{n-1,s}$  et au basculement  $P_{n-1,t}$  sont calculées:

$$P_{n-1,s} = P_n - \frac{W_n(\cos\psi_p tan\phi_p - \sin\psi_p)}{1 - \tan\phi_p tan\phi_d}$$

$$P_{n-1,t} = [P_n(M_n - \Delta x \tan \varphi_d) + (W_n/2)(y_n \sin \psi_p - \Delta x \cos \psi_p)]/L_n$$

# 2.3.3 Stabilité de plusieurs blocs

# 1

Prof. M. VIOLA

#### Calcul de l'équilibre limite

iv. Renversement du bloc (n-1) si : Pn-1,s < Pn-1,t</p>
Glissement du bloc (n-1) si : Pn-1,t < Pn-1,s (1er calcul)</p>
Prendre Pn-1 = max (Pn-1,t; Pn-1,s)

v. Vérifier le glissement

(2ème calcul)

$$R_{n} = W_{n}\cos\psi_{p} + (P_{n} - P_{n-1})\tan\varphi_{d}$$

$$> 0$$

$$S_{n} = W_{n}\sin\psi_{p} + (P_{n} - P_{n-1})$$

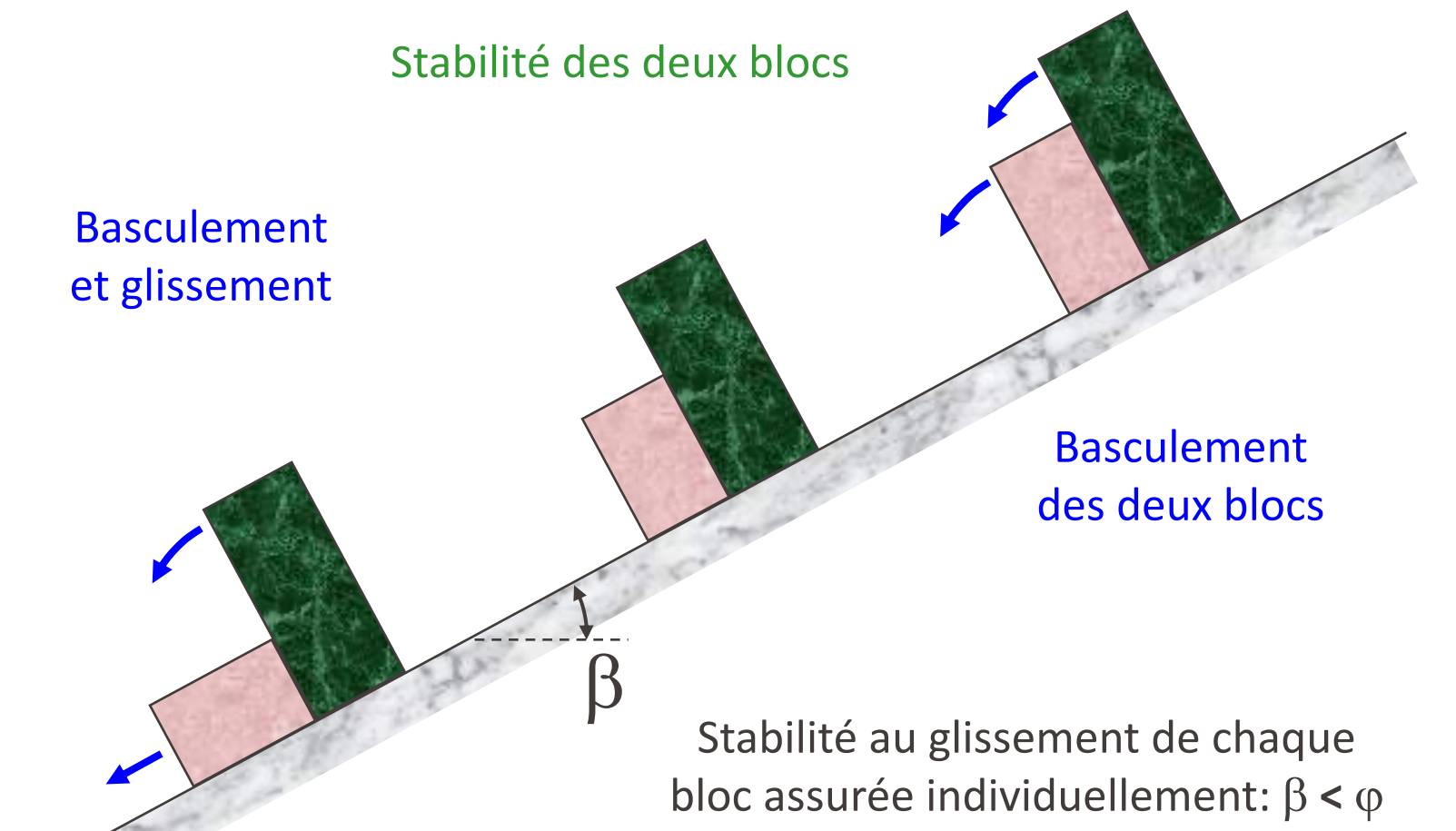
$$> R_{n}\tan\varphi_{p}$$

vi. Poursuivre le calcul de proche en proche...

# 2.3.2 Stabilité de deux blocs



Prof. M. VIOLAY





# 2.3.2 Stabilité de deux blocs



